

สำนักหอสมุดกลาง พระจอมเกล้าลาดกระบัง

การศึกษาเชิงทดลองพฤติกรรมการศึกษาภายใต้การกดแบบเลื่อนไถระหว่างล้อและรางรถ
Experimental Study on Wear Characteristics Under Sliding Contact between
wheels and rails



โดย



นาย กิตติศักดิ์ สืบสายตา

นาย สุจินต์ กิตฺหะเจริญชัย

นาย ธนากร เปี้ยคง

นาย อัครนัย มูลน้อย

อาจารย์ที่ปรึกษา

รศ. ดร. มงคล มงคลวงศ์โรจน์

เลขหมู่.....
เลขทะเบียน..... **61873**
วัน,เดือน,ปี..... **24 ก.ค. 2549**

b.....
i.....

ปริญญานิพนธ์นี้เป็นส่วนหนึ่งของการศึกษาตามหลักสูตรปริญญาวิศวกรรมศาสตรบัณฑิต
ภาควิชาวิศวกรรมเครื่องกล
คณะวิศวกรรมศาสตร์
สถาบันเทคโนโลยีพระจอมเกล้าเจ้าคุณทหารลาดกระบัง
ปีการศึกษา 2547

เอกสารนี้เป็นเอกสารที่สงวนไว้สำหรับการใช้งานเพื่อการศึกษาเท่านั้น ไม่อนุญาตให้นำไปใช้ประโยชน์ด้านการค้า
ไม่ว่ากรณีใดๆ ทั้งสิ้น อีกทั้งห้ามมิให้ดัดแปลงเนื้อหา และต้องอ้างอิงถึงเจ้าของเอกสารทุกครั้งที่มีการนำไปใช้

ปริญญาานิพนธ์ปีการศึกษา 2547

ภาควิชา วิศวกรรมเครื่องกล

คณะวิศวกรรมศาสตร์ สถาบันเทคโนโลยีพระจอมเกล้าเจ้าคุณทหารลาดกระบัง

เรื่อง การศึกษาเชิงทดลองพฤติกรรมการสึกหรอภายใต้การกดแบบสไลด์ระหว่างล้อและรางรถ

Experimental Study on Wear Characteristics Under Sliding Contact between
wheels and rails

ผู้จัดทำ

- | | | | |
|--------------------|---------------|--------------|----------|
| 1. นาย กิตติศักดิ์ | สีบสายลา | รหัสประจำตัว | 44015369 |
| 2. นาย สุจินต์ | กิตทะเจริญชัย | รหัสประจำตัว | 45015440 |
| 3. นาย ธนากร | เปี้ยคง | รหัสประจำตัว | 45015457 |
| 4. นาย อัครนัย | มุลน้อย | รหัสประจำตัว | 45015491 |



..... อาจารย์ที่ปรึกษา
(รศ. ดร. มงคล มงคลวงศ์โรจน์)

เอกสารนี้เป็นเอกสารที่สงวนไว้สำหรับการใช้งานเพื่อการศึกษาเท่านั้น ไม่อนุญาตให้นำไปใช้ประโยชน์ด้านการค้า
ไม่ว่ากรณีใดๆ ทั้งสิ้น อีกทั้งห้ามมิให้ดัดแปลงเนื้อหา และต้องอ้างอิงถึงเจ้าของเอกสารทุกครั้งที่มีการนำไปใช้

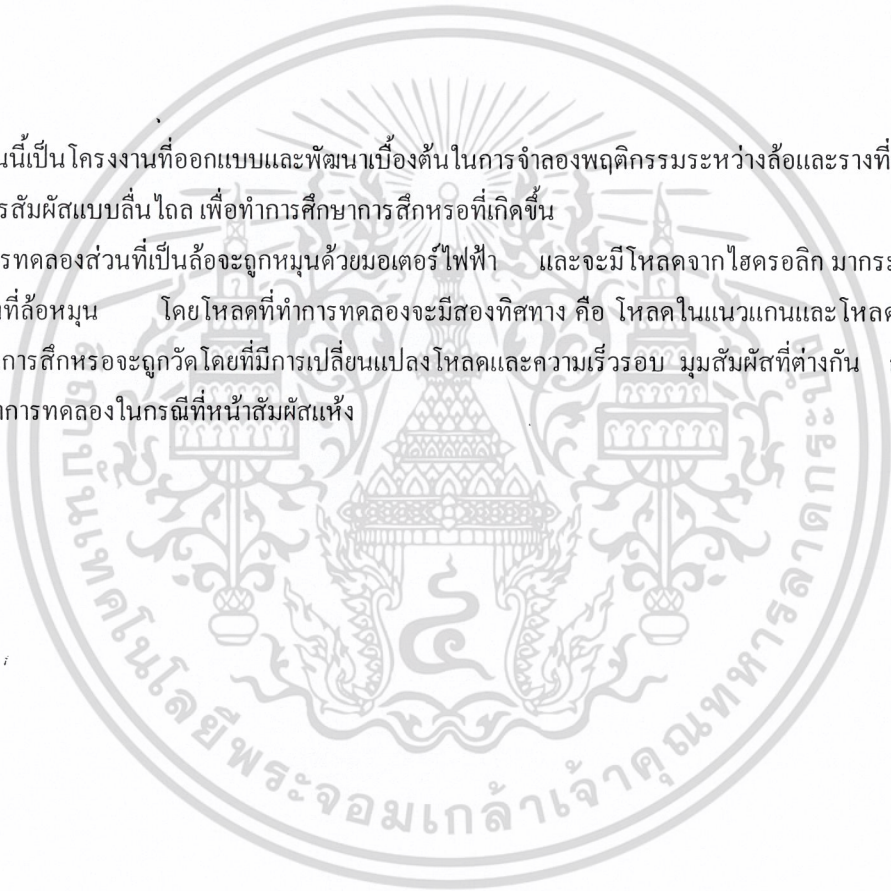
การศึกษาเชิงทดลองพฤติกรรมการศึกษาภายใต้การกดแบบเส้นใยระหว่างลื้อและรางวัล

1. นาย กิตติศักดิ์ สืบสายลา 44015369
 2. นาย สุจินต์ กิตตะเจริญชัย 45015440
 3. นาย ธนากร เปี้ยคง 45015457
 4. นาย อศนัย มูลน้อย 45015491
- รศ. ดร. มงคล มงคลวงศ์โรจน์ อาจารย์ที่ปรึกษา
ปีการศึกษา 2547

บทคัดย่อ

โครงการนี้เป็นโครงการที่ออกแบบและพัฒนาเบื้องต้นในการจำลองพฤติกรรมระหว่างลื้อและรางวัลที่รับแรงกดและเป็นการสัมผัสแบบเส้นใย เพื่อทำการศึกษากการศึกษากการศึกษากที่เกิดขึ้น

โดยที่การทดลองส่วนที่เป็นลื้อจะถูกหุ้มด้วยมอเตอร์ไฟฟ้า และจะมีโหลดจากไฮดรอลิก มากระทำการกดตรงระหว่างที่ลื้อหุ้ม โดยโหลดที่ทำการทดลองจะมีสองทิศทาง คือ โหลดในแนวแกนและโหลดในแนวรัศมี อัตราการศึกษาจะถูกรวบรวมโดยที่มีการเปลี่ยนแปลงโหลดและความเร็วรอบ มุมสัมผัสที่ต่างกัน การทดลองครั้งนี้จะทำการทดลองในกรณีที่น่าสัมผัสแห้ง



เอกสารนี้เป็นเอกสารที่สงวนไว้สำหรับการใช้งานเพื่อการศึกษาเท่านั้น ไม่อนุญาตให้นำไปใช้ประโยชน์ด้านการค้า
ไม่ว่ากรณีใดๆ ทั้งสิ้น อีกทั้งห้ามมิให้ดัดแปลงเนื้อหา และต้องอ้างอิงถึงเจ้าของเอกสารทุกครั้งที่มีการนำไปใช้

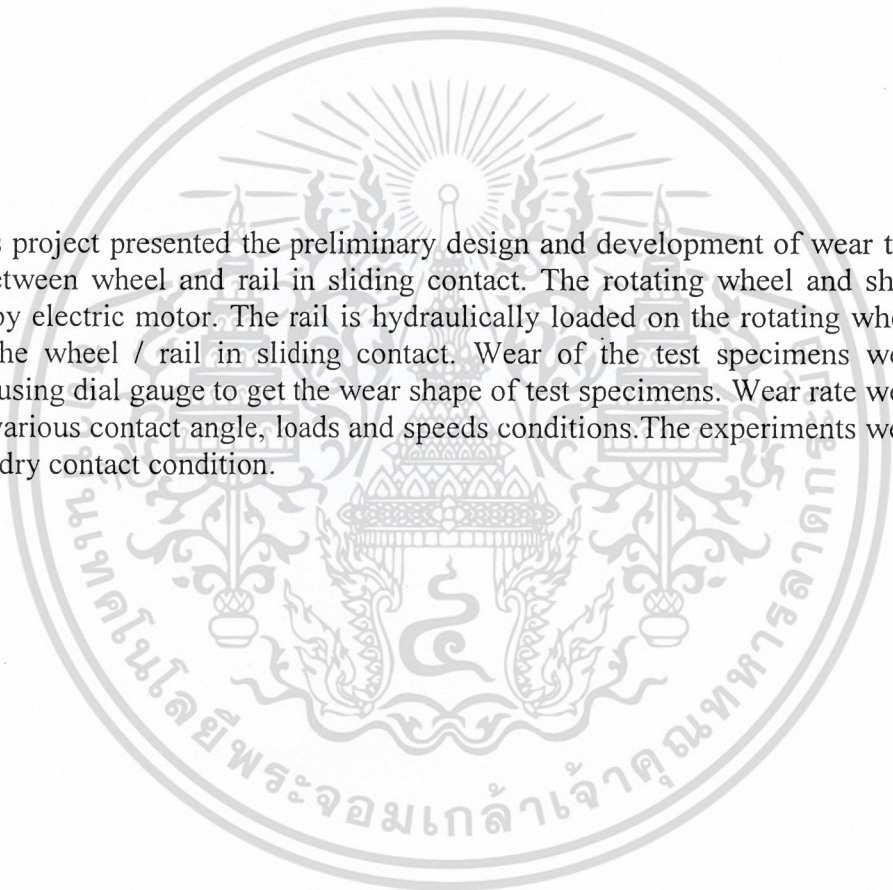
Experimental Study on Wear Characteristics Under Sliding Contact between wheels and rails

Kitisak	Suebsaila	44015369
Sujin	Kittajareanchai	45015440
Thanakorn	Piakong	45015457
Assanai	Moolnoi	45015491

Assoc prof Dr.Mongkol Mongkolwongrojn Advisor

Abstract

This project presented the preliminary design and development of wear test equipment between wheel and rail in sliding contact. The rotating wheel and shaft were driven by electric motor. The rail is hydraulically loaded on the rotating wheel to simulate the wheel / rail in sliding contact. Wear of the test specimens were measured by using dial gauge to get the wear shape of test specimens. Wear rate were measured at various contact angle, loads and speeds conditions. The experiments were performed in dry contact condition.



กิตติกรรมประกาศ

ปริญญานิพนธ์นี้จะประสบความสำเร็จได้โดยการสนับสนุนจาก รศ.ดร. มงคล มงคลวงศ์โรจน์ ซึ่งเป็นอาจารย์ที่ปรึกษาโครงการ เป็นบุคคลสำคัญที่ให้คำปรึกษา และให้แนวทางในการทำโครงการจนเสร็จสำเร็จเป็นปริญญานิพนธ์ฉบับนี้

อนึ่งผู้จัดทำปริญญานิพนธ์นี้ขอแสดงความขอบคุณ ภาควิชาวิศวกรรมโยธา เป็นอย่างยิ่งที่ได้ให้ใช้เครื่องทดสอบปรับความเที่ยงตรงของชุดทดสอบและ ภาควิชาวิศวกรรมอุตสาหการ ที่อำนวยความสะดวกในการใช้เครื่องมือ รวมทั้งนำมณฑาและพี่มานพ ที่ให้คำปรึกษาในการสร้างอุปกรณ์และเครื่องทดสอบ ทำให้โครงการนี้และปริญญานิพนธ์นี้สำเร็จ



นาย กิตติศักดิ์	สีบสายลา
นาย สุจินต์	กิตตะเจริญชัย
นาย ธนากร	เปี้ยคง
นาย อัครนัย	มูลน้อย

เอกสารนี้เป็นเอกสารที่สงวนไว้สำหรับการใช้งานเพื่อการศึกษาเท่านั้น ไม่อนุญาตให้นำไปใช้ประโยชน์ด้านการค้า ไม่ว่าจะกรณีใดๆ ทั้งสิ้น อีกทั้งห้ามมิให้ดัดแปลงเนื้อหา และต้องอ้างอิงถึงเจ้าของเอกสารทุกครั้งที่มีการนำไปใช้

การศึกษาเชิงทดลองพฤติกรรมการศึกษาการสึกหรอภายใต้การกดแบบลื่นไถลระหว่างล้อและรางรถ

- | | | |
|--------------------|---------------|----------|
| 1. นาย กิตติศักดิ์ | สีบสายลา | 44015369 |
| 2. นาย สุจินต์ | กิตตะเจริญชัย | 45015440 |
| 3. นาย ธนากร | เปี้ยคง | 45015457 |
| 4. นาย อัครนัย | มูลน้อย | 45015491 |
- รศ. ดร. มงคล มงคลวงศ์โรจน์ อาจารย์ที่ปรึกษา
ปีการศึกษา 2547

บทคัดย่อ

โครงการนี้เป็นโครงการที่ออกแบบและพัฒนาเบื้องต้น ในการจำลองพฤติกรรมระหว่างล้อและรางที่รับแรงกดและเป็นการสัมผัสแบบลื่นไถล เพื่อทำการศึกษาคาร์บอที่ที่เกิดขึ้น

โดยที่การทดลองส่วนที่เป็นล้อจะถูกหมุนด้วยมอเตอร์ไฟฟ้า และจะมีโหลดจากไฮดรอลิก มากระทำ การกดระหว่างที่ล้อหมุน โดยโหลดที่ทำการทดลองจะมีสองทิศทาง คือ โหลดในแนวแกนและโหลดในแนวรัศมี อัตราการสึกหรอจะถูกวัดโดยที่มีการเปลี่ยนแปลงโหลดและความเร็วรอบ มุมสัมผัสที่ต่างกัน การทดลองครั้งนี้จะทำการทดลองในกรณีที่น่าสัมผัสแห้ง

เอกสารนี้เป็นเอกสารที่สงวนไว้สำหรับการใช้งานเพื่อการศึกษาเท่านั้น ไม่อนุญาตให้นำไปใช้ประโยชน์ด้านการค้า
ไม่ว่ากรณีใดๆ ทั้งสิ้น อีกทั้งห้ามมิให้ดัดแปลงเนื้อหา และต้องอ้างอิงถึงเจ้าของเอกสารทุกครั้งที่มีการนำไปใช้

Experimental Study on Wear Characteristics Under Sliding Contact between wheels and rails

Kitisak	Suebsaila	44015369
Sujin	Kittajareanchai	45015440
Thanakorn	Piakong	45015457
Assanai	Moolnoi	45015491

Assoc prof Dr.Mongkol Mongkolwongroj Advisor

Abstract

This project presented the preliminary design and development of wear test equipment between wheel and rail in sliding contact. The rotating wheel and shaft were driven by electric motor. The rail is hydraulically loaded on the rotating wheel to simulate the wheel / rail in sliding contact. Wear of the test specimens were measured by using dial gauge to get the wear shape of test specimens. Wear rate were measured at various contact angle, loads and speeds conditions. The experiments were performed in dry contact condition.

กิตติกรรมประกาศ

ปริญญานิพนธ์นี้จะประสบความสำเร็จได้โดยการสนับสนุนจาก รศ.ดร. มงคล มงคลวงศ์โรจน์ ซึ่งเป็นอาจารย์ที่ปรึกษาโครงการ เป็นบุคคลสำคัญที่ให้คำปรึกษา และให้แนวทางในการทำโครงการจนเสร็จ สำเร็จเป็นปริญญานิพนธ์ฉบับนี้

อนึ่งผู้จัดทำปริญญานิพนธ์ใคร่ขอแสดงความขอบคุณ ภาควิชาวิศวกรรมโยธา เป็นอย่างยิ่งที่ได้ให้ใช้ เครื่องทดสอบปรับความเที่ยงตรงของชุดทดสอบและ ภาควิชาวิศวกรรมอุตสาหกรรม ที่อำนวยความสะดวกในการใช้เครื่องมือ รวมทั้งนำมณฑาและที่มานพ ที่ให้คำปรึกษาในการสร้างอุปกรณ์และเครื่องทดสอบ ทำให้โครงการนี้และปริญญานิพนธ์นี้สำเร็จ



เอกสารนี้เป็นเอกสารที่สงวนไว้สำหรับการใช้งานเพื่อการศึกษาเท่านั้น ไม่อนุญาตให้นำไปใช้ประโยชน์ด้านการค้า ไม่ว่ากรณีใดๆ ทั้งสิ้น อีกทั้งห้ามมิให้ดัดแปลงเนื้อหา และต้องอ้างอิงถึงเจ้าของเอกสารทุกครั้งที่มีการนำไปใช้

สัญลักษณ์คำย่อ

สัญลักษณ์ภาษาอังกฤษ

A	พื้นที่หน้าตัด
B	โมดูลัสความยืดหยุ่น
G	โมดูลัสของการเฉือน
I	โมเมนต์ความเฉื่อย
J	โพลามอนต์ความเฉื่อย
K _r	ตัวประกอบความเข้มของความเค้น
K _s	ตัวประกอบของผิว
K _b	ตัวประกอบขนาด
K _c	ตัวประกอบแรง
K _t	ตัวประกอบความเค้น
L	ความยาว ระยะทาง
M	โมเมนต์
N	ค่าความปลอดภัย
P	กำลังงาน
q	ค่าความไวของรอยเจาะ
R	แรงปฏิกิริยา
T	แรงบิด , แรงดึง
V	แรงเฉือน
X , Y , Z	แกน X , Y , Z ตามลำดับ

เอกสารนี้เป็นเอกสารที่สงวนไว้สำหรับการใช้งานเพื่อการศึกษาเท่านั้น ไม่อนุญาตให้นำไปใช้ประโยชน์ด้านการค้า
ไม่ว่ากรณีใดๆ ทั้งสิ้น อีกทั้งห้ามมิให้ดัดแปลงเนื้อหา และต้องอ้างอิงถึงเจ้าของเอกสารทุกครั้งที่มีการนำไปใช้

สัญลักษณ์ภาษากรีก

σ	ความเค้นปกติ
$\sigma_x, \sigma_y, \sigma_z$	ความเค้นปกติในแนวแกน X , Y , Z
σ_{allow}	ความเค้นปกติอนุญาต
σ_u	ความเค้นปกติสูงสุด
σ_y	ความเค้นปกติคราก
σ_a	ความเค้นส่วนเปลี่ยน
σ_m	ความเค้นเฉลี่ย
σ_n	ค่าความเค้นต้านทาน
σ_{eq}	ความเค้นปกติสมมูล
ϵ	ความเครียดปกติ
$\epsilon_x, \epsilon_y, \epsilon_z$	ความเครียดปกติในแนวแกน X , Y , Z
τ	ความเค้นเฉือน
τ_{allow}	ความเค้นเฉือนอนุญาต
τ_x, τ_y, τ_z	ความเค้นเฉือนในแนวแกน X , Y , Z
τ_n	ความเค้นเฉือนต้านทาน
τ_{eq}	ความเค้นเฉือนสมมูล
ρ	รัศมีส่วนโค้ง
θ	มุมความลาดชัน
ϕ	มุมบิด
α	ตัวประกอบการโค้งงอ

เอกสารนี้เป็นเอกสารที่สงวนไว้สำหรับการใช้งานเพื่อการศึกษาเท่านั้น ไม่อนุญาตให้นำไปใช้ประโยชน์ด้านการค้า
ไม่ว่ากรณีใดๆ ทั้งสิ้น อีกทั้งห้ามมิให้ดัดแปลงเนื้อหา และต้องอ้างอิงถึงเจ้าของเอกสารทุกครั้งที่มีการนำไปใช้

สารบัญ

	หน้าที่
บทคัดย่อภาษาไทย	I
บทคัดย่อภาษาอังกฤษ	II
กิตติกรรมประกาศ	III
สัญลักษณ์คำย่อ	IV
สารบัญ	VI
บทที่ 1 บทนำ	1
1.1 ความสำคัญและที่มา	1
1.2 ขอบเขตของโครงการ	1
1.3 ประโยชน์ที่คาดว่าจะได้รับ	1
1.4 วิธีการดำเนินงาน	1
บทที่ 2 การบิด (Torsion)	3
2.1 การทำให้เสียรูปเนื่องจากการบิดของเพลากลม	3
2.2 สูตรของการบิด (The Torsion Formula)	5
2.3 มุมบิด (Angle of Twist)	8
2.4 หลักการคิดเครื่องหมายของมุมบิด	10
2.5 ความเข้มของความเค้นที่เกิดขึ้นจากแรงบิด (Stress Concentration)	10
บทที่ 3 ความเค้นดัด (Bending Stress)	12
3.1 การเปลี่ยนรูปการดัดของคานตรง (Bending Deformation of a Straight Member)	12
3.2 สูตรของการดัด (The Flexure Bending Formula)	14
บทที่ 4 ระบบแรง	17
4.1 การสมดุลของวัตถุ (Equilibrium of a Deformation Body)	17
บทที่ 5 การออกแบบสำหรับการแตกหักเนื่องจากความล้า	20
5.1 กลไกของความล้า	20
5.2 ตัวประกอบของผิว	21
5.3 ตัวประกอบของขนาด	21
5.4 ตัวประกอบของแรง	21
5.5 ตัวประกอบความเค้นหนาแน่น	21
5.6 เกณฑ์ของไซเคอร์เบิร์ก	22
บทที่ 6 การออกแบบเพลลา	26
6.1 การออกแบบเพลลาตามโค้ดของ AMSE	28
6.2 การออกแบบเพลลาภายใต้แรงเปลี่ยนแปลง	31
บทที่ 7 การคำนวณผลทางทฤษฎี	33

เอกสารนี้เป็นเอกสารที่สงวนไว้สำหรับการใช้งานเพื่อการศึกษาเท่านั้น ไม่อนุญาตให้นำไปใช้ประโยชน์ด้านการค้า
ไม่ว่ากรณีใดๆ ทั้งสิ้น อีกทั้งห้ามมิให้ดัดแปลงเนื้อหา และต้องอ้างอิงถึงเจ้าของเอกสารทุกครั้งที่มีการนำไปใช้

บทที่ 8	แบบและวิธีการสร้าง	36
8.1	ชุดฐานยึดราง	36
8.2	ล้อ	36
8.3	ราง	37
8.4	เพลลาของล้อและราง	37
8.5	เครื่องทดสอบ	38
8.6	เครื่องมือวัด	38
บทที่ 9	วิธีการทดลอง	39
บทที่ 10	ผลการทดลองและสรุปผลการทดลอง	40
10.1	ผลการทดลอง	40
10.2	สรุปผลการทดลอง	50
ภาคผนวก ก	ตารางแสดงผลการสึกหรอของล้อ	52
ภาคผนวก ข	กราฟ Calibration ชุดไฮโดรลิก	60
ภาคผนวก ค	ตารางแสดงค่าตัวประกอบความเค้น	61
บรรณานุกรม		64



บทที่ 1

บทนำ

1.1 ความสำคัญและที่มา

ปัจจุบันการคมนาคมและการเคลื่อนย้ายมีความจำเป็นในการดำรงชีวิตของมนุษย์ ในหลายๆด้าน ทั้งทางด้านธุรกิจ การติดต่อสื่อสาร การคมนาคมในปัจจุบันมีทั้งทางบกและทางอากาศ แต่การคมนาคมทางบก อาจมีความสะดวกมากกว่าในหลายๆด้าน เช่น เรื่องค่าใช้จ่ายในการเดินทาง ความสะดวกสบายในการเดินทาง การเดินทางโดยรถไฟ เป็นการคมนาคมทางบกที่ได้รับความนิยมทางหนึ่งเนื่องจากปัจจุบันมีเส้นทางรถโดยสาร รถไฟเชื่อมต่อกันเกือบทุกจังหวัดและค่าใช้จ่ายในการเดินทางค่อนข้างจะถูกกว่าการคมนาคมทางด้านอื่นแต่ในปัจจุบันประเทศไทยยังต้องมีการนำล้อรถไฟ และรางรถไฟ เข้ามาจากต่างประเทศ ในอุตสาหกรรมขนส่ง การเคลื่อนย้ายได้มีการใช้ระบบล้อและรางมาใช้อย่างแพร่หลาย ดังนั้นการเปลี่ยนหรือซ่อมแซมอุปกรณ์ที่ใช้งาน ไม่ได้จึงมีผลต่อการประกอบอุตสาหกรรมนั้นๆ จึงเกิดแนวคิดของโครงการนี้ที่จะทำการศึกษาดังพฤติกรรมของ อุปกรณ์ที่เกิดการสึกหรอ เช่น ชิ้นส่วนรางรถและล้อรถ เพื่อจะได้เป็นแนวทางในการปรับปรุงหรือวิธีเพิ่มอายุการใช้งานของชิ้นส่วนรางรถและล้อรถ

1.2 ขอบเขตของโครงการ

1. สามารถออกแบบเครื่องทดสอบที่จำลองการเคลื่อนที่ของล้อและรางได้
2. สร้างเครื่องทดลองที่สามารถแสดงพฤติกรรมจำลองเหมือนการวิ่งของล้อรถวิ่งบนรางรถ
3. เก็บข้อมูลหาพฤติกรรมของการสึกหรอของล้อรถที่เกิดการสั่นไถลกับรางรถโดย

1.3 ประโยชน์ที่คาดว่าจะได้รับ

1. เพื่อได้ทราบถึงพฤติกรรมการสึกหรอของล้อ
2. เพื่อเป็นข้อมูลเบื้องต้นในการวิจัยและออกแบบพัฒนาต่อไป

1.4 วิธีการดำเนินงาน

1. ปรึกษาอาจารย์ที่ปรึกษาในเรื่องขอบเขตของโครงการ
2. วางแผนแนวคิดในการออกแบบจำลองการเคลื่อนที่ของล้อและราง
3. ติดต่อหน่วยงานที่เกี่ยวข้องเพื่อสืบถามข้อมูลที่ใช้
4. รวบรวมข้อมูลที่จำเป็นในการออกแบบในการทำเครื่องทดสอบ
5. ซื่ออุปกรณ์ในการสร้างเครื่องทดสอบ
6. ทำการสร้างชิ้นส่วนต่าง ๆ ของเครื่องทดสอบ

- ชิ้นรูปของล้อทดสอบและรูปร่าง โดยใช้เครื่อง CNC , Wire Cut
- ชิ้นรูปเพลลาของล้อและราง โดยใช้เครื่องกลึง

เอกสารนี้เป็นเอกสารที่สงวนไว้สำหรับการใช้งานเพื่อการศึกษาเท่านั้น ไม่อนุญาตให้นำไปใช้ประโยชน์ด้านการค้า ไม่ว่ากรณีใดๆ ทั้งสิ้น อีกทั้งห้ามมิให้ดัดแปลงเนื้อหา และต้องอ้างอิงถึงเจ้าของเอกสารทุกครั้งที่มีการนำไปใช้

7. ทำการสร้างชุดเครื่องมือวัด
8. ประกอบและติดตั้งเครื่องทดสอบ
9. ทำการ Calibration ชุดไฮดรอลิกทั้งสองชุด กับเครื่อง UMT
10. ทำการทดสอบ โดยแบ่งตามกรณีการทดสอบที่ต้องการเก็บค่าการสึกหรอ
11. เก็บค่าที่ได้จากการทดลอง มาแสดงผลในรูปของกราฟ
12. เปรียบเทียบการสึกหรอในกรณีต่างๆ ที่ทำการทดลอง
13. สรุปผลการทดลองที่ได้
14. ทำปฏิญยานิพนธ์



เอกสารนี้เป็นเอกสารที่สงวนไว้สำหรับการใช้งานเพื่อการศึกษาเท่านั้น ไม่อนุญาตให้นำไปใช้ประโยชน์ด้านการค้า
ไม่ว่ากรณีใดๆ ทั้งสิ้น อีกทั้งห้ามมิให้ดัดแปลงเนื้อหา และต้องอ้างอิงถึงเจ้าของเอกสารทุกครั้งที่มีการนำไปใช้

บทที่ 2

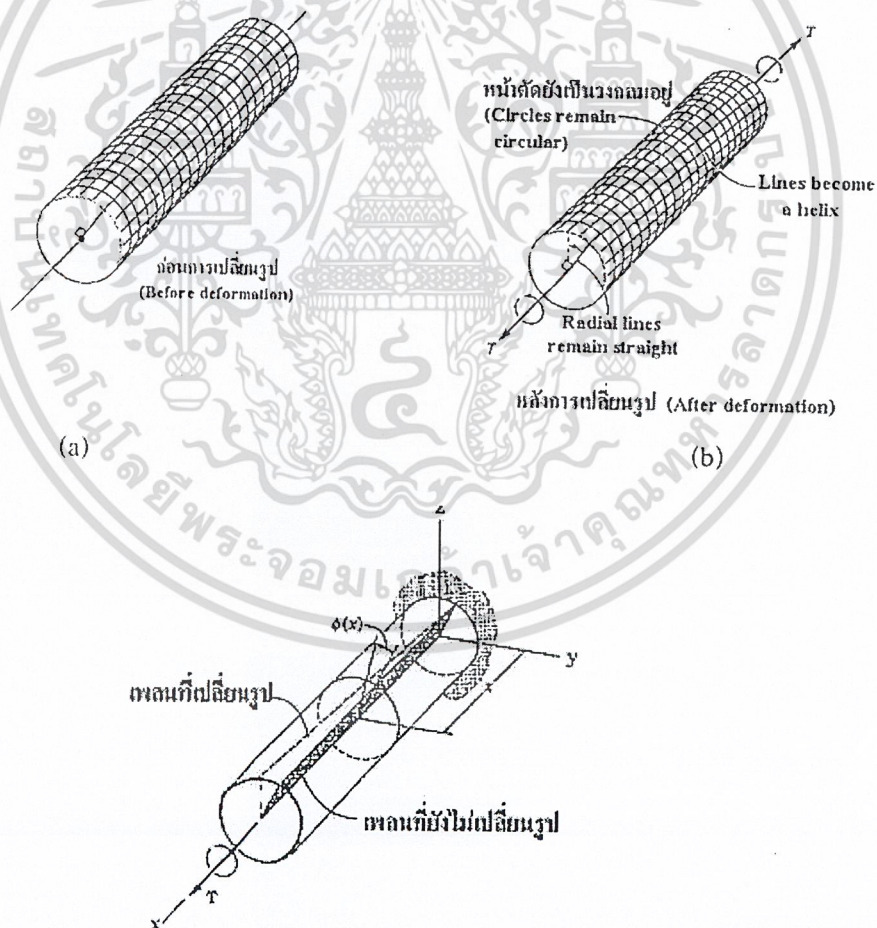
การบิด (Torsion)

2.1 การทำให้เสียรูปเนื่องจากการบิดของเพลากลม

(Torsion Deformation of a Circular Shaft)

การบิดเป็น โมเมนต์ที่วัตถุถูกบิดในแนวแกนตามยาว (Longitudinal Axis) ของแท่งของแข็งผลกระทบบนสิ่งแรกเกี่ยวกับการออกแบบเพลลา หรือเพลลาขับที่ใช้ในยานพาหนะ หรือใช้ในเครื่องจักรกล ในหัวข้อนี้เราจะศึกษาถึงประเภทของการทำให้เสียรูปโดยการบิดของเพลากลม หรือท่อกลมที่ทำจากวัสดุ ที่มีลักษณะและคุณสมบัติเดียวกันตลอดเพลลา (homogenous) ต่อมาจะพิจารณาถึงความเค้นและความบิดของสมการ การกระจายความเค้นและความสัมพันธ์ต่าง ของการบิด

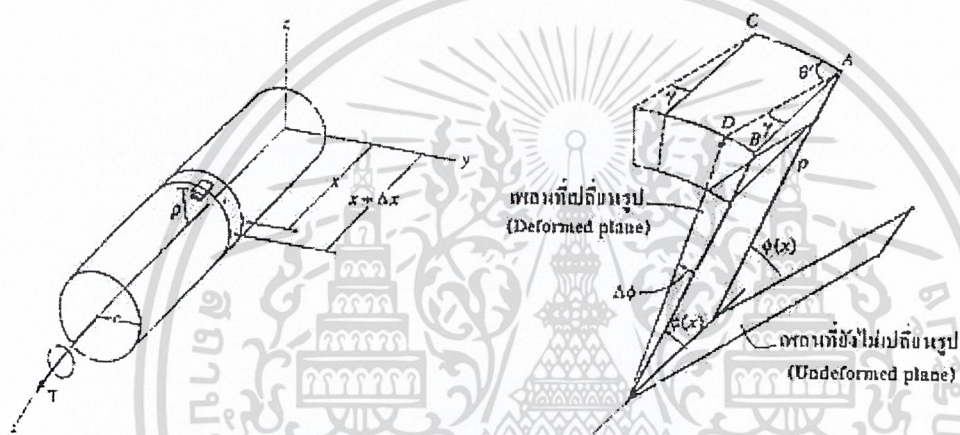
เราสามารถแสดงภาพทางกายภาพ ว่าจะเกิดอะไรขึ้นเมื่อเกิดการบิดของเพลากลม โดยพิจารณาถึงเพลลาที่ถูกทำจากวัสดุที่เปลี่ยนรูปโดยการบิดอย่างง่าย เช่น วัสดุที่เป็นยาง เป็นต้น ดังรูป 2.1



รูป 2.1

เอกสารนี้เป็นเอกสารที่สงวนไว้สำหรับการใช้งานเพื่อการศึกษาเท่านั้น ไม่อนุญาตให้นำไปใช้ประโยชน์ด้านการค้า ไม่ว่าจะกรณีใดๆ ทั้งสิ้น อีกทั้งห้ามมิให้ดัดแปลงเนื้อหา และต้องอ้างอิงถึงเจ้าของเอกสารทุกครั้งที่มีการนำไปใช้

จากรูป 1 (b) เมื่อใส่แรงบิดตามแนวแกนทำให้วัสดุของแข็งเกิดการเปลี่ยนรูปแต่วงกลมของเพลาก็ยังคงเป็นวงกลมอยู่ และหน้าตัดของปลายเพลายังคงแบนอยู่ไม่บิดเบี้ยว (Not Warp) หรือไม่นูนออกมาและเส้นรัศมียังคงเป็นเส้นตรง ระหว่างการเปลี่ยนรูป จะสังเกตเห็นว่าทุก ๆ หน้าตัดของเพลายังคงเป็นเพลนอยู่ และเส้น ระหว่างการเปลี่ยนรูป จะสังเกตเห็นว่าทุก ๆ หน้าตัดของเพลายังคงเป็นเพลนอยู่ และเส้นรัศมีบนหน้าตัดยังคงเป็นเส้นตรง และหมุนผ่านมุมระหว่างการเปลี่ยนรูป ยิ่งกว่านั้นเราสามารถสมมุติว่า มุมของการหมุนเล็กมาความยาวของเพลาและรัศมียังคงไม่เปลี่ยน ดังนั้น ถ้าเพลาถูกยึดที่ปลายข้างหนึ่งดังรูป 1 (c) และใส่แรงบิดเข้าไปที่ปลายอีกข้างหนึ่ง เพลนที่แลงจะถูกบิดจนเสียรูป ทำให้เกิดการเบี้ยว (Skewed) ในที่นี้ เส้นรัศมีที่หน้าตัดจากระยะ X จากปลายที่ยึดของเพลาหมุนเป็นมุม $\phi(X)$ มุม $\phi(X)$ ถูกกำหนด เรียกว่า มุมบิด (Angle of Twist) ทั้งนี้ขึ้นอยู่กับระยะ X ที่ถูกกำหนดขึ้นด้วย และจากการบิดของเพลานี้จะเกิดความเครียดขึ้นด้วย ดังรูป 2.2



รูป 2.2 แสดงความเครียดเฉือนของการบิด (Shear Strain of Element)

จากรูป 2.2 เพื่อให้เกิดความเข้าใจถึงการเปลี่ยนรูปของวัสดุเมื่อมีแรงบิด เราจะพิจารณาถึง ส่วนเล็ก ๆ ที่ขยายออกมาดังรูป ทางขวามือ ซึ่งมีรัศมีเท่ากับ ρ (rho) วัดจากแกนของเพลา เนื่องจากการเปลี่ยนรูปทางด้านหน้าและด้านหลังของส่วนเล็ก ๆ (Element) ได้รับความหมุน, คิดที่ตำแหน่ง X โดย $\phi(X)$ และที่ตำแหน่ง $X + \Delta X$ โดย $\phi(X) + \Delta\phi$ จากรูปผลลัพธ์ในลักษณะการหมุนเหล่านี้ $\Delta\phi$ เป็นสาเหตุให้เกิดความเครียดเฉือน (Shear Strain) การคำนวณความเครียดนี้จะใช้วิธีการของการเปลี่ยนรูปมุมระหว่างของ AB และ AC = 90° (ตั้งฉากกัน) หลังจากเปลี่ยนรูปแล้วเป็นขอบระหว่าง AD และ AC มุมเปลี่ยนไปเป็น θ

$$\text{จากคำจำกัดความของความเครียดเฉือน : } \gamma = \frac{\pi}{2} - \lim \theta$$

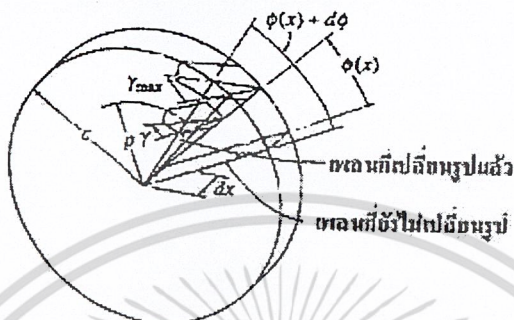
- C → A ตลอดความยาว CA
- D → A ตลอดความยาว BA

มุม γ ดังรูป 2.3 นี้ สามารถที่จะหาความสัมพันธ์ของความยาว ΔX ของส่วนเล็ก ๆ และความแตกต่างของมุม $\Delta\phi$ ที่เปลี่ยนไประหว่างส่วนหน้าของรูป เอกสารนี้เป็นเอกสารที่สงวนไว้สำหรับการใช้งานเพื่อการศึกษาเท่านั้น ไม่นอนุญาตให้นำไปใช้ประโยชน์ด้านการค้า ไม่ว่ากรณีใดๆ ทั้งสิ้น อีกทั้งห้ามมิให้ดัดแปลงเนื้อหา และต้องอ้างอิงถึงเจ้าของเอกสารทุกครั้งที่มีการนำไปใช้

ถ้าเราให้ $\Delta X \rightarrow dx$ และ $\Delta \phi \rightarrow d\phi$ เราจะได้ $BD = \rho d\phi$ หรือ $BD = dx \cdot \gamma$

$$\therefore dx \cdot \gamma = \rho d\phi$$

$$\gamma = \rho \frac{d\phi}{dx}$$



รูป 2.3

เนื่องจาก dx และ $d\phi$ เมื่อ $\frac{d\phi}{dx}$ มีแรงบิดจะเกิดขึ้นพร้อมกันภายในหน้าตัด เมื่อ เป็นค่าคงที่สถานะนี้ขนาดของความเครียดเฉือนสำหรับทุก ๆ ส่วนของเพลลาเปลี่ยนแปลงไปตามรัศมี ρ จากแกนของเพลลา หรืออีนัยหนึ่งความเครียดเฉือนภายในเพลลาเปลี่ยนแปลงเป็นเส้นตรงตลอดความยาวของเส้นรัศมีจากศูนย์ (Zero) ที่แกนของเพลลาถึงค่าสูงสุด ณ ตำแหน่งขอบเขตด้านนอก ถ้ารัศมีด้านนอกของเพลลาคือ C ความเครียดเฉือนสำหรับส่วนเล็ก ๆ ภายในของเพลลา ณ ตำแหน่งรัศมี ρ ใดๆ และที่ผิวจะมีความสัมพันธ์กันดังนี้

$$\text{เนื่องจาก } \frac{d\phi}{dx} = \frac{\gamma}{\rho} = \frac{\gamma_{\max}}{C} \quad (\text{ที่ผิว})$$

$$\therefore \gamma = \left(\frac{\rho}{C}\right) \gamma_{\max}$$

$$\text{ถ้าคิดที่ผิวนอก } \rho = C \text{ จะได้ } \gamma = \gamma_{\max}$$

2.2 สูตรของการบิด (The Torsion Formula)

ถ้าวัสดุเป็น Linear - Elastic จากกฎของฮุก (Hooke's Law), กำหนดค่า $\tau = G\gamma$ และการเปลี่ยนแปลงความเครียดเฉือนเป็นเส้นตรง ความเค้นเฉือนเป็นเส้นตรงจาก $\gamma = \left(\frac{\rho}{C}\right) \gamma_{\max}$ และ $\tau = G\gamma$

$$\text{สามารถเขียนใหม่ได้เป็น } \gamma = \frac{\tau}{G} = \left(\frac{\rho}{C}\right) \gamma_{\max}, \therefore \tau = \left(\frac{\rho}{C}\right) G \gamma_{\max},$$

$$\tau = \left(\frac{\rho}{C}\right) \tau_{\max} \text{ จากรูป 4 ส่วนเล็ก ๆ ของพื้นที่}$$

คือ dA อยู่ ณ ตำแหน่งรัศมี ρ ใดๆ

∴ แรงที่กระทำ dF เท่ากับ dA

เอกสารนี้เป็นเอกสารที่สงวนไว้สำหรับการใช้งานเพื่อการศึกษาเท่านั้น ไม่อนุญาตให้นำไปใช้ประโยชน์ด้านการค้าไม่ว่ากรณีใดๆ ทั้งสิ้น อีกทั้งห้ามมิให้ดัดแปลงเนื้อหา และต้องอ้างอิงถึงเจ้าของเอกสารทุกครั้งที่มีการนำไปใช้

\therefore Torque ที่เกิดขึ้นเป็น $dT = \rho (\tau dA)$

รวมแรงบิด dT ย่อยจะได้ $\int dT = \int_A \rho(\tau dA)$

$$T = \int_A \rho \left(\frac{\rho}{C} \right) \tau_{\max} dA$$

$$\therefore T = \frac{\tau_{\max}}{C} \int_A \rho^2 dA$$

สมการ นี้ขึ้นอยู่กับเรขาคณิตของเพลลา และใช้แทนด้วย Polar Moment of Inertia ของหน้าตัดเพลลา (J) จะได้

$$\text{สมการ } T = \frac{\tau_{\max}}{C} J$$

$$\therefore \tau_{\max} = \frac{TC}{J}$$



กำหนดให้ τ_{\max} หมายถึง ความเค้นเฉือนสูงสุดของเพลลาที่ผิวนอกสุด

T หมายถึง ผลลัพธ์ของแรงบิดภายในที่กระทำต่อหน้าตัดหาจากวิธีตัดหน้าตัด (Section) และสมการสมดุลของโมเมนต์รอบแนวแกน

J หมายถึง Polar Moment of Inertia ของพื้นที่หน้าตัดมีค่าเท่ากับ $\int_A \rho^2 dA$

C หมายถึง รัศมีของเพลลา

ถ้าหา ค่าความเค้นเฉือน ($\int_0^C \rho^2 (2\pi\rho d\rho)$) ที่ตำแหน่งรัศมี ρ ใดๆ จะได้ $\tau = \frac{T\rho}{J}$

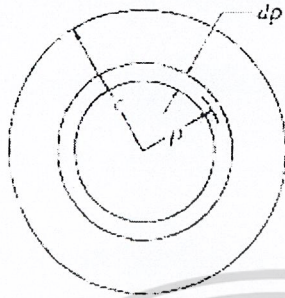
สมการ 2 สมการนี้เป็นสมการของการบิดที่ใช้กันมากให้สำหรับเพลลากลมและของแข็งนั้นเป็น

Homogenous และมีพฤติกรรมเป็น Linear – Elastic

เอกสารนี้เป็นเอกสารที่สงวนไว้สำหรับการใช้งานเพื่อการศึกษาเท่านั้น ไม่อนุญาตให้นำไปใช้ประโยชน์ด้านการค้า

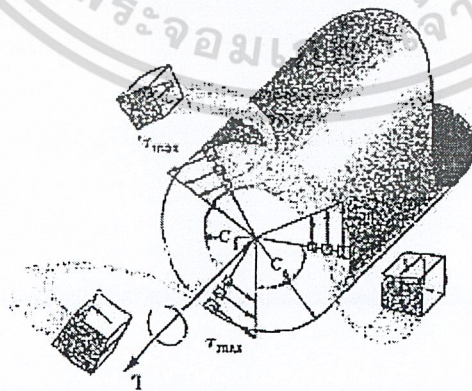
ไม่ว่ากรณีใดๆ ทั้งสิ้น อีกทั้งห้ามมิให้ดัดแปลงเนื้อหา และต้องอ้างอิงถึงเจ้าของเอกสารทุกครั้งที่มีการนำไปใช้

ค่า J ของเพลาดัน (Solid Shaft); : $J = \frac{\pi}{2} C^4$ หากจากรูป 2.5 ได้ดังนี้



รูป 2.5

$$\begin{aligned}
 \text{จากรูป } J &= \int_A \rho^2 dA \\
 &= \int_0^C \rho^2 (2\pi\rho d\rho) \\
 &= 2\pi \int_0^C \rho^3 d\rho \\
 &= 2\pi \left[\frac{\rho^{3+1}}{3+1} \right]_0^C \\
 J &= 2\pi \left[\frac{\rho^4}{4} \right]_0^C = 2 \left[\frac{C^4}{4} - \frac{0^4}{4} \right] = \frac{\pi}{2} C^4
 \end{aligned}$$



รูป 2.6

เอกสารนี้เป็นเอกสารที่สงวนไว้สำหรับการใช้งานเพื่อการศึกษาเท่านั้น ไม่อนุญาตให้นำไปใช้ประโยชน์ด้านการค้า
ไม่ว่ากรณีใดๆ ทั้งสิ้น อีกทั้งห้ามมิให้ดัดแปลงเนื้อหา และต้องอ้างอิงถึงเจ้าของเอกสารทุกครั้งที่มีการนำไปใช้

ค่า J ของเพลาทูลวง (Tubular Shaft) ;

$$J = \frac{\pi}{2} (C_o^4 - C_i^4) \text{ หารูป 2.6}$$

$$J = \int_A \rho^2 dA$$

$$J = \int_{C_i}^{C_o} \rho^2 2\pi\rho d\rho$$

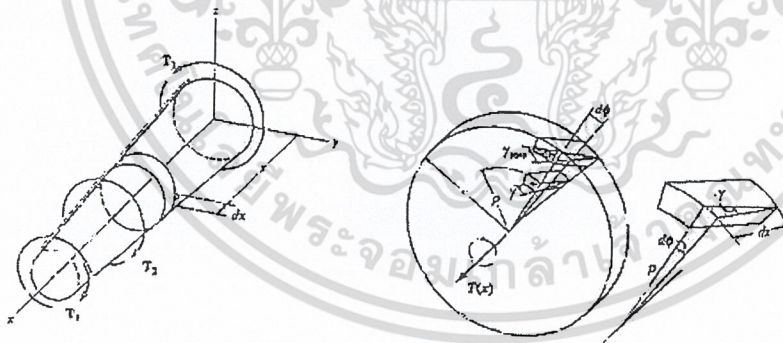
$$J = 2\pi \left[\frac{\rho^{3+1}}{4} \right]_{C_i}^{C_o}$$

$$J = \left[\frac{C_o^4}{4} - \frac{C_i^4}{4} \right]$$

$$J = \frac{\pi}{2} (C_o^4 - C_i^4)$$

2.3 มุมบิด (Angle of Twist)

เมื่อเพลาได้รับแรงบิด นอกจากจะทำให้เกิดความเค้นเฉือนบนหน้าตัด ณ ตำแหน่งรัศมีต่าง ๆ ของเพลาแล้ว ยังทำให้เกิดมุมบิดของเพลาขึ้นอีกด้วย ดังรูป 2.7



รูป 2.7

จากรูป 7 (a) ถ้าเราตัดหน้าตัดหน้าตัด (section) เพลาที่ระยะ x ใด ๆ หน้าตัดที่ตัดมีความกว้าง dx จะได้โคจรแรมรูปอิสระ ดังรูป 7 (b) แรงบิดลัพธ์ภายในใช้แทนด้วย $T(x)$ เนื่องจากภาระ (load) ภายนอกจะกระทำตามความยาวแกนที่เปลี่ยนแปลง $T(x)$ เป็นแรงบิดหมุนสัมพันธ์กับพื้นผิวหน้าหนึ่ง ๆ ที่ถูกตัดหน้าตัด (Section) ออกมาจากรูปข้างบนเราจะได้

$$y = \rho d\phi$$

และ $y = \gamma dx$

เอกสารนี้เป็นเอกสารที่สงวนไว้สำหรับการใช้งานเพื่อการศึกษาเท่านั้น ไม่อนุญาตให้นำไปใช้ประโยชน์ด้านการค้า ไม่ว่าจะกรณีใดๆ ทั้งสิ้น อีกทั้งห้ามมิให้ดัดแปลงเนื้อหา และต้องอ้างอิงถึงเจ้าของเอกสารทุกครั้งที่มีการนำไปใช้

$$\therefore \rho d\phi = \gamma dx,$$

$$d\phi = \frac{\gamma dx}{\rho}$$

กฎของฮุกกำหนดว่า $\gamma = \frac{\tau}{G}$ และความเค้นเฉือน สามารถเขียนในรูปของแรงบิดได้ดังนี้ ;

$$\tau = \frac{T(x)\rho}{J(x)}$$

$$\begin{aligned} \therefore \gamma &= \frac{T(x)\rho}{J(x)} / G \\ &= \frac{T(x)\rho}{J(x)} \cdot \frac{1}{G} \end{aligned}$$

แทนค่า γ ลงใน $d\phi$

$$\begin{aligned} \therefore d\phi &= \frac{T(x)\rho}{J(x) \cdot G \cdot \rho} dx \\ &= \frac{T(x)\rho}{J(x) \cdot G} dx \end{aligned}$$

หา มุมบิดทั้งหมดที่เกิดขึ้นได้ค่าดังนี้

$$\phi = \int_a^l \frac{T(x) dx}{J(x)G}$$

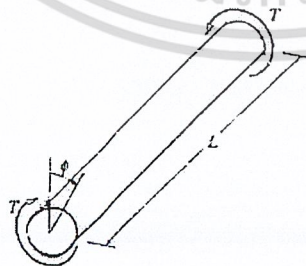
กำหนด ϕ หมายถึง มุมบิดของปลายเพลาช่างหนึ่งเมื่อเทียบกับปลายเพล่อีกข้างหนึ่ง

$T(x)$ หมายถึง แรงบิดภายในที่หน้าตัด (Section) x ใด ๆ

$J(x)$ หมายถึง Shaft's Polar Moment of Inertia ที่หน้าตัด ใด ๆ

G หมายถึง โมดูลัสการเฉือนของวัสดุ

ในกรณีเพลามีพื้นที่หน้าตัดกลมและแรงบิดคงที่



รูป 2.8

จากรูป 8 ถ้าคิดมุมบิด (ϕ) ที่ความยาวเริ่มต้น คือ ศูนย์ถึงความยาว L , จะได้สูตร $\phi = \frac{TL}{JG}$ ซึ่งมีลักษณะ

คล้ายกับภาระที่กระทำตามแนวแกน (Axially Load Bar) ที่ได้ศึกษามาแล้ว นั่น ไม่นุญาติให้นำไปใช้ประโยชน์ด้านการค้า

ไม่ว่ากรณีใดๆ ทั้งสิ้น อีกทั้งห้ามมิให้ดัดแปลงเนื้อหา และต้องอ้างอิงถึงเจ้าของเอกสารทุกครั้งที่มีการนำไปใช้

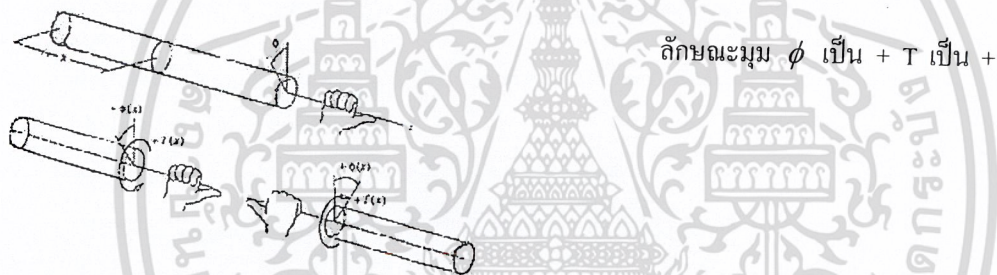
$$\Delta = \int \frac{P(x).dx}{A(x).E}$$

$$\Delta = \int \frac{PL}{AE}$$

Δ = ระยะยืด สำหรับเพลามีพื้นที่หน้าตัดเปลี่ยนแปลง แรงบิดเปลี่ยนแปลง และ โมดูลัสการเลื่อนเปลี่ยนแปลง จะหาค่ามุมบิดจากผลรวมของ $\frac{TL}{JG}$ ของทุกช่วง ซึ่งเขียนเป็นสูตรได้ดังนี้

$$\phi = \sum \frac{TL}{JG}$$

2.4 หลักการคิดเครื่องหมายของมุมบิด



รูป 9

จากรูป 9 เราใช้วิธีการคิดเครื่องหมายของมุมบิดตามแรงบิดที่เกิดขึ้น โดยใช้กฎมือขวา ดังนี้ นิ้วหัวแม่มือชี้ไปตามทิศทางของแกนที่เราตั้งขึ้น นิ้วที่เหลือทั้งสี่นิ้วแทนทิศทางของแรงบิดตรงข้ามกับสิ่งที่กล่าวไว้ แรงบิดจะมีค่าเป็นลบ มุมบิดจะเป็นเครื่องหมายลบด้วย

2.5 ความเข้มข้นของความเค้นที่เกิดขึ้นจากแรงบิด (Stress Concentration)

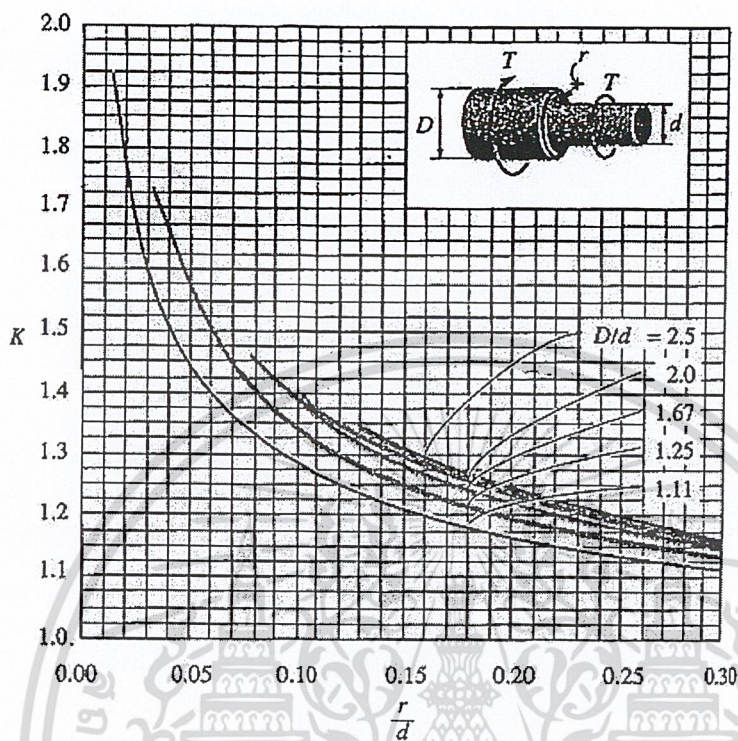
เพลามีการลดขนาดของหน้าตัด เมื่อถูกแรงบิดกระทำจะทำให้เกิดความเค้นเฉือนสูงสุด (τ_{max}) ซึ่งจะหาจากสมการได้ดังนี้

$$\tau_{max} = \frac{KTC}{J}$$

C คือ รัศมีผิววนอกสุดของเพลานในช่วงของเพลามีหน้าตัดเล็ก

K คือ ค่าสัมประสิทธิ์ที่เกิดจากความสัมพันธ์ระหว่าง $\frac{r}{d}$ กับ $\frac{D}{d}$ ของเพลานี้

เอกสารนี้เป็นเอกสารที่สงวนไว้สำหรับการใช้งานเพื่อการศึกษาเท่านั้น ไม่อนุญาตให้นำไปใช้ประโยชน์ด้านการค้าไม่ว่ากรณีใดๆ ทั้งสิ้น อีกทั้งห้ามมิให้ดัดแปลงเนื้อหา และต้องอ้างอิงถึงเจ้าของเอกสารทุกครั้งที่มีการนำไปใช้



รูปกราฟแสดงความสัมพันธ์ระหว่าง $\frac{r}{d}$ กับ K ของเพลากลมตันที่ลดขนาด

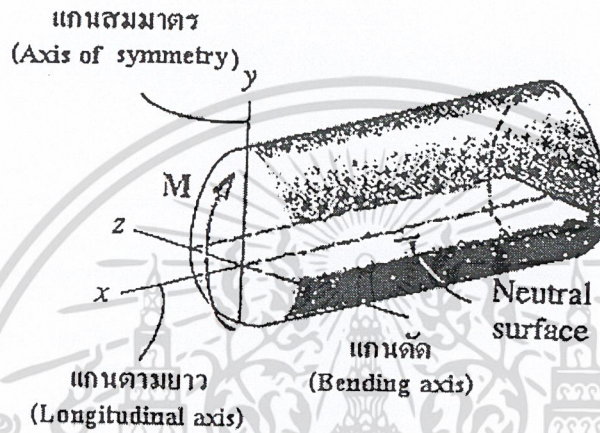
เอกสารนี้เป็นเอกสารที่สงวนไว้สำหรับการใช้งานเพื่อการศึกษาเท่านั้น ไม่อนุญาตให้นำไปใช้ประโยชน์ด้านการค้า
ไม่ว่ากรณีใดๆ ทั้งสิ้น อีกทั้งห้ามมิให้ดัดแปลงเนื้อหา และต้องอ้างอิงถึงเจ้าของเอกสารทุกครั้งที่มีการนำไปใช้

บทที่ 3

ความเค้นดัด (Bending Stress)

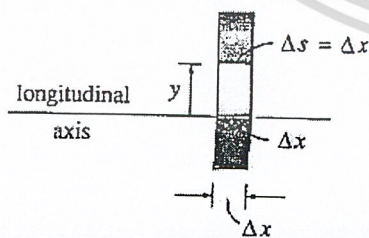
3.1 การเปลี่ยนรูปการดัดของคานตรง (Bending Deformation of a Straight Member)

เราจะอภิปรายถึง การเปลี่ยนรูปที่เกิดขึ้นเมื่อคานเป็นรูปปริซึมตรง ทำจากวัสดุที่มีลักษณะเป็น Homogeneous และถูกดัด ในที่นี้เราจะกำหนดในคานมีพื้นที่หน้าตัดสมมาตรในแนวตั้ง เมื่อเทียบกับแกนหลัก และโมเมนต์ดัดจะถูกใส่เข้าไปให้หมุนรอบกับแกนดัดในแนวนอน ดังรูป 3.1

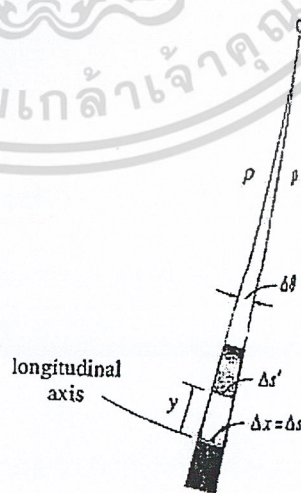


รูป 3.1

ส่วนในกรณีพฤติกรรมของคาน หรือค่าที่มีหน้าตัดไม่สมมาตร หรือทำจากวัสดุผสมที่แตกต่างกันไป จะได้นำมาอธิบายในหัวข้อต่อไป เช่น การเปลี่ยนรูปของวัสดุ เช่น ยาง เราสามารถอธิบายได้ว่าเกิดอะไรขึ้น และในที่นี้จะอธิบายถึงวัสดุหรือคานเป็นรูปปริซึมตรง เมื่อถูกโมเมนต์ดัดกระทำ จะเกิดการเปลี่ยนรูปดังรูป 3.3



รูป 3.2 การไม่เปลี่ยนรูป



รูป 3.3 การเปลี่ยนรูป

เอกสารนี้เป็นเอกสารที่สงวนไว้สำหรับการใช้งานเพื่อการศึกษาเท่านั้น ไม่อนุญาตให้นำไปใช้ประโยชน์ด้านการค้า ไม่ว่าจะกรณีใดๆ ทั้งสิ้น อีกทั้งห้ามมิให้ดัดแปลงเนื้อหา และต้องอ้างอิงถึงเจ้าของเอกสารทุกครั้งที่มีการนำไปใช้

เพื่อที่จะแสดงค่าการเปลี่ยนรูป ซึ่งจะเกิดค่าความเครียดของวัสดุในทิศทางตามแนวยาว (Longitudinal) เราจะแยกส่วน (Segment) ของคานที่มีระยะยาว x โดยพิจารณาเพียงความยาว Δx จากรูป 3.2 และรูป 3.2 เกิดการเปลี่ยนรูป ΔS กลายเป็น $\Delta S'$ (หลังจากการเปลี่ยน)

\therefore ความเครียดปกติตลอดความยาว ΔS หาได้คือ

$$\varepsilon = \lim_{\Delta s \rightarrow 0} \frac{\Delta s' - \Delta s}{\Delta s}$$

จากรูป 3.2 และรูป 3.3 จะได้ค่า $\Delta S' = (\rho - y) \Delta \theta$ และ $\Delta S = \rho \Delta \theta$ แทนค่าได้ดังนี้

$$\therefore \varepsilon = \lim \frac{(\rho - y) \Delta \theta - \rho \Delta \theta}{\rho \Delta \theta}$$

$$\therefore \varepsilon = -\frac{y}{\rho}$$

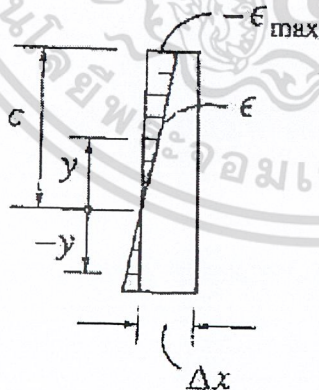
จากรูป 3.4 เป็นการกระจายความเครียดปกติบนหน้าตัด ณ ตำแหน่งระยะ C ซึ่งเป็นระยะห่างไกลที่สุดจากจุดศูนย์กลาง (ซึ่งตำแหน่งนี้เป็นจุดที่แกนสะเทินกลางผ่าน) ค่าของความเครียดปกติสูงสุดหาได้ดังนี้

$$\therefore \varepsilon_{\max} = \frac{c}{\rho}$$

$$\therefore \varepsilon_{\max} = -\frac{y/\rho}{c/\rho}$$

$$\varepsilon = \frac{-y}{c} \varepsilon_{\max}$$

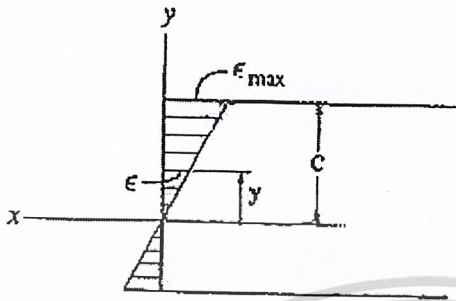
ดังนั้น



รูป 3.4

เอกสารนี้เป็นเอกสารที่สงวนไว้สำหรับการใช้งานเพื่อการศึกษาเท่านั้น ไม่อนุญาตให้นำไปใช้ประโยชน์ด้านการค้า ไม่ว่ากรณีใดๆ ทั้งสิ้น อีกทั้งห้ามมิให้ดัดแปลงเนื้อหา และต้องอ้างอิงถึงเจ้าของเอกสารทุกครั้งที่มีการนำไปใช้

3.2 สูตรของการดัด (The Flexure Bending Formula)



รูป 3.5 แสดงการแปรเปลี่ยนความเครียดเนื่อง

พิจารณาจากรูป 3.5

จาก $\epsilon = \frac{-y}{c} \epsilon_{max}$

จาก Hooke's Law ; $\sigma = E \epsilon$

$E = \frac{\sigma}{\epsilon}$

หรือ

$\epsilon = \frac{\sigma}{E}$

$\therefore \sigma = -\frac{y}{c} (\sigma_{max})$

พิจารณาจากรูป 3.6 แรงลัพธ์บนหน้าตัดมีค่าดังนี้

$$F_R = \sum F_X$$

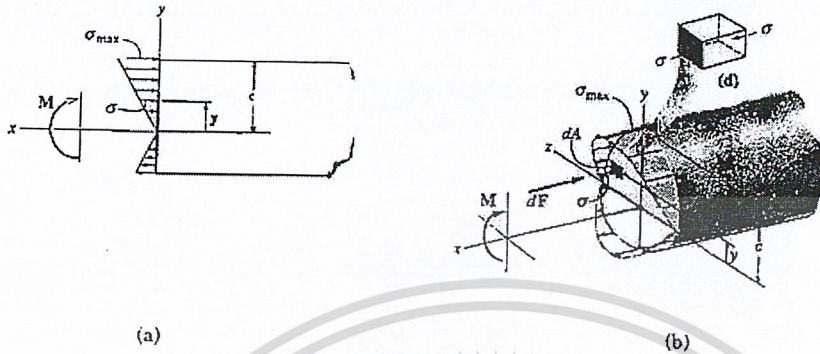
$$\int_A dF = 0$$

$$\int_A dA = 0$$

$$-\frac{\sigma_{max}}{c} \int_A y dA = 0$$

เนื่องจากค่าของ $\frac{\sigma_{max}}{c}$ จะต้องไม่เท่ากับศูนย์ เพราะฉะนั้น ค่าที่เท่ากับศูนย์คือ $\int_A y dA = 0$ ในอีกนัยหนึ่ง โมเมนต์แรกของพื้นที่หน้าตัดคานรอบแกนสะเทิน (Neutral axis) ต้องเป็นศูนย์ สภาพการณ์นี้ถ้าแกนสะเทิน คือ แกนศูนย์ถ่วงหรือแกนตัดในแนวอนสำหรับพื้นที่หน้าตัดและต้องหาค่าพื้นที่หน้าตัดโดยต้องรู้ตำแหน่งของแกนสะเทิน เพื่อที่จะหาความสัมพันธ์ของความเค้นในคานคั่นนำไปสู่ผลลัพธ์ของโมเมนต์ภายใน M ที่กระทำต่อพื้นที่หน้าตัด โมเมนต์นี้จะมีค่าเท่ากับโมเมนต์ที่กระจายรอบแกนสะเทิน โมเมนต์ของแรง dF รอบแกนสะเทินคือ dM = ydF ดังรูป 11 ในที่นี้ค่าของโมเมนต์มีค่าเป็นบวก เนื่องจากใช้กฎมือขวา ทิศทางไป เอกสารนี้เป็นเอกสารที่สงวนไว้สำหรับการใช้งานเพื่อการศึกษาเท่านั้น ไม่นอนุญาตให้นำไปใช้ประโยชน์ด้านการค้า ไม่ว่าจะกรณีใดๆ ทั้งสิ้น อีกทั้งห้ามมิให้ดัดแปลงเนื้อหา และต้องอ้างอิงถึงเจ้าของเอกสารทุกครั้งที่มีการนำไปใช้

ทางบวกของแกน Z เนื่องจาก $dF = \sigma dA$ เมื่อ y เป็นบวก และ σ มีค่าเป็นลบ (อัด) จะได้ $(M_R)_z$ เท่ากับ โมเมนต์ลัพธ์รอบแกน Z เพราะฉะนั้น $(M_R)_z$ เท่ากับ ฉะนั้น $\sum M_z$ โมเมนต์ลัพธ์รอบแกน z หาค่าได้ดังนี้



รูป 3.6 แสดงการแปรเปลี่ยนความเค้นดัด

$$\begin{aligned}
 M &= \int_A y dF \\
 M &= \int_A y (-\sigma dA) \\
 M &= \int_A y \left(\frac{y}{c} \sigma_{\max} \right) dA \\
 M &= \frac{\sigma_{\max}}{c} \int_A y^2 dA \\
 \therefore \sigma_{\max} &= \frac{Mc}{I}
 \end{aligned}$$

[ในที่นี้ค่าของ $\int_A y^2 dA$ แทนด้วยค่า I]

กำหนดให้

- σ_{\max} หมายถึง ความเค้นปกติสูงสุดจากการดัดในแกนที่เกิดขึ้นบนพื้นที่หน้าตัด ณ ตำแหน่งที่ไกลที่สุดจากแกนสะเทิน
- M หมายถึง โมเมนต์ลัพธ์ภายใน หาจาวีธีตัดพื้นที่หน้าตัด (Section) และใช้สมการการสมดุล โดยคำนวณรอบแกนสะเทินของหน้าตัด
- I หมายถึง โมเมนต์ความเฉื่อยของพื้นที่หน้าตัดคำนวณรอบแกนสะเทิน
- C หมายถึง ระยะตั้งฉากจากแกนสะเทิน ถึงจุดไกลที่สุดจากแกนสะเทิน ระยะ c ที่ไกลที่สุดเป็นตำแหน่งที่ σ_{\max} กระทำ

$$\text{จาก } \sigma_{\max} = \frac{MC}{I}$$

$$\frac{\sigma_{\max}}{C} = \frac{M}{I}$$

$$\text{จากสมการของ } \sigma = -\frac{y}{C} \sigma_{\max}$$

$$\therefore \text{จะได้ว่า } \sigma = -\frac{My}{I}$$

เอกสารนี้เป็นเอกสารที่สวอนไว้สำหรับการใช้งานเพื่อการศึกษาเท่านั้น ไม่อนุญาตให้นำไปใช้ประโยชน์ด้านการค้า ไม่ว่าจะกรณีใดๆ ทั้งสิ้น อีกทั้งห้ามมิให้ดัดแปลงเนื้อหา และต้องอ้างอิงถึงเจ้าของเอกสารทุกครั้งที่มีการนำไปใช้

หมายเหตุ เครื่องหมายลบ (-) เกิดจากเรตติ้งแกน x, y, z , โดยใช้กฎมือขวา M มีค่าเป็นบวก (+) ตลอดแกน z และแกน y ทิศทางขึ้นเป็นบวกทำให้ σ เป็นลบเนื่องจาก σ กระทำทิศทางตรงข้ามกับแกน x ที่เรตติ้งไว้



เอกสารนี้เป็นเอกสารที่สงวนไว้สำหรับการใช้งานเพื่อการศึกษาเท่านั้น ไม่อนุญาตให้นำไปใช้ประโยชน์ด้านการค้า
ไม่ว่ากรณีใดๆ ทั้งสิ้น อีกทั้งห้ามมิให้ดัดแปลงเนื้อหา และต้องอ้างอิงถึงเจ้าของเอกสารทุกครั้งที่มีการนำไปใช้

บทที่ 4

ระบบแรง

4.1 การสมดุลของวัตถุ (Equilibrium of a Deformation Body)

ภาระ (load) ที่กระทำต่อวัตถุแบ่งออกเป็นชนิดต่างๆ ได้ดังนี้

ภาระภายนอก (External load)

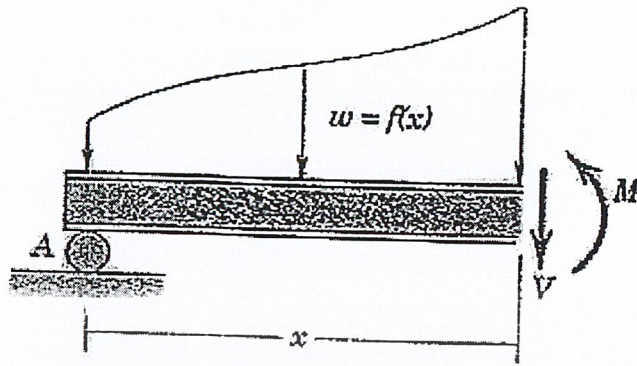
มีความแตกต่างกันหลายรูปแบบสำหรับภาระภายนอก ซึ่งเราอาจจะแบ่งตามแรงที่กระทำต่อผิวของวัตถุ (Surface Force) และแรงที่เกิดจากน้ำหนักของวัตถุ (Body Force) แรงที่กระทำต่อวัตถุ

เป็นแรงที่กระทำต่อผิวสัมผัส โดยกระจายอยู่บนพื้นที่สัมผัสระหว่างสัมผัสวัตถุ (Surface Force) ทุกรูปพื้นที่นั้นเล็กน้อยเมื่อเปรียบเทียบกับพื้นที่ทั้งหมดของวัตถุและแรงที่กระทำต่อผิววัตถุนี้สามารถที่จะกำหนด หรือแทนด้วยแรงรวมจุดเดียวได้ (Concentrated Force Idealization) ซึ่งเรากำหนดให้เป็นดังรูป สำหรับตัวอย่างเช่น รถจักรยานสองล้อ เมื่อศึกษาถึงภาระ (Loading) บนจักรยาน แรงที่กระทำต่อพื้นผิวของล้อเป็นพื้นที่ความยาวแคบๆ (Load and Narrow Area) ที่กระจายเป็นเส้นตรงก็ได้ (A linear distributed Load, $W(S)$) ในที่นี้ Loading ถูกวัดออกมาเป็นความเข้มของแรงต่อความยาว (intensity of Force / Length) ตลอดพื้นที่ และถูกแทนด้วยกราฟต่อกันด้วยสัญลักษณ์ยาวตลอดเส้น S ดังรูป



รูปที่ 4.1 แรงที่กระทำต่อผิว

การกระทำของภาระตลอดความยาวของคาน (Beam) เป็นตัวอย่างอีกตัวอย่างในเรื่องนี้ซึ่งภาระนี้ถูกแทนด้วยแรงลัพธ์ตลอดความยาวเส้น S ดังรูป แรงลัพธ์นี้จะสมดุลต่อพื้นที่ภายใต้แรงกระจาย (Distributed Loading Curve) แรงลัพธ์นี้จะกระทำที่จุดศูนย์กลางถ่วงของพื้นที่



รูปที่ 4.2 แสดงแรงกระทำที่ผิววัตถุ

แรงจากน้ำหนักวัตถุ (Body Force)

เกิดขึ้นเมื่อวัตถุหนึ่งใช้แรงกระทำกับอีกวัตถุหนึ่ง โดยวัตถุหนึ่งปราศจากการติดต่อกันโดยตรงระหว่างวัตถุตัวอย่างก็คือ ผลของแรงดึงดูดของโลกหรืออำนาจสนามแม่เหล็กถึงแม้ว่าแรงของวัตถุจะมีผลต่ออนุภาค (Particle) เล็ก ๆ ของส่วนประกอบวัตถุแรงเหล่านี้จะถูกแทนด้วยแรงๆ เดียว (Single Concentrated Force) ที่กระทำต่อวัตถุในกรณีแรงดึงดูดของโลก เราเรียกว่า น้ำหนักของวัตถุ โดยกระทำผ่านจุดศูนย์กลางถ่วงแรงปฏิกิริยารองรับ (Support Reaction)

แรงที่พื้นผิว (Surface Force) จะถูกกำหนดเป็นจุดรองรับ (Support) ระหว่างวัตถุซึ่งถูกเรียกว่า แรงปฏิกิริยา สำหรับโจทย์ ประเภท 2 มิติ เช่นวัตถุอยู่บนผิวราบ (Coplanar) ดูแรงปฏิกิริยาได้จากตาราง

MODELING THE ACTION OF FORCES IN TWO-DIMENSIONAL ANALYSIS	
Type of Contact and Force Origin	Action on Body to be Isolated
1. Flexible cable, belt, chain, or rope Weight of cable negligible Weight of cable not negligible	<p>Force exerted by a flexible cable is always a tension away from the body in the direction of the cable.</p>
2. Smooth surfaces	<p>Contact force is repulsive and is normal to the surface.</p>
3. Rough surfaces	<p>Rough surfaces are capable of supporting a tangential component F (frictional force) as well as a normal component N of the resultant contact force R.</p>
4. Roller support	<p>Roller, rocker, or ball support transmits a compressive force normal to the supporting surface.</p>
5. Freely sliding guide	<p>Collar or slider free to move along smooth guides; can support force normal to guide only.</p>

MODELING THE ACTION OF FORCES IN TWO-DIMENSIONAL ANALYSIS	
Type of Contact and Force Origin	Action on Body to be Isolated
6. Pin connection	<p>Pin free to turn Pin not free to turn A freely hinge connection is capable of supporting a force in any direction in the plane normal to the axis; usually supports two components R_1 and R_2. A pin is free to turn; may also support a couple.</p>
7. Built-in or fixed support	<p>A built-in or fixed support is capable of supporting an axial force F, a transverse force V (shear) and a couple M (bending moment) to prevent rotation.</p>
8. Gravitational attraction	<p>The resultant of gravitational attraction on all elements of a mass m is the weight $W = mg$ and act toward the center of the earth through center mass G.</p>
9. Spring action Neutral position Linear Nonlinear Hardening Softening	<p>Spring force is tensile if spring is stretched and compressive if compressed. For linearly elastic spring the stiffness k is the force required to deform the spring unit distance.</p>

ตารางที่ 4.1 แสดงการใช้สัญลักษณ์แทนจุดรองรับและประเภทของแรงปฏิกิริยาที่ถูกใช้กับโครงสร้าง
 เอกสารนี้เป็นเอกสารที่สงวนไว้สำหรับการใช้งานเพื่อการศึกษาเท่านั้น ไม่อนุญาตให้นำไปเผยแพร่โดยไม่ได้รับอนุญาต
 ไม่ว่าจะกรณีใดๆ ทั้งสิ้น อีกทั้งห้ามมิให้ดัดแปลงเนื้อหา และต้องอ้างอิงถึงเจ้าของเอกสารทุกครั้งที่มีการนำไปใช้

สมการการสมดุล (Equation of Equilibrium)

ในการแก้ปัญหาโจทย์เกี่ยวกับภาวะหรือ load ในทางวิศวกรรม จะใช้หลักการสมดุล ซึ่งมี 2 ลักษณะ ดังนี้

1. การสมดุลของแรง: วัตถุจะอยู่นิ่งก็ต่อเมื่อ
 - ผลรวมของแรงในแนวแกนมีค่าเป็นศูนย์
2. การสมดุลของโมเมนต์ : โมเมนต์จะสมดุลก็ต่อเมื่อ
 - ผลรวมของโมเมนต์รอบจุดหมุนของแกนมีค่าเป็นศูนย์

ในการคิดภาวะของวัตถุใน 3 แกน เราจะใช้การสมดุลของแรงและโมเมนต์ดังนี้

- ผลรวมของแรงในแนวแกน $X = 0$ ($\sum F_x = 0$)
- ผลรวมของแรงในแนวแกน $Y = 0$ ($\sum F_y = 0$)
- ผลรวมของแรงในแนวแกน $Z = 0$ ($\sum F_z = 0$)
- ผลรวมของโมเมนต์รอบแกน $X = 0$ ($\sum M_x = 0$)
- ผลรวมของโมเมนต์รอบแกน $Y = 0$ ($\sum M_y = 0$)
- ผลรวมของโมเมนต์รอบแกน $Z = 0$ ($\sum M_z = 0$)

ในทางปฏิบัติภาวะหรือ load บนวัตถุสามารถแทนด้วย (Coplanar Force) และใช้การสมดุลสเกลาร์ ดังนี้

$$\sum F_x = 0, \sum F_y = 0, \sum F_z = 0$$

ในที่นี้จุด 0 เป็นจุด Origin of Coordinate โมเมนต์จะหมุนรอบแกน z การนำสมการสมดุลไปใช้งาน ต้องเขียนในรูปของไดอะแกรมอิสระ (Free Body Diagram) ก่อนการหาแรงหรือภาวะภายในที่กระทำ

บทที่ 5

การออกแบบสำหรับการแตกหักเนื่องจากความล้า

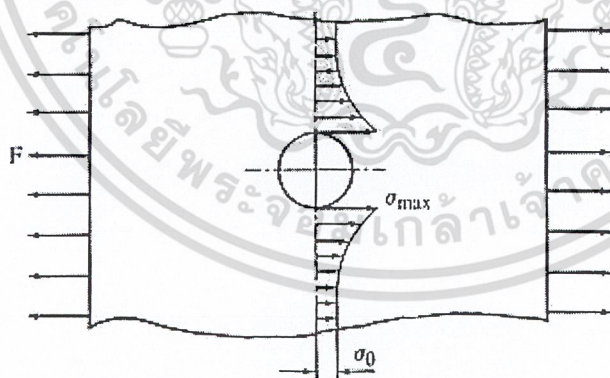
5.1 กลไกของความล้า

การแตกหักเนื่องจากความล้าอาจเริ่มจากบริเวณที่มีรอยแตกขนาดเล็ก รอยแตกนี้มีขนาดเล็กมากจนกระทั่งไม่อาจมองเห็นได้ด้วยตาเปล่า ถึงแม้ว่าจะใช้เครื่องเอกซเรย์ตรวจก็ยังยากที่จะหาตำแหน่งรอยแตกนี้ได้ ณ ตำแหน่งนี้ ความเค้นที่เกิดขึ้นซ้ำ ๆ กัน (repeated stress) จะมีค่าสูงกว่าความต้านแรงทาน (endurance strength) ของวัสดุ ทำให้รอยแตกขนาดเล็กนี้จะค่อย ๆ เพิ่มขึ้นจนกระทั่งชิ้นงานขาดออกจากกัน

ในกรณีที่ชิ้นงานมีลักษณะขาดความต่อเนื่อง (discontinuity) เช่น เปลี่ยนแปลงพื้นที่หน้าตัดอย่างกะทันหัน มีการเจาะรูกลมหรือเจาะรู ความเค้นที่เกิดขึ้นที่บริเวณเหล่านี้จะมีค่าสูงกว่าบริเวณอื่น ๆ รูปที่ 13 แสดงถึงแผ่นแบนราบมีรูเจาะอยู่ตรงกลางและอยู่ภายใต้แรงดึง F ความเค้นที่บริเวณขอบรูจะมีค่าสูงกว่าบริเวณที่ห่างออกไปจากรูเจาะ ถ้าแรง F นี้เป็นแรงที่กระทำซ้ำกันอยู่ตลอดเวลา รอยแตกก็อาจจะเริ่มจากบริเวณขอบรูก่อน แล้วค่อย ๆ ขยายออกไป อัตราส่วนระหว่างความเค้นสูงสุดที่บริเวณขอบรูเจาะ σ_{max} กับความเค้นบริเวณที่ห่างจากรูเจาะ σ_0 (ซึ่งหาได้จากสมการ $\sigma_0 = F/A$) มีชื่อเรียกว่า ตัวประกอบความเค้นหนาแน่น (stress concentration factor) นั่นคือ

$$K = \frac{\sigma_{max}}{\sigma_0}$$

ซึ่งเป็นค่าที่สำคัญในการออกแบบชิ้นส่วนเครื่องจักรกลที่รับแรงกลับไปกลับมา หรือแรงที่กระทำซ้ำกัน



รูปที่ 5.1 ความเค้นบริเวณรูเจาะ

ความล้าเป็นปรากฏการณ์ที่สลับซับซ้อน และมีผู้ที่เข้าใจอย่างลึกซึ้งโดยเฉพาะเมื่อต้องศึกษาลงไปถึงระดับจุลภาค (microscopic) เนื่องจากขาดความรู้อย่างถ่องแท้ในเรื่องความล้าดังนั้นในการออกแบบชิ้นส่วนเครื่องจักรกลจึงต้องเลือกใช้ค่าความปลอดภัยให้มากไว้ก่อนในบางโอกาส

เอกสารนี้เป็นเอกสารที่สงวนไว้สำหรับการใช้งานเพื่อการศึกษาเท่านั้น ไม่อนุญาตให้นำไปใช้ประโยชน์ด้านการค้าไม่ว่ากรณีใดๆ ทั้งสิ้น อีกทั้งห้ามมิให้ดัดแปลงเนื้อหา และต้องอ้างอิงถึงเจ้าของเอกสารทุกครั้งที่มีการนำไปใช้

5.2 ตัวประกอบของผิว

ค่าขีดจำกัดความทนทานดังที่กล่าวมาแล้วใช้สำหรับชิ้นทดสอบผิวขัดมันเท่านั้น โดยทั่วไปแล้วคุณภาพของผิวชิ้นงานจะต่ำกว่าชิ้นทดสอบ ความขรุขระของผิวหน้าก็ทำให้ชิ้นงานแตกหักเนื่องจากความล้าได้ง่ายขึ้นอีก เพราะฉะนั้นจึงต้องมีการปรับค่าขีดจำกัดความทนทานของชิ้นงานตามสภาพของผิว ซึ่งแสดงตัวประกอบที่ใช้สำหรับลดค่าดังกล่าวนี้ของผิวชนิดต่าง ๆ มีชื่อเรียกว่า ตัวประกอบของผิว (surface factor) k_s ถ้าชิ้นงานที่มีโอกาสแตกหักเนื่องจากความล้าแล้ว คุณภาพของผิวมีผลต่ออายุการใช้งานของชิ้นงานนั้นมาก

5.3 ตัวประกอบของขนาด

การทดสอบหาขีดจำกัดความทนทานทำโดยใช้ชิ้นทดสอบขนาดมาตรฐาน เส้นผ่านศูนย์กลาง 8 mm ถ้าขนาดหน้าตัดโคขึ้นไปอีกจะพบว่าขีดจำกัดความทนทานลดลง ดังนั้นจึงต้องมีตัวประกอบมาคูณค่าขีดจำกัดความทนทานจากชิ้นทดสอบมาตรฐาน เพื่อให้ได้ค่าที่เหมาะสมกับชิ้นงานที่มีขนาดใหญ่กว่าชิ้นทดสอบซึ่งมีชื่อเรียกว่า ตัวประกอบของขนาด (size factor) k_b โดยแนะนำให้ใช้ค่าดังต่อไปนี้

$$k_b = 1.00 \quad \text{สำหรับ } d < 8 \text{ mm}$$

$$k_b = 0.85 \quad \text{สำหรับ } 8 < d < 50 \text{ mm}$$

$$k_b = 0.75 \quad \text{สำหรับ } d > 50 \text{ mm}$$

ตัวประกอบของขนาดนี้ใช้ได้ทั้งการดึง การบิด และการตัด ในกรณีที่ชิ้นงานมีหน้าตัดไม่กลมก็ให้คิดความยาวส่วนที่สั้นที่สุดของหน้าตัดนั้นเป็นหลัก

5.4 ตัวประกอบของแรง

จากการที่ได้ทราบมาแล้วว่าวัสดุทั่วไปมีคุณสมบัติในการรับความเค้นเฉือนได้น้อยกว่าความเค้นดึงหรือกด ในกรณีของขีดจำกัดความทนทานก็เช่นเดียวกัน จากการทดสอบจะพบว่าขีดจำกัดความทนทานจากการดัดนี้เรียกว่าตัวประกอบของแรง (load factor) โดยแนะนำให้ใช้ค่าดังต่อไปนี้

$$k_c = 1.00 \quad \text{สำหรับการดัด}$$

$$k_c = 0.80 \quad \text{สำหรับการดึงหรือการกด}$$

$$k_c = 0.06 \quad \text{สำหรับการเฉือน}$$

เพราะฉะนั้น

$$\text{สำหรับการดัด } \sigma_n = k_s k_b \sigma_n$$

$$\text{สำหรับการดึง } \sigma_n = 0.80 \times (\sigma_n \text{ จากการดัด})$$

$$\text{สำหรับการเฉือน } \tau_n = 0.60 \times (\sigma_n \text{ จากการดัด})$$

ถ้า σ_n หรือ τ_n นี้คือ ค่าความต้านแรงทนทาน

5.5 ตัวประกอบความเค้นหนาแน่น

ความต้านแรงทนทานดังกล่าวมาเป็นค่าสำหรับชิ้นงานที่มีหน้าตัดคงที่ ในกรณีทั่วไปชิ้นงานอาจมีลักษณะขาดความต่อเนื่อง เช่น มีร่อง รูเจาะ หรือเปลี่ยนขนาด จึงทำให้ความเค้นที่เกิดขึ้นในบริเวณนี้มีค่าสูงกว่าค่าที่คำนวณตามปกติ นั่นคือ

เอกสารนี้เป็นเอกสารที่สงวนลิขสิทธิ์สำหรับใช้ในการเรียนเพื่อการศึกษาเท่านั้น ไม่อนุญาตให้นำไปใช้ประโยชน์ด้านการค้า
ไม่ว่ากรณีใดๆ ทั้งสิ้น อีกทั้งห้ามมิให้ดัดแปลงเนื้อหา และต้องอ้างอิงถึงเจ้าของเอกสารทุกครั้งที่มีการนำไปใช้

โดยที่ σ_0 เป็นค่าที่คำนวณจาก F/A , Mc/I หรือ Tr/J โดยคิดพื้นที่หน้าตัดสุทธิ (net) และ K_t มีชื่อเรียกว่าตัวประกอบความเค้นหนาแน่นทางทฤษฎี (theoretical stress concentration factor)

ค่า K_t นี้เป็นค่าที่ได้จากการทดลองชิ้นงานชนิดต่าง ๆ ซึ่งใช้วัสดุพิเศษโดยเฉพาะเรียกว่าวัสดุยืดหยุ่นโปร่งแสง (photo elastic material) ตามปกติแล้วชิ้นงานจริงจะเป็นวัสดุที่แตกต่างไปจากวัสดุที่ใช้ทดลอง ดังนั้นความไว (sensitivity) ของวัสดุต่อการเพิ่มความเค้นบริเวณที่มีร่อง รู หรือเปลี่ยนขนาดจึงแตกต่างกันไปด้วย เช่น เหล็กหล่อเป็นโลหะเนื้อพรุน ฉะนั้นจึงอ้อมตัวต่อความเค้นหนาแน่นอยู่แล้ว ค่า K_t จึงควรเข้าใกล้ 1 (แสดงว่ามีความเค้นหนาแน่นเพิ่มขึ้น เนื่องจากความไม่ต่อเนื่องของชิ้นงานอีกน้อยมาก) ดัชนีที่ใช้บอกถึงความไวของวัสดุต่อการเกิดความเค้นหนาแน่นนี้เรียกว่า ความไวของรอยเจาะ (notch sensitivity) q ซึ่งมีนิยามว่า

$$q = \frac{K_f - 1}{K_t - 1}$$

หรือ
$$K_f = 1 + q(K_t - 1)$$

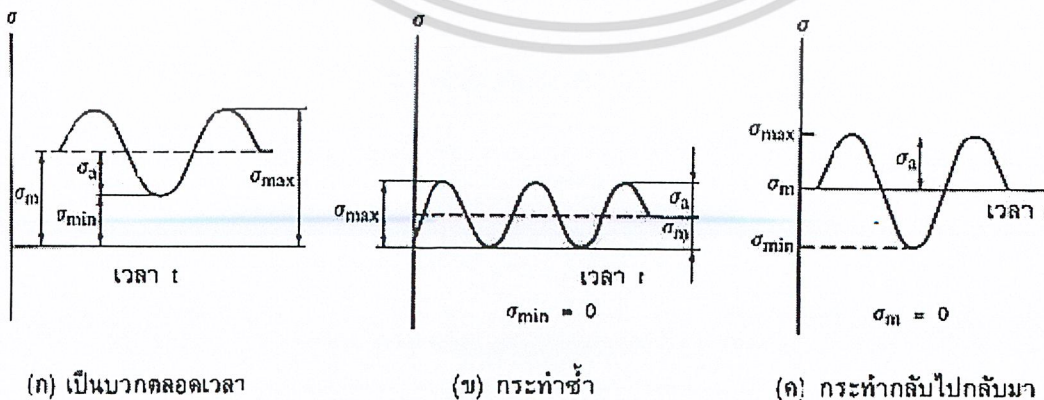
โดยที่ K_f เป็นค่าตัวประกอบความเค้นหนาแน่นจริง (actual stress concentration factor)

ถ้า $q = 0$ จะได้ $K_f = 1$ แสดงว่าไม่มีผลของความเค้นหนาแน่น เนื่องจากความไม่ต่อเนื่องของชิ้นงานอยู่ด้วย แต่ถ้า $q = 1$ จะได้ $K_f = K_t$ ซึ่งแสดงว่าวัสดุมีความไวต่อความเค้นหนาแน่นเต็มที่ค่าความไวของรอยเจาะนี้ได้

ผู้ออกแบบบางคนนิยมให้ $K_f = K_t$ (ค่าสูงสุดของตัวประกอบความเค้นหนาแน่น) ทั้งนี้เพื่อความปลอดภัยของชิ้นงาน ดังนั้นในกรณีที่มีข้อมูลไม่เพียงพอก็ควรใช้ $K_f = K_t$ แต่ทั้งนี้ขึ้นอยู่กับความชำนาญของผู้ออกแบบที่จะกำหนดค่า K_f ขึ้นมาใช้

5.6 เกณฑ์ของโซเดอร์เบอร์ก

ในการออกแบบชิ้นงานโดยคิดถึงความปลอดภัย มักนิยมใช้วิธีการที่เรียกว่า เกณฑ์ของโซเดอร์เบอร์ก (Soderberg's criterion) เป็นส่วนมาก แต่ก่อนที่จะถึงวิธีการออกแบบดังกล่าว ให้มาพิจารณาถึงลักษณะการเปลี่ยนแปลงแรง (หรือความเค้น) และนิยามบางค่าต่อไปนี้



รูปที่ 5.2 การเปลี่ยนแปลงความเค้นแบบไซนูซอยดัล

เอกสารนี้เป็นเอกสารที่สงวนไว้สำหรับการใช้งานเพื่อการศึกษาเท่านั้น ไม่อนุญาตให้นำไปใช้ประโยชน์ด้านการค้าไม่ว่ากรณีใดๆ ทั้งสิ้น อีกทั้งห้ามมิให้ดัดแปลงเนื้อหา และต้องอ้างอิงถึงเจ้าของเอกสารทุกครั้งที่มีการนำไปใช้

ในชิ้นงานทั่วไปแล้วแรงจะเปลี่ยนแปลงไปในลักษณะที่ไม่อาจจะทราบได้อย่างแน่นอน แต่เพื่อให้สามารถคำนวณได้จึงสมมติให้แรงเปลี่ยนแปลงในลักษณะแบบไซน์ซอยดัล (sinusoidal) ดังรูปที่ 16 (ก) แสดงให้เห็นถึงการเปลี่ยนแปลงความเค้นซึ่งมีค่าเป็นบวก (ความเค้นดึง) ตลอดเวลา รูปที่ 16 (ข) เป็นแบบกระทำซ้ำ คือเปลี่ยนแปลงจากค่าศูนย์ไปเป็นค่าสูงสุดแล้วกลับมาเป็นศูนย์อีก รูปที่ 16 (ค) เป็นแบบกลับไปกลับมา คือเปลี่ยนแปลงจากค่าบวกสูงสุดไปยังค่าลบสูงสุดที่มีขนาดเท่ากัน ถ้าให้อัตราส่วน

$$R = \frac{\sigma_{\min}}{\sigma_{\max}}$$

โดยที่ σ_{\min} เป็นความเค้นต่ำสุด และ σ_{\max} เป็นความเค้นสูงสุด จะได้ว่า

$$R = 0 \text{ ในกรณีรูปที่ 16 (ข)}$$

$$R = -1 \text{ ในกรณีรูปที่ 16 (ค)}$$

นอกจากนี้ยังมีนิยามที่จำเป็นจะต้องทราบอีกคือ

$$\sigma_a = \frac{\sigma_{\max} - \sigma_{\min}}{2} = \text{ความเค้นส่วนเปลี่ยน (stress amplitude)}$$

$$\sigma_m = \frac{\sigma_{\max} + \sigma_{\min}}{2} = \text{ความเค้นเฉลี่ย (mean stress)}$$

โดยที่ σ_a และ σ_m สามารถหาได้จากสมการ

$$\sigma_a = \frac{F_a}{A} \text{ หรือ } \frac{M_a c}{I} \text{ หรือ } \frac{\alpha F_a}{A} \text{ หรือ } \frac{T_a r}{J} (\tau_a)$$

$$\sigma_m = \frac{F_m}{a} \text{ หรือ } \frac{M_m c}{I} \text{ หรือ } \frac{\alpha F_m}{A} \text{ หรือ } \frac{T_m r}{J} (\tau_m)$$

ส่วนค่า F_a , M_a , T_a , F_m , M_m และ T_m หาค่าได้จากสมการ

$$F_a = \frac{F_{\max} - F_{\min}}{2}$$

$$M_a = \frac{M_{\max} - M_{\min}}{2}$$

$$T_a = \frac{T_{\max} - T_{\min}}{2}$$

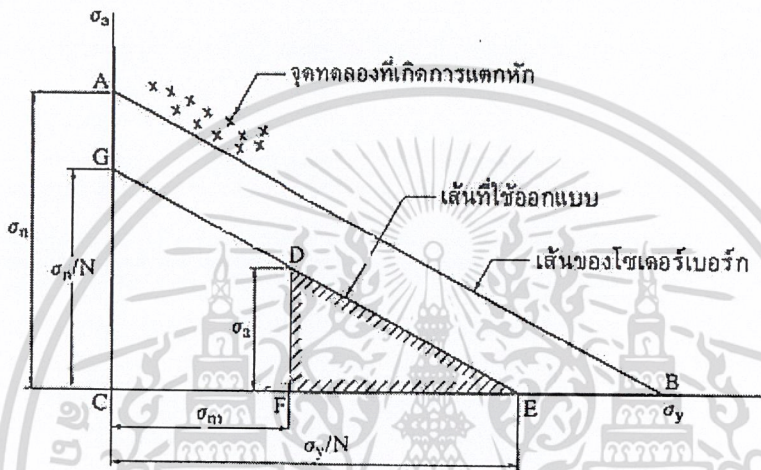
$$F_m = \frac{F_{\max} + F_{\min}}{2}$$

$$M_m = \frac{M_{\max} + M_{\min}}{2}$$

เอกสารนี้เป็นเอกสารที่สงวนไว้สำหรับการใช้งานเพื่อการศึกษาเท่านั้น ไม่อนุญาตให้นำไปใช้ประโยชน์ด้านการค้า ไม่ว่าจะกรณีใดๆ ทั้งสิ้น อีกทั้งห้ามมิให้ดัดแปลงเนื้อหา และต้องอ้างอิงถึงเจ้าของเอกสารทุกครั้งที่มีการนำไปใช้

$$T_m = \frac{T_{max} + T_{min}}{2}$$

ไซเคอร์เบอร์กได้เขียนจุดที่ได้จากการทดลองขึ้นตัวอย่างจนแตกหักบนแกน แล้วโยงเส้น จากค่า ไปยัง และพบว่าจุดเหล่านี้อยู่นอกเส้น เป็นส่วนใหญ่แสดงว่าถ้าหากขนาดของชิ้นงานทำให้สถานภาพของความเค้นอยู่บนเส้น แล้ว ชิ้นงานจะไม่แตกหักเนื่องจากความล้า ในการออกแบบจะเพิ่มค่าความปลอดภัย N เข้าไปอีก ดังนั้น เส้น จึงเป็นเส้นที่ใช้ในการออกแบบ ดังรูปที่ 17



รูปที่ 5.3 แกนค่าของไซเคอร์เบอร์ก

ในการหาสมการเส้น GE ให้พิจารณาสามเหลี่ยมคล้าย DEF และ ABC ดังนี้

$$\frac{DF}{AC} = \frac{EF}{BC}$$

หรือ
$$\frac{1}{N} = \frac{\sigma_m}{\sigma_y} + \frac{\sigma_a}{\sigma_n} \tag{1}$$

สมการที่ 1 เป็นสมการของไซเคอร์เบอร์กที่ต้องการและเหมาะกับการออกแบบชิ้นงานที่ทำจากวัสดุเหนียว สำหรับวัสดุเปราะจะไม่จุกคราก ความเค้นที่ใช้ก็อาจจะเป็นความต้านแรงดึง หรือความเค้นพิสูจน์ (proof stress) ก็ได้ กู๊ดแมน (Goodman) ได้วิเคราะห์ทำนองเดียวกันกับไซเคอร์เบอร์ก แต่แทนจุด B ในรูป 17 ด้วยความต้านแรงดึง แทนที่จะใช้ความต้านแรงดึงคราก จึงได้สมการในลักษณะเดียวกับสมการที่ 1 คือ

$$\frac{1}{N} = \frac{\sigma_m}{\sigma_u} + \frac{\sigma_a}{\sigma_n} \tag{2}$$

เอกสารนี้เป็นเอกสารที่สงวนไว้สำหรับการใช้งานเพื่อการศึกษาเท่านั้น ไม่อนุญาตให้นำไปใช้ประโยชน์ด้านการค้า ไม่ว่าจะกรณีใดๆ ทั้งสิ้น อีกทั้งห้ามมิให้ดัดแปลงเนื้อหา และต้องอ้างอิงถึงเจ้าของเอกสารทุกครั้งที่มีการนำไปใช้

ในกรณีที่ชิ้นงานมีความเค้นหนาแน่น ผู้ชำนาญการออกแบบได้แนะนำให้ใช้ตัวประกอบความเค้นหนาแน่น K กับ เท่านั้น ทั้งนี้เพราะถือว่าความเค้นเฉลี่ย เปรียบเสมือนแรงที่อยู่หนึ่งไม่ทำให้ชิ้นงานเกิดความล้า ดังนั้นสมการที่ (1) และสมการที่ (2) ในกรณีหลังนี้จึงกลายเป็น

$$\frac{1}{N} = \frac{\sigma_m}{\sigma_u} + \frac{K_f \sigma_a}{\sigma_n} \quad (3)$$

และ

$$\frac{1}{N} = \frac{\sigma_m}{\sigma_u} + \frac{K_f \sigma_a}{\sigma_n} \quad (4)$$

นอกจากสมการที่กล่าวมาแล้ว ยังมีสมการของเกอร์เบอร์ (Gerber) อี แต่เนื่องจากเป็นสมการพาราโบลาทำให้การคำนวณไม่ค่อยสะดวกจึงไม่เป็นที่นิยมใช้กันนัก สมการที่นิยมใช้กันมากที่สุดคือ สมการที่ 3 ส่วนสมการที่ 4 ก็มีใช้กันบ้าง แต่จะใช้กับวัสดุเปราะเป็นส่วนใหญ่

สมการดังกล่าวมาแล้วสามารถใช้ได้ในกรณีที่ชิ้นงานรับแรงเฉือนหรือแรงบิด แต่ต้องแทนค่า σ_u ด้วย σ_y ดังนั้นสมการของไซเดอร์เบอร์เกอร์ที่ 1 ส่วนสมการที่ 4 สำหรับกรณีนี้จะกลายเป็น

$$\frac{1}{N} = \frac{\tau_m}{\tau_y} + \frac{\tau_a}{\tau_n} \quad (5)$$

$$\frac{1}{N} = \frac{\tau_m}{\tau_y} + \frac{K_{fs} \tau_a}{\tau_n} \quad (6)$$

เอกสารนี้เป็นเอกสารที่สงวนไว้สำหรับการใช้งานเพื่อการศึกษาเท่านั้น ไม่อนุญาตให้นำไปใช้ประโยชน์ด้านการค้าไม่ว่ากรณีใดๆ ทั้งสิ้น อีกทั้งห้ามมิให้ดัดแปลงเนื้อหา และต้องอ้างอิงถึงเจ้าของเอกสารทุกครั้งที่มีการนำไปใช้

บทที่ 6

การออกแบบเพลา

เพลา (shaft) เป็นชิ้นส่วนที่หมุนและใช้ในการส่งกำลัง

แกน (axle) เป็นชิ้นส่วนลักษณะเดียวกับเพลาแต่ไม่หมุน ส่วนมากเป็นตัวรองรับชิ้นส่วนที่หมุน เช่น ล้อ ล้อสายพาน เป็นต้นอย่างไรก็ตามทั้งเพลาและแกนนิยมเรียกรวมกันว่าเพลาไม่ว่าชิ้นส่วนนั้นจะหมุนหรืออยู่นิ่งก็ตาม

สปินเดิล (spindle) เป็นเพลาขนาดสั้นที่ไม่หมุน เช่น เพลาที่หัวแท่นกลึง (Head-stock spindle) เป็นต้น

สตับชาฟต์ (stub shaft) หรือบางครั้งเรียกเฮดชาฟต์ (head shaft) เป็นเพลาที่ติดเป็นชิ้นส่วนต่อเนืองกับเครื่องยนต์ มอเตอร์ หรือเครื่องต้นกำลังอื่น ๆ มีขนาด รูปร่าง และส่วนยื่นออกมาสำหรับใช้ต่อกับเพลาอื่น ๆ

เพลาแนว (line shaft) หรือเพลาส่งกำลัง (power transmission shaft) หรือเพลาเมน (main shaft) เป็นเพลาซึ่งต่อตรงจากเครื่องต้นกำลัง และใช้ในการส่งกำลังไปยังเครื่องจักรกลอื่น ๆ โดยเฉพาะ

แจ๊คชาฟต์ (jackshaft) หรือเคาน์เตอร์ชาฟต์ (counter shaft) เป็นเพลาขนาดสั้นที่ต่อระหว่างเครื่องต้นกำลังเพลาเมนหรือเครื่องจักรกล

เพลาอ่อน (flexible shaft) เป็นเพลาที่สามารถอ่อนตัวหรืองอโค้งได้ เพลาประเภทนี้ทำด้วยสายลวดใหญ่ (cable) ลวดสปริงหรือลวดเกลียว (wire rope) ใช้ในการส่งกำลังในลักษณะที่แกนหมุนทำมุมกันได้ แต่ส่งกำลังได้น้อย

เพลาอาจจะรับแรงดึง แรงกด แรงบิด หรือแรงคด หรือแรงหลายอย่างรวมกันก็ได้ ดังนั้นการคำนวณจึงต้องใช้ความเค้นผสมเข้าช่วย แรงเหล่านี้ยังอาจจะมีเปลี่ยนแปลงขนาดตลอดเวลาทำให้เพลาเสียหายเพราะความล้าได้ ฉะนั้นจึงต้องออกแบบเพลาให้มีความแข็งแรงเพียงพอสำหรับการใช้งานในลักษณะนี้ นอกจากนั้นเพลาจะต้องมีความแข็งแรงเกร็ง (rigidity) เพียงพอเพื่อลดมุมบิดภายในเพลาให้อยู่ในขีดจำกัดที่พอเหมาะ ระยะโก่ง (deflection) ของเพลาเป็นสิ่งสำคัญในการกำหนดขนาดเพลาเช่นเดียวกัน เพราะถ้าเพลา มีระยะโก่งมากก็จะเกิดการแกว่งขณะหมุน ทำให้ความเร็ววิกฤต (critical speed) ของเพลาลดลง ซึ่งอาจทำให้เพลาเกิดการสั่นอย่างรุนแรงในขณะที่ความเร็วของเพลาเข้าใกล้ความเร็ววิกฤตนี้ได้ ระยะโก่งนี้ยังมีผลต่อการเลือกชนิดของที่รับเพลา เช่น บอลเบริง (ball bearing) ก็ต้องมีการเอียงแนว (misalignment) ในการใช้งานที่พอเหมาะกับเพลาด้วย

ขนาดของเพลา

เพื่อให้เพลา มีมาตรฐานเหมือนกัน องค์การมาตรฐานระหว่างประเทศจึงได้กำหนดขนาดมาตรฐานของเพลาซึ่งเป็นขนาดระบุ (nominal size) ใน ISO/R 775-1969 เอาไว้สำหรับให้ผู้ออกแบบเลือกใช้ ทั้งนี้เพื่อให้สามารถหาซื้อได้ทั่วไป นอกจากนี้ยังเป็นขนาดที่สอดคล้องกับขนาดของเบริงที่ใช้รองรับเพลาด้วยขนาดระบุของเพลา ดูได้จากตาราง

ตาราง ขนาดระบุของเพลาตามมาตรฐาน ISO/R775-1969

เอกสารนี้เป็นเอกสารที่สงวนไว้สำหรับการใช้งานเพื่อการศึกษาเท่านั้น ไม่อนุญาตให้นำไปใช้ประโยชน์ด้านการค้าไม่ว่ากรณีใดๆ ทั้งสิ้น อีกทั้งห้ามมิให้ดัดแปลงเนื้อหา และต้องอ้างอิงถึงเจ้าของเอกสารทุกครั้งที่มีการนำไปใช้

ขนาดเส้นผ่านศูนย์กลางเป็น mm				
6	25	70	130	240
7	30	75	140	260
8	35	80	150	280
9	40	85	160	300
10	45	90	170	320
12	50	95	180	340
14	55	100	190	360
18	60	110	200	380
20	65	120	220	

การพิจารณาในการออกแบบ

การคำนวณหาขนาดของเพลาคงที่พอเหมาะขึ้นอยู่กับลักษณะการใช้งาน ในบางครั้งการหาขนาดเพลาก็เพื่อให้เพลาทนต่อแรงที่มีกระทำอย่างเฉียวไม่เป็นการเพียงพอ เช่น ในกรณีของเพลาถูกเบี้ยว (cam shaft) ในเครื่องยนต์สันดาปภายในต้องการให้มีตำแหน่งที่ยืดตรง ดังนั้นมุมบิดของเพลาก็เกิดขึ้น ในขณะที่ใช้งานจะต้องมีค่าไม่มากกว่าที่กำหนดไว้ เป็นต้น นั่นคือเพลาก็ต้องมีความแข็งแรงอยู่ภายในพิกัดที่ต้องการ ถ้ามุมบิดมากเกินไปนอกจากจะเสียความเที่ยงตรงทางด้านตำแหน่งแล้วยังอาจจะก่อให้เกิดความสั่นสะเทือนซึ่งมีผลทำให้เฟืองและแบร็ริงที่รองรับเพลายู่เกิดความเสียหายได้ง่ายขึ้น

ถึงแม้ว่าจะไม่มีมาตรฐานสำหรับพิกัดมุมบิดของเพลาก็ตาม ในทางปฏิบัติแล้วมักจะให้มุมบิดของเพลาคงในเครื่องจักรกลทั่วไปไม่เกิน 0.3° ต่อความยาวเพลาคง 1 m [1] สำหรับเพลาส่งกำลังทั่วไปอาจจะให้มุมบิดได้ถึง 1° ต่อความยาวเพลาคง 20 เท่าของขนาดเส้นผ่านศูนย์กลางเพลาคง ในกรณีของเพลาถูกเบี้ยวสำหรับเครื่องยนต์สันดาปภายในแล้วจะให้มุมบิดได้ไม่เกิน 0.5° ตลอดความยาวของเพลาคง

ความแข็งแรงที่สำคัญอีกอย่างหนึ่งก็คือ ความแข็งแรงทางด้านระยะโค้ง เพราะจะต้องใช้ระยะโค้งของเพลาคงที่อยู่ภายใต้แรงภายนอกเป็นตัวสำคัญในการกำหนดระยะเบียด (clearance) ระหว่างล้อสายพาน เฟืองโคจรของเครื่องจักร ตลอดจนการเลือกชนิดของแบร็ริงสำหรับรองรับเพลาคงให้เหมาะสม ถ้าเพลาคงมีระยะโค้งมากเกินไปจะทำให้ความยาวของฟันเฟืองส่วนที่สัมผัสหรือขบกันลดลงเป็นผลทำให้อัตราส่วนการขบ (contact ratio) ของเฟืองลดลงด้วย ทำให้การส่งกำลังของเฟืองไม่ราบเรียบเท่าที่ควร การเลือกแบร็ริงมารองรับเพลาคงก็เช่นกัน จำเป็นจะต้องเลือกแบร็ริงชนิดที่อนุญาตให้มีการเอียงแนวสำหรับการใช้งานได้พอเหมาะกะระยะโค้งของเพลาคงที่เกิดขึ้น ซึ่งอาจจะเป็นแบร็ริงแบบธรรมดาหรือแบร็ริงแบบปรับแนวได้เอง (self-aligning bearing) ทั้งนี้ก็ขึ้นอยู่กับค่าระยะโค้งเป็นสำคัญ

ระยะโค้งดังกล่าวมานี้ก็ไม่มีมาตรฐานกำหนดเป็นแนวทางไว้ โดยทั่ว ๆ ไปแล้วผู้ออกแบบอาจจะถือค่าต่อไปนี้เป็นแนวทางในการกำหนดความแข็งแรงทางด้านระยะโค้งดังนี้คือ

สำหรับเพลาคงเครื่องจักรกลทั่วไป ค่าระยะโค้งระหว่างจุดที่รองรับด้วยแบร็ริงควรจะไม่เกิน 0.08 mm/m

สำหรับเพลาคงที่มีเฟืองตรง (spur gear) คุณภาพคืออยู่ด้วย ระยะโค้ง ณ ตำแหน่งที่มีเฟืองขบกันไม่ควรเกิน 0.125 mm และลาดเอียงของเพลาคง ณ ตำแหน่งนี้ควรจะไม่ต่ำกว่า 0.0286°

ไม่ว่ากรณีใดๆ ทั้งสิ้น อีกทั้งห้ามมิให้ดัดแปลงเนื้อหา และต้องอ้างอิงถึงเจ้าของเอกสารทุกครั้งที่มีการนำไปใช้

สำหรับเพลาที่มีเฟืองคอกจอก (bevel gear) คุณภาพดีคืออยู่ระยะ โกง ๓ ตำแหน่งที่เฟืองขบกัน ไม่ควรเกิน 0.075 mm

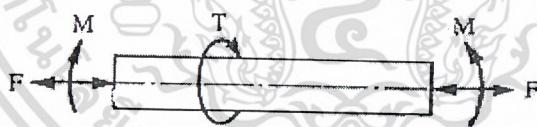
จากเหตุผลดังกล่าวจะเห็นว่าขนาดของเพลาอาจจะหามาได้โดยใช้ความแข็งแรงที่ต้องการแทนที่จะเป็นความแข็งแรงในการรับแรงภายนอกได้ การหาระยะ โกงของเพลาที่มีขนาดเท่ากันตลอดอาจทำได้โดยใช้วิธีที่ได้เรียนรู้มาแล้วในวิชากลศาสตร์วัสดุ เช่น วิธีการอินทิเกรตสองครั้ง (double integration) วิธีพื้นที่ของโมเมนต์ดัด (moment area) เป็นต้น และจะไม่กล่าวถึงในที่นี้

สำหรับเพลาที่มีขนาดไม่เท่ากันตลอด (stepped shaft) การใช้วิธีดังกล่าวมาแล้วอาจจะล่าช้าและเสียเวลา โดยเฉพาะวิธีการอินทิเกรตสองครั้งเพราะต้องใช้สภาพของขอบเขต (boundary condition) ใหม่ทุกครั้งที่เพลาเปลี่ยนขนาด วิธีที่นิยมใช้กัน (แต่ก็ยังไม่ใช่วิธีที่ดี) คือวิธี graphical integration และ numerical integration

6.1 การออกแบบเพลาตามโค้ดของ ASME

ก่อนปี พ.ศ. 2497 ได้มีการยอมรับวิธีการคำนวณหาขนาดของเพลาส่งกำลังซึ่งกำหนดเป็นโค้ด (code) โดยสมาคมวิศวกรเครื่องกลแห่งสหรัฐอเมริกา (ASME) ถึงแม้ว่าเวลาจะล่วงเลยมานานแล้วก็ตาม วิธีการออกแบบเพลาตามโค้ดของ ASME ก็ยังมีความสะดวกและง่ายต่อการใช้งาน

วิธีการดังกล่าวนี้ใช้ทฤษฎีความเค้นเฉือนสูงสุด และไม่พิจารณาถึงความล้าหรือความเค้นหนาแน่นที่เกิดขึ้นบนเพลา ซึ่งเป็นการออกแบบโดยวิธีสถิตยศาสตร์ (static design method) ในการหาสมการสำหรับการออกแบบเพลาให้พิจารณาเพลาในรูปที่ 12 ให้เพลาเป็นแบบกลมและกลวง โดยมีเส้นผ่านศูนย์กลางภายในและภายนอกเท่ากับ d_i และ d_o ตามลำดับ ความเค้นต่าง ๆ ที่เกิดขึ้นบนเพลาจะมีดังต่อไปนี้



รูปที่ 6.1 เพลาอยู่ภายใต้แรงต่าง ๆ

$$\text{ความเค้นดึงหรือกด} \quad \sigma_a = \frac{4F}{\pi(d_o^2 - d_i^2)} \quad (1)$$

$$\text{ความเค้นดัด} \quad \sigma_b = \frac{Mc}{I} = \frac{32Md}{\pi(d_o^4 - d_i^4)} \quad (2)$$

$$\text{ความเค้นเฉือน} \quad \tau_{xy} = \frac{Tr}{J} = \frac{16Td}{\pi(d_o^4 - d_i^4)} \quad (3)$$

ในกรณีที่เป็แรงกด อาจมีผลจากการ โกงงอ (buckling) ได้ ดังนั้นสมการที่ (1) จะกลายเป็น

เอกสารนี้เป็นเอกสารที่สงวนไว้สำหรับการใช้งานเพื่อการศึกษาเท่านั้น ไม่อนุญาตให้นำไปใช้ประโยชน์ด้านการค้า ไม่ว่ากรณีใดๆ ทั้งสิ้น อีกทั้งห้ามมิให้ดัดแปลงเนื้อหา และต้องอ้างอิงถึงเจ้าของเอกสารทุกครั้งที่มีการนำไปใช้

$$\sigma_a = \frac{4\alpha F}{\pi(d^2 - d_i^2)} \quad (4)$$

เพลตส่วนมากจะอยู่ภายใต้ความเค้นที่เป็นวัฏจักร ทั้งนี้เพราะเพลตหมุนอยู่ตลอดเวลา นอกจากนั้นแรงที่กระทำยังอาจจะเปลี่ยนแปลงอยู่ตลอดเวลาอีกด้วย ดังนั้นเพลตจึงเกิดความเสียหายเนื่องมาจากความล้าเป็นใหญ่ สำหรับวิธีการคำนวณของ ASME ใช้วิธีการแบบสถิติศาสตร์ ดังนั้นจึงต้องมีตัวประกอบความล้า (fatigue factor) มาเกี่ยวข้องด้วย

ถ้าให้ C_m = ตัวประกอบความล้าเนื่องจากการตัด

C_t = ตัวประกอบความล้าเนื่องจากการบิด

ดังนั้นสมการที่ (2) และสมการที่ (3) จึงกลายเป็น

$$\sigma_b = \frac{32C_m M d}{\pi(d^4 - d_i^4)} \quad (5)$$

และ

$$\tau_{xy} = \frac{16C_t T D}{\pi(d^4 - d_i^4)} \quad (6)$$

ความเค้นกดหรือความเค้นดึงรวมคือ

$$\sigma = \sigma_a + \sigma_b \quad (7)$$

จากทฤษฎีความเค้นเฉือนสูงสุด

$$\tau = \left(\tau_{xy}^2 + \left(\frac{\sigma}{2} \right)^2 \right)^{1/2}$$

แทนค่าสมการที่ (4), (5), (6) และสมการที่ (7) ลงในสมการข้างบนนี้แล้วจัดรูปใหม่จะได้ว่า

$$d^3 = \frac{16}{\pi\tau(l - K^4)} \left[(C_t T)^2 + \left[\frac{\alpha F d (l + K^2)}{8} + C_m M \right]^2 \right]^{1/2} \quad (8)$$

โดยที่ $K = d_i/d$

ในกรณีที่ไม่มีแรง F กระทำอยู่ด้วย สมการที่ (8) จะลดรูปเหลือเพียง

$$d^3 = \frac{16}{\pi\tau(l - K^4)} \left[(C_t T)^2 + (C_m M)^2 \right]^{1/2} \quad (9)$$

หรือในกรณีของเพลตตัน $K = d_i/d = 0$ เมื่อแทนค่าลงในสมการที่ (9) ก็จะได้สมการที่มีรูปคล้ายกับในหนังสือกลศาสตร์วัสดุทั่วไปคือ

$$d^3 = \frac{16}{\pi\tau} \left[(C_t T)^2 + (C_m M)^2 \right]^{1/2} \quad (10)$$

ค่าตัวประกอบความล้าสามารถเลือกใช้ตามลักษณะของแรงที่มากระทำซึ่งหาได้จากตาราง

เอกสารนี้เป็นเอกสารที่สงวนไว้สำหรับการใช้งานเพื่อการศึกษาเท่านั้น ไม่อนุญาตให้นำไปใช้ประโยชน์ด้านการค้า ไม่ว่าจะกรณีใดๆ ทั้งสิ้น อีกทั้งห้ามมิให้ดัดแปลงเนื้อหา และต้องอ้างอิงถึงเจ้าของเอกสารทุกครั้งที่มีการนำไปใช้

ตาราง ค่าตัวประกอบความล้า

ชนิดของแรง	C_m	C_t
เพลายู่ง :		
แรงสม่ำเสมอหรือเพิ่มขึ้นช้า ๆ	1.0	1.0
แรงกระตุก	1.5-2.0	1.5-2.0
เพลามุ่่น :		
แรงสม่ำเสมอหรือเพิ่มขึ้นช้า ๆ	1.5	1.0
แรงกระตุกอย่างเบา	1.5-2.0	1.0-1.5
แรงกระตุกอย่างแรง	2.0-3.0	1.5-3.0

สำหรับตัวประกอบของการโค้งงอ ASME ได้แนะนำให้ใช้ค่าดังนี้

$$\alpha = 1 \text{ เมื่อ } F \text{ เป็นแรงคิ่ง} \quad (11)$$

$$\alpha = \frac{l}{1 - 0.0044(L/K)} \text{ เมื่อ } \frac{L}{K} \leq 115 \quad (12)$$

$$\alpha = \frac{\sigma_y(L/K)^2}{\pi^2 n E} \text{ เมื่อ } \frac{L}{K} \leq 115 \quad (13)$$

โดยที่ $n = 1.00$ เมื่อปลายเป็นแบบ SS

$n = 2.25$ เมื่อปลายเป็นแบบ CC

$n = 1.60$ เมื่อปลายเพลาดูกขึ้นเป็นบางส่วน (partially restrained)

$L =$ ความยาวจริงของเพล่า

จะเห็นได้ว่าสมการที่ (12) เป็นสมการของสูตรเส้นตรง (straight line formula) และสมการที่ (13)

เป็นสมการของออยเลอร์ ซึ่งได้แก้ไขค่าคงที่ใหม่

นอกจากนี้โค้ดของ ASME ยังได้ระบุเอาไว้ว่าเพล่าซึ่งมีใ้้อยู่ในงานธรรมดาทั่วไป ควรจะมีค่าความ

เค้นเฉือนใ้งานดังนี้

$$\tau_d = 55 \text{ N/mm}^2 \text{ สำหรับเพล่าที่ไม่มีร่องลิม}$$

$$\tau_d = 41 \text{ N/mm}^2 \text{ สำหรับเพล่าที่มีร่องลิม}$$

แต่ถ้ากำหนดควัสดุของเพล่าที่บอกถึงหมายเลขของโลหะหรือส่วนผสมของโลหะใ้ใช้ค่า

ความเค้นเฉือนใ้งานจากสมการที่ (14) โดยเลือกใ้ค่าน้อยมาคำนวณคือ

$$\tau_d = 0.3 \sigma_y \text{ หรือ } \tau_d = 0.18 \sigma_u \quad (14)$$

และถ้าเพล่ามีร่องลิมใ้ลดค่าความเค้นเฉือนใ้งานโดยใ้เพียง 75% ของค่าในสมการที่ (14)

เอกสารนี้เป็นเอกสารที่สงวนไว้สำหรับการใ้งานเพื่อการศึกษาเท่านั้น ไม่อนุญาตใ้นำไปใ้ประโยชน์ด้านการค้า
ไม่ว่ากรณีใ้ๆ ทั้งสิ้น อีกทั้งห้ามมิใ้ดัดแปลงเนื้อหา และต้องอ้างอิงถึงเจ้าของเอกสารทุกครั้งที่มีการนำไปใ้

6.2 การออกแบบเพลลาภายใต้แรงเปลี่ยนแปลง

การออกแบบเพลลาโดยคิดถึงแรงที่เปลี่ยนแปลงขนาดเป็นวัฏจักร ก็สามารถกระทำได้ตามวิธีการออกแบบสำหรับความล้าที่ได้กล่าวมาแล้วในบทก่อนคือ

$$\frac{1}{N} = \left[\left(\frac{\tau_{eq}}{\tau_n} \right)^2 + \left(\frac{\sigma_{eq}}{\sigma_n} \right)^2 \right]^{1/2}$$

แทนค่า σ_{eq} และ τ_{eq} จากค่าจำกัดความเค้นลงในสมการข้างบนนี้จะได้ว่า

$$\frac{1}{N} = \left[\left(\frac{\sigma_m + K_f \frac{\sigma_a}{\sigma_n}}{\sigma_y} \right)^2 + \left(\frac{\tau_m + K_{fs} \frac{\tau_a}{\tau_n}}{\tau_y} \right)^2 \right]^{1/2} \quad (18)$$

ในกรณีที่ใช้ทฤษฎีความเค้นเฉือนสูงสุด $\tau = \tau_y/N = \sigma_y/2N$ ฉะนั้นคูณด้วย τ_y ในสมการที่ (18) จะได้สมการสำหรับออกแบบอีกรูปหนึ่งคือ

$$\tau = \left[\frac{1}{4} \left(\sigma_m + K_f \frac{\sigma_y \sigma_a}{\sigma_n} \right)^2 + \left(\tau_m + K_{fs} \frac{\tau_y \tau_a}{\tau_n} \right)^2 \right]^{1/2} \quad (19)$$

ถ้าไม่มีแรงดึงหรือกด กระทำต่อเพลลาคลง จากสมการที่ (2) และสมการที่ (3) จะได้

$$\sigma_m = \frac{32M_m}{\pi d^3(1-K^4)}, \quad \sigma_a = \frac{32M_a}{\pi d^3(1-K^4)} \quad (20)$$

$$\tau_m = \frac{16\tau_m}{\pi d^3(1-K^4)}, \quad \tau_a = \frac{16\tau_a}{\pi d^3(1-K^4)} \quad (21)$$

แทนค่าสมการที่ (20) และสมการที่ (21) ลงในสมการที่ (19) แล้วจัดรูปใหม่จะได้

$$\tau = \frac{16}{\pi d^3(1-k^4)} \left[\left(M_m + K_{fs} \frac{\sigma_y}{\sigma_n} M_a \right)^2 + \left(T_m + K_{fs} \frac{\tau_y}{\tau_n} T_a \right)^2 \right]^{1/2} \quad (22)$$

สมการที่ (22) นี้ก็เป็นสมการสำหรับใช้ออกแบบเพลลาภายใต้แรงเปลี่ยนแปลงในอีกรูปแบบหนึ่ง โดยอาศัยทฤษฎีความเค้นเฉือนสูงสุด

ถ้าหากว่ามีความต้องการใช้ทฤษฎีความเค้นเฉือนออกตะฮิครัลซึ่งเอกสารนี้เป็นเอกสารที่สงวนไว้สำหรับการใช้งานเพื่อการศึกษาเท่านั้น ไม่อนุญาตให้นำไปใช้ประโยชน์ด้านการค้าไม่ว่ากรณีใดๆ ทั้งสิ้น อีกทั้งห้ามมิให้ดัดแปลงเนื้อหา และต้องอ้างอิงถึงเจ้าของเอกสารทุกครั้งที่มีการนำไปใช้

$$\tau = \frac{\tau_y}{N} = \frac{0.577\sigma_y}{N} = \frac{\sigma_y}{N\sqrt{3}}$$

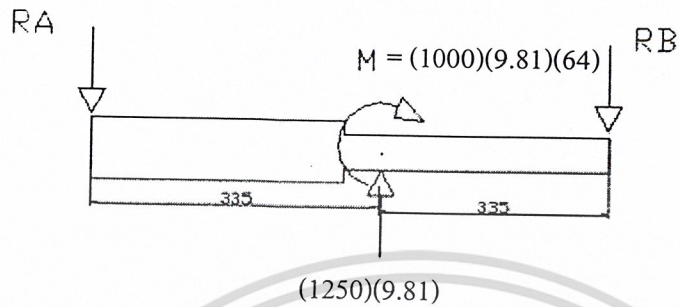
ก็สามารถที่จะหารูปสมการทำนองเดียวกันกับสมการที่ (22) ได้โดยเริ่มแทนค่าลงในสมการที่ (18) แล้วรวมพจน์ในทำนองเดียวกัน ซึ่งจะได้ว่า

$$\tau = \frac{16}{\pi d^3(1-K^4)} \left[\frac{4}{3} \left(M_m + K_{fs} \frac{\sigma_y}{\sigma_n} M_a \right)^2 + \left(T_m + K_{fs} \frac{\tau_y}{\tau_n} T_a \right)^2 \right]^{1/2} \quad (23)$$

ซึ่งเป็นสมการที่สามารถใช้ในการออกแบบได้ อย่างไรก็ตามการที่จะถือทฤษฎีความเค้นเฉือนสูงสุด หรือ ทฤษฎีความเค้นเฉือนออกเคตซ์ริลเป็นหลักในการออกแบบ ก็อาจใช้สมการที่ (18) เพียงสมการเดียวได้ โดยที่จะต้องเลือกใช้ค่า τ_y และ τ_n ให้ถูกต้องกับทฤษฎี ซึ่งเรากำหนดให้เป็นคังรูป สำหรับตัวอย่างเช่น รถจักรยานสองล้อ เมื่อศึกษาถึงภาระ (Loading) บนจักรยาน แรงที่กระทำต่อพื้นผิวของล้อเป็นพื้นที่ความยาวแคบๆ (Load and Narrow Area) ที่กระจายเป็นเส้นตรงก็ได้ (A linear distributed Load, $W(S)$) ในที่นี้ Loading ถูกวัดออกมาเป็นความเข้มของแรงต่อความยาว (intensity of Force / Length) ตลอดพื้นที่ และถูกแทนด้วยกราฟต่อกันด้วยสัญลักษณ์ยาวตลอดเส้น S ดังรูป

เอกสารนี้เป็นเอกสารที่สงวนไว้สำหรับการใช้งานเพื่อการศึกษาเท่านั้น ไม่อนุญาตให้นำไปใช้ประโยชน์ด้านการค้าไม่ว่ากรณีใดๆ ทั้งสิ้น อีกทั้งห้ามมิให้ดัดแปลงเนื้อหา และต้องอ้างอิงถึงเจ้าของเอกสารทุกครั้งที่มีการนำไปใช้

บทที่ 7
การคำนวณผลทางทฤษฎี



$$\sum MA = 0$$

$$RB(670) + (1000)(9.81)(64) - (1250)(9.81)(335) = 0$$

$$RB = \frac{(1250)(9.81)(335) - (1000)(9.81)(64)}{670}$$

$$RB = 5194.175 \text{ N}$$

$$\sum Fy = 0$$

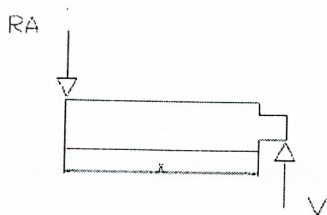
$$-RA - RB + (1250)(9.81) = 0$$

$$RA = (1250)(9.81) - RB$$

$$RA = (1250)(9.81) - 5194.175$$

$$RA = 7068.32 \text{ N}$$

พิจารณาระยะ $0 \leq x \leq 335$



$$V = -RA$$

$$M = -RA(x)$$

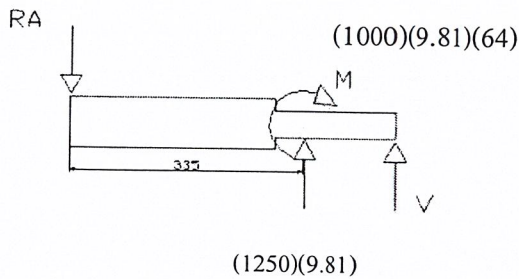
$$\text{ที่ } x = 0, \quad M = 0$$

$$\text{ที่ } x = 335, \quad M = -(7068.32)(335)$$

$$M = -2.3(10^6) \text{ N-mm}$$

เอกสารนี้เป็นเอกสารที่สงวนไว้สำหรับการใช้งานเพื่อการศึกษาเท่านั้น ไม่อนุญาตให้นำไปใช้ประโยชน์ด้านการค้า
ไม่ว่ากรณีใดๆ ทั้งสิ้น อีกทั้งห้ามมิให้ดัดแปลงเนื้อหา และต้องอ้างอิงถึงเจ้าของเอกสารทุกครั้งที่มีการนำไปใช้

พิจารณาระยะ $335 \leq x \leq 670$



$$V = -RA + (1250)(9.81)$$

$$M = -RA(x) + (1250)(9.81)(x-335) + (1250)(9.81)(64)$$

$$\text{ที่ } x = 335, M = -1.74(10^6) \text{ N-mm}$$

$$\text{ที่ } x = 670, M = 0 \text{ N-mm}$$

โมเมนต์สูงสุดมีค่าเท่ากับ $M_{\max} = -2.36(10^6) \text{ N-mm}$

จากกำลังที่เพลา

$$P = \omega T$$

$$(10)(745) = \frac{2\pi(600)T}{60}$$

$$T = \frac{(10)(745)(60)}{2\pi(600)}$$

$$T = 118.57 \text{ N-m}$$

เนื่องจากความเค้นดัด

$$\sigma_{\max} = -\sigma_{\min}$$

$$\sigma_m = \frac{\sigma_{\max} + \sigma_{\min}}{2} = 0$$

$$\sigma_a = \frac{\sigma_{\max} - \sigma_{\min}}{2} = \sigma_{\max}$$

จะได้

$$\sigma_a = \sigma_m = \frac{32M}{\pi d^3}$$

$$\sigma_a = \sigma_m = \frac{(32)(2.36)(10^6)}{\pi d^3} = \frac{2.4(10^7)}{d^3} \text{ N/mm}^2$$

เนื่องจากโมเมนต์บิดมีค่าคงที่ ทำให้ความเค้นเฉือนที่เกิดขึ้นมีค่าเท่ากันตลอดผิวของเพลา ดังนั้น

$\tau_a = 0$ จะได้

$$\tau_m = \frac{(16)T}{\pi d^3}$$

$$\tau_m = \frac{(16)(118.57)(1000)}{\pi d^3}$$

$$\tau_m = 6.03(10^5) \text{ N/mm}^2$$

ตัวประกอบความหนาแน่นความเค้น

เอกสารนี้เป็นเอกสารที่สงวนไว้สำหรับการใช้งานเพื่อการศึกษาเท่านั้น ไม่อนุญาตให้นำไปใช้ประโยชน์ด้านการค้า

ไม่ว่ากรณีใดๆ ทั้งสิ้น อีกทั้งห้ามมิให้ดัดแปลงเนื้อหา และต้องอ้างอิงถึงเจ้าของเอกสารทุกครั้งที่มีการนำไปใช้

$$K_f = 1 + q(K_1 - 1)$$

จากตาราง จะได้ $K_1 = 1.5$, $q = 0.8$

$$K_f = 1 + 0.8(1.5 - 1)$$

$$K_f = 1.4$$

จากคุณสมบัติเพลลา $\sigma_u = 100 \text{ ksi} = (100)(6.895) = 689.5 \text{ N/mm}^2$

$$\sigma_y = 81 \text{ ksi} = (81)(6.895) = 558.5 \text{ N/mm}^2$$

$$\sigma' = 0.8(\sigma_u) = 0.8(689.5) = 551.6 \text{ N/mm}^2$$

ตัวประกอบผิว $k_a = 0.85$

ตัวประกอบขนาด $k_b = 0.85$

ตัวประกอบแรง $k_c = 1$

$$\sigma_n = k_a k_b k_c \sigma_n' = (0.85)(0.85)(1)(551.6)$$

$$\sigma_n = 398.531 \text{ N/mm}^2$$

จากทฤษฎีความเค้นเฉือนออกตะสตีล

$$\tau_y = 0.577 \sigma_y$$

$$= 0.577(558.5)$$

$$\tau_y = 322.25 \text{ N/mm}^2$$

จากเกณฑ์ของไซเคอร์เบอร์

$$\frac{1}{N} = \left[\left[K_f \frac{\sigma_a}{\sigma_m} \right]^2 + \left[\frac{\tau_m}{\tau_y} \right]^2 \right]^{1/2}$$

$$\frac{1}{1.3} = \left[\left(\frac{(1.4)(2.4)(10^7)}{3.98.531(d^3)} \right)^2 + \left(\frac{(6.03)(10^5)}{322.25(d^3)} \right)^2 \right]^{1/2}$$

$$d = 47.74 \text{ mm}$$

$$d = 1.87'' \text{ (เลือกใช้นาขนาด 2'')}$$

เอกสารนี้เป็นเอกสารที่สงวนไว้สำหรับการใช้งานเพื่อการศึกษาเท่านั้น ไม่อนุญาตให้นำไปใช้ประโยชน์ด้านการค้า
ไม่ว่ากรณีใดๆ ทั้งสิ้น อีกทั้งห้ามมิให้ดัดแปลงเนื้อหา และต้องอ้างอิงถึงเจ้าของเอกสารทุกครั้งที่มีการนำไปใช้

บทที่ 8

แบบและวิธีการสร้าง

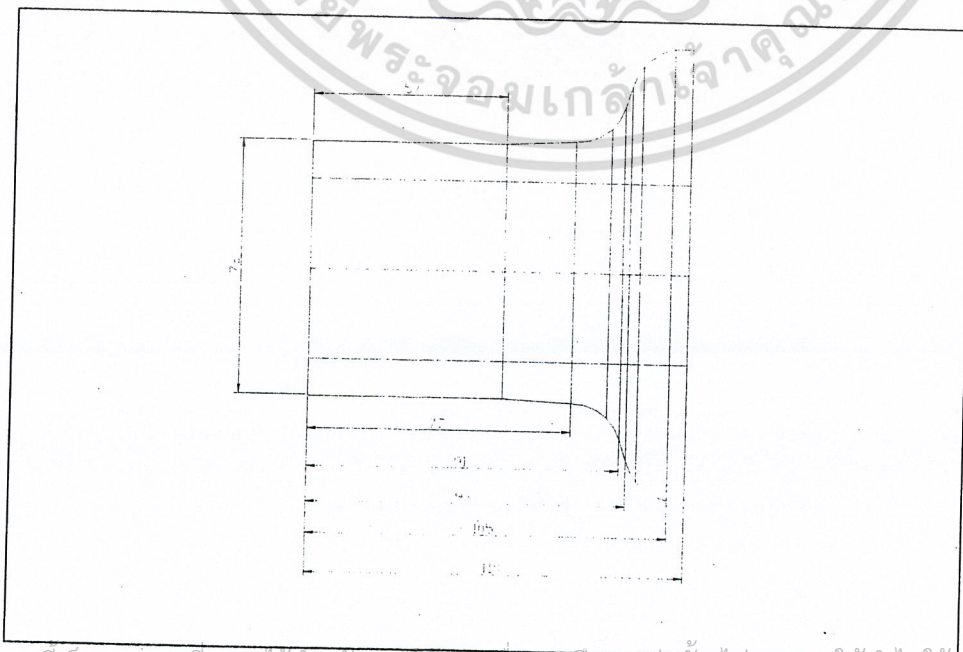
8.1 ชุดฐานยึดราง



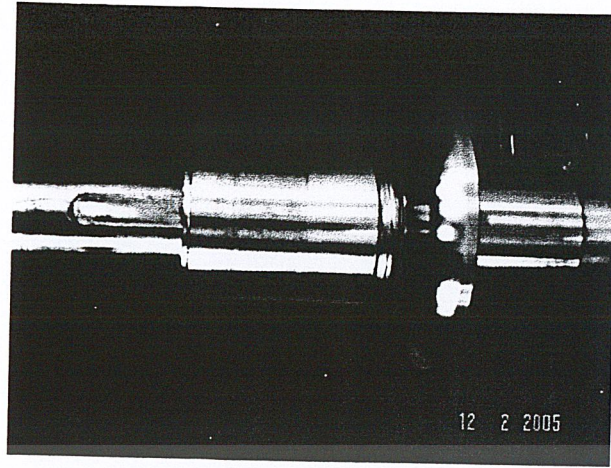
รูปที่ 8.1 ชุดฐานยึดราง

เนื่องจากการทดลองจะมีการให้โหลดในทิศทาง สองทิศทาง คือในทิศทางแนวรัศมี และในทิศทางตามแนวแกน ชุดฐานยึดรางจึงต้องสามารถเคลื่อนที่ได้ทั้งสองทิศทาง ในการออกแบบจะใช้เหล็กมาทำการตัดและ machine ได้ตามรูปแบบ โดยที่จะมีไกด์เป็นตัวควบคุมทิศทางในการเคลื่อนที่ทั้งสองทิศทาง

8.2 ล้อ



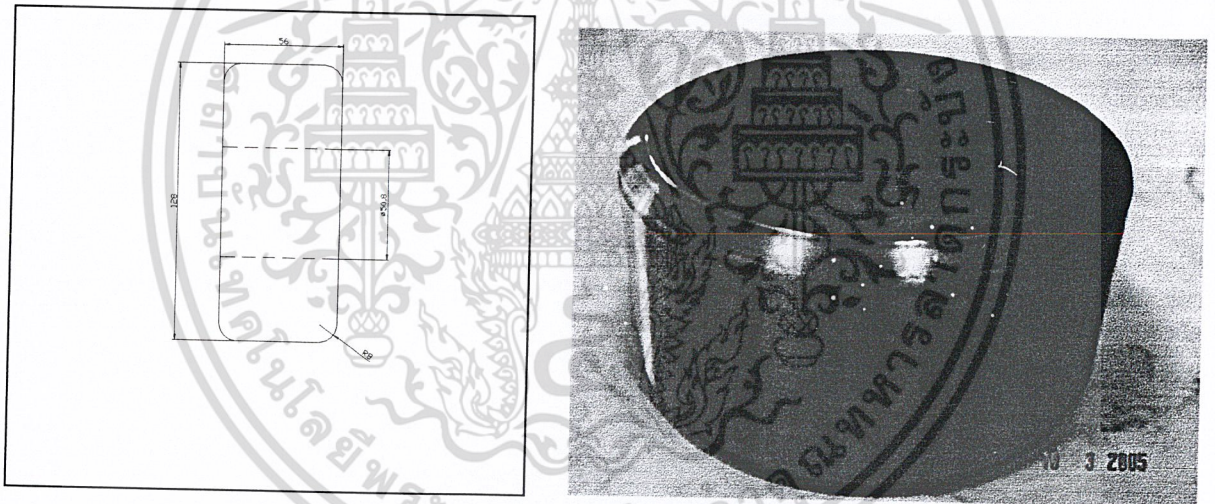
เอกสารนี้เป็นเอกสารที่สงวนไว้สำหรับการใช้งานเพื่อการศึกษาเท่านั้น ไม่อนุญาตให้拿去ใช้ประโยชน์ด้านการค้า
ไม่ว่ากรณีใดๆ ทั้งสิ้น อีกทั้งห้ามมิให้ดัดแปลงเนื้อหา และต้องอ้างอิงถึงเจ้าของเอกสารทุกครั้งที่มีการนำไปใช้



รูปที่ 8.2 รูปลื้อ

เนื่องการสึกหรอที่มีผลต่ออายุการใช้งานของลื้อที่เคลื่อนที่ในลักษณะแบบนี้ จะสนใจการสึกหรอบริเวณที่เรียกว่า โคนบังใบ ดังนั้นการออกแบบรูปร่างของลื้อจึงต้องมีการออกแบบให้มีส่วนที่เป็นมุมลาดเอียงบริเวณผิวสัมผัส และส่วนที่เป็นบังใบด้วยเพื่อจะได้ใกล้เคียงกับการเคลื่อนที่จริง

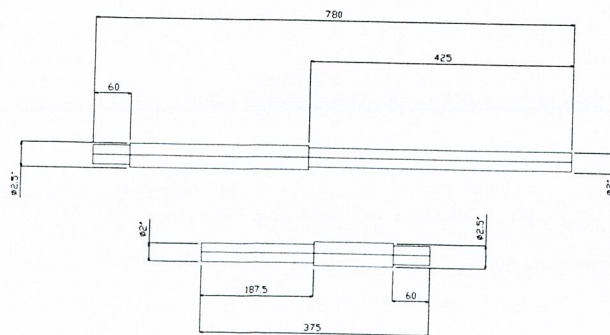
8.3 ราง



รูปที่ 8.3 รูปราง

การออกแบบรางเนื่องรางจะต้องมีมุมในการสัมผัส แต่มุมที่มีจะไม่มุมเกินมุมที่สัมผัสกับลื้อ

8.4 เพลลาของลื้อและราง

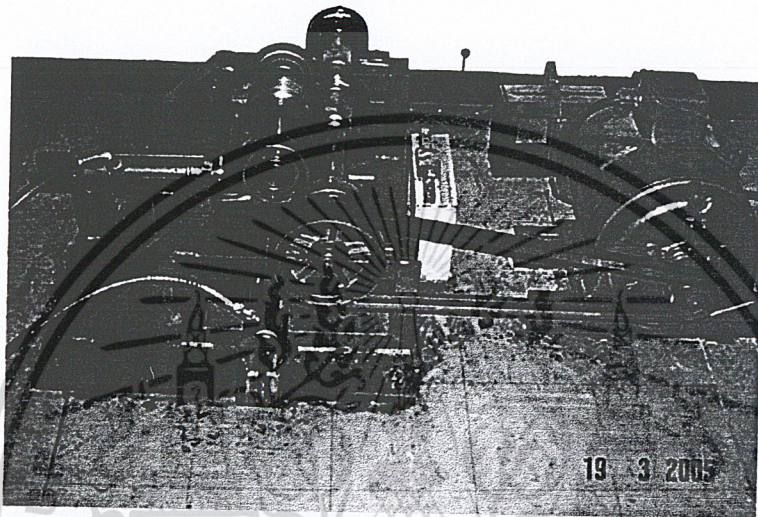


รูป 8.4 รูปเพลลาของลื้อและราง

เอกสารนี้เป็นเอกสารที่สงวนไว้สำหรับการใช้งานเพื่อการศึกษาเท่านั้น ไม่อนุญาตให้นำไปใช้ประโยชน์ด้านการค้า ไม่ว่าจะกรณีใดๆ ทั้งสิ้น อีกทั้งห้ามมิให้ดัดแปลงเนื้อหา และต้องอ้างอิงถึงเจ้าของเอกสารทุกครั้งที่มีการนำไปใช้

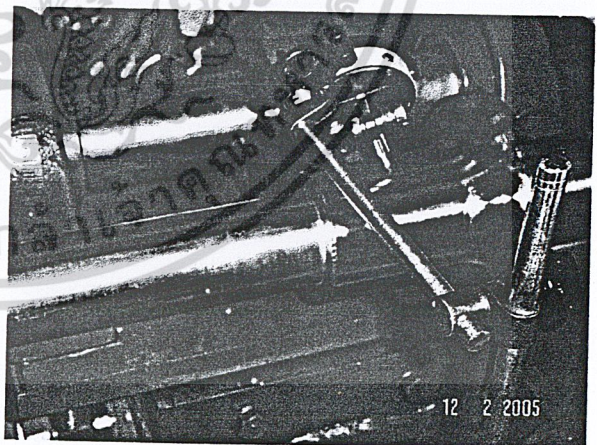
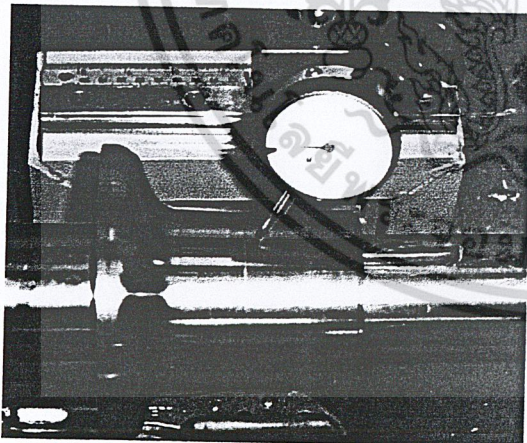
ในการออกแบบเพลลาของล้อและราง พิจารณาในการรับโหลดของเพลลา จะเห็นได้ว่าโหลดจะทำให้เพลลา
รับความเค้นคัต จากแรงกด และรับความเค้นเฉือนจากการบิดที่เกิดขึ้น ดังนั้นในการหาขนาดของเพลลาต้อง
ออกแบบให้สามารถรับความเค้นที่เกิดขึ้นให้ได้

8.5 เครื่องทดสอบ



รูปที่ 8.5 เครื่องทดสอบ

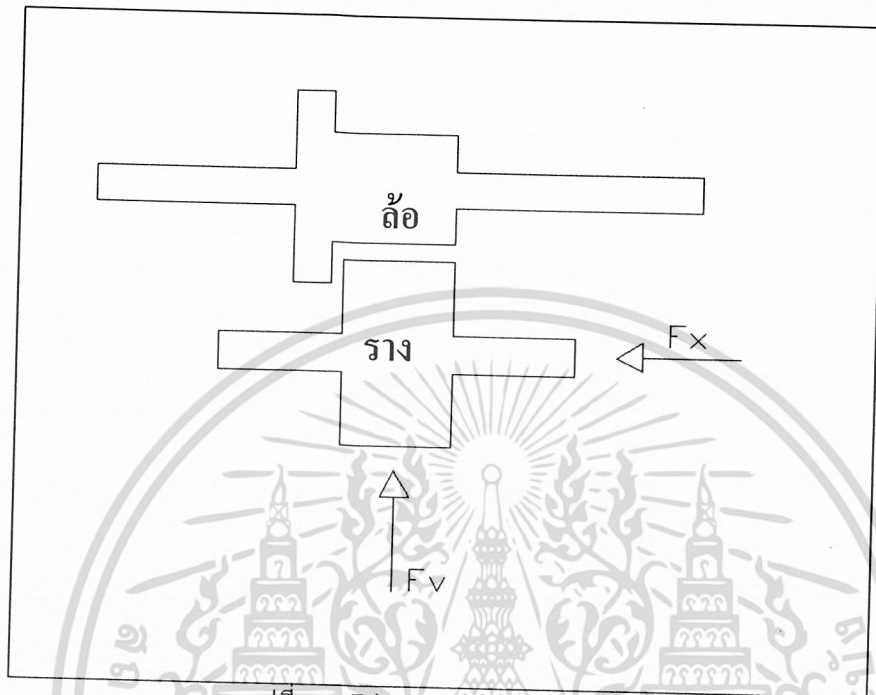
8.6 เครื่องมือวัดการสึกหรอ



รูปที่ 8.6 เครื่องมือวัด

เอกสารนี้เป็นเอกสารที่สงวนไว้สำหรับการใช้งานเพื่อการศึกษาเท่านั้น ไม่อนุญาตให้นำไปใช้ประโยชน์ด้านการค้า
ไม่ว่ากรณีใดๆ ทั้งสิ้น อีกทั้งห้ามมิให้ดัดแปลงเนื้อหา และต้องอ้างอิงถึงเจ้าของเอกสารทุกครั้งที่มีการนำไปใช้

บทที่ 9
วิธีการทดลอง



รูปที่ 9.1. Diagram ของการทดสอบ

วิธีการทดลอง

1. ทดลองโดยใช้ความเร็วรอบ 600 rpm มีโหลตมากกระทำในแนวรัศมี 1250 kgf ในแนวแกน 500 kgf มุมเอียง 0 องศา
2. ทดลองโดยใช้ความเร็วรอบ 600 rpm มีโหลตมากกระทำในแนวรัศมี 1250 kgf ในแนวแกน 1000 kgf มุมเอียง 0 องศา
3. ทดลองโดยใช้ความเร็วรอบ 800 rpm มีโหลตมากกระทำในแนวรัศมี 1250 kgf ในแนวแกน 500 kgf มุมเอียง 0 องศา
4. ทดลองโดยใช้ความเร็วรอบ 800 rpm มีโหลตมากกระทำในแนวรัศมี 1250 kgf ในแนวแกน 1000 kgf มุมเอียง 0 องศา
5. ทดลองโดยใช้ความเร็วรอบ 600 rpm มีโหลตมากกระทำในแนวรัศมี 1250 kgf ในแนวแกน 500 kgf มุมเอียง 5 องศา
6. ทดลองโดยใช้ความเร็วรอบ 600 rpm มีโหลตมากกระทำในแนวรัศมี 1250 kgf ในแนวแกน 1000 kgf มุมเอียง 5 องศา
7. ทดลองโดยใช้ความเร็วรอบ 800 rpm มีโหลตมากกระทำในแนวรัศมี 1250 kgf ในแนวแกน 500 kgf มุมเอียง 5 องศา
8. ทดลองโดยใช้ความเร็วรอบ 800 rpm มีโหลตมากกระทำในแนวรัศมี 1250 kgf ในแนวแกน 1000 kgf มุมเอียง 5 องศา

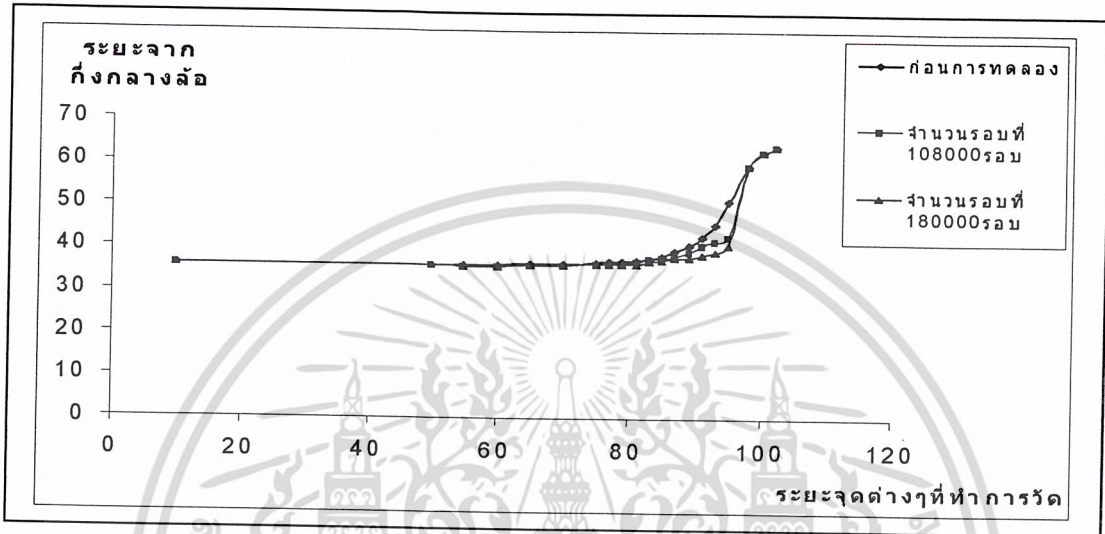
เอกสารนี้เป็นเอกสารที่สงวนไว้สำหรับการใช้งานเพื่อการศึกษาเท่านั้น ไม่อนุญาตให้นำไปใช้ประโยชน์ด้านการค้า ไม่ว่าจะกรณีใดๆ ทั้งสิ้น อีกทั้งห้ามมิให้ดัดแปลงเนื้อหา และต้องอ้างอิงถึงเจ้าของเอกสารทุกครั้งที่มีการนำไปใช้

บทที่10

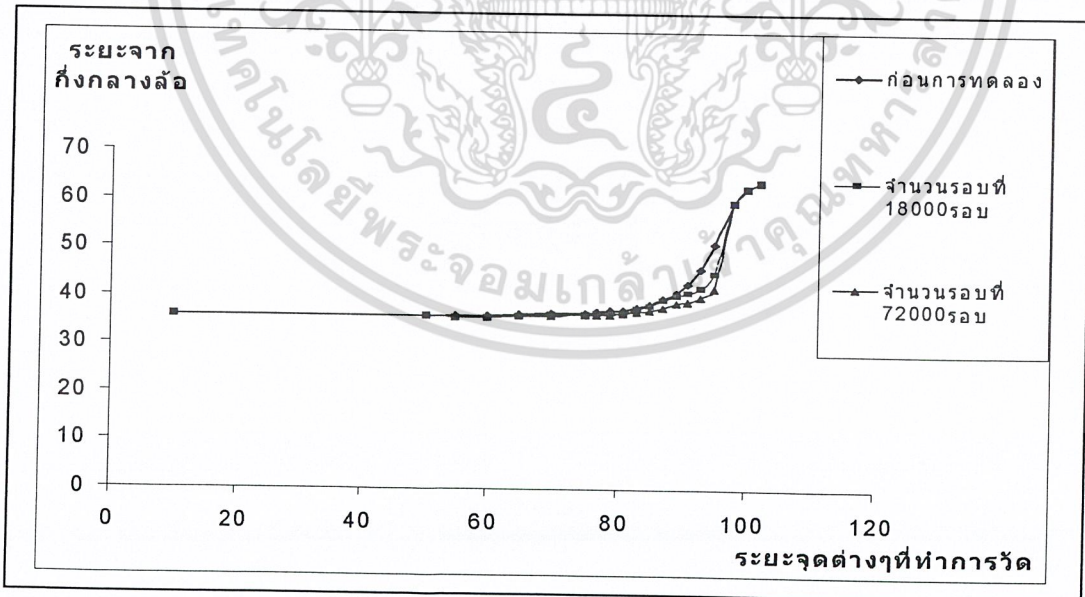
ผลการทดลองและสรุปผลการทดลอง

10.1 ผลการทดลอง

กราฟแสดงผลการสึกหรอของล้อ

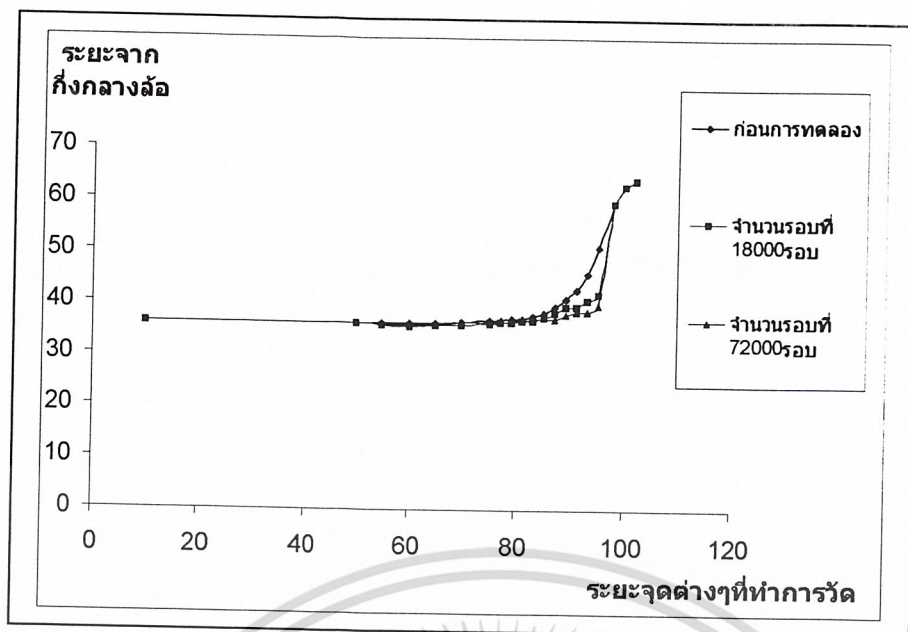


รูปที่10.1 กราฟแสดงลักษณะของการสึกหรอที่ความเร็วรอบ600rpm โหลดกระทำด้านข้าง500kgf มุมเอียง0องศา จากกราฟที่1. จะเห็นว่าจะมีระยะสึกหรอบริเวณโคนบังใบมากที่สุด (ตำแหน่งที่แกน x = 93) เพราะบังใบเป็นส่วนที่รับแรงในการเคลื่อนที่ ระยะการสึกเท่ากับ 10.16 mm ที่ 180000 cycle

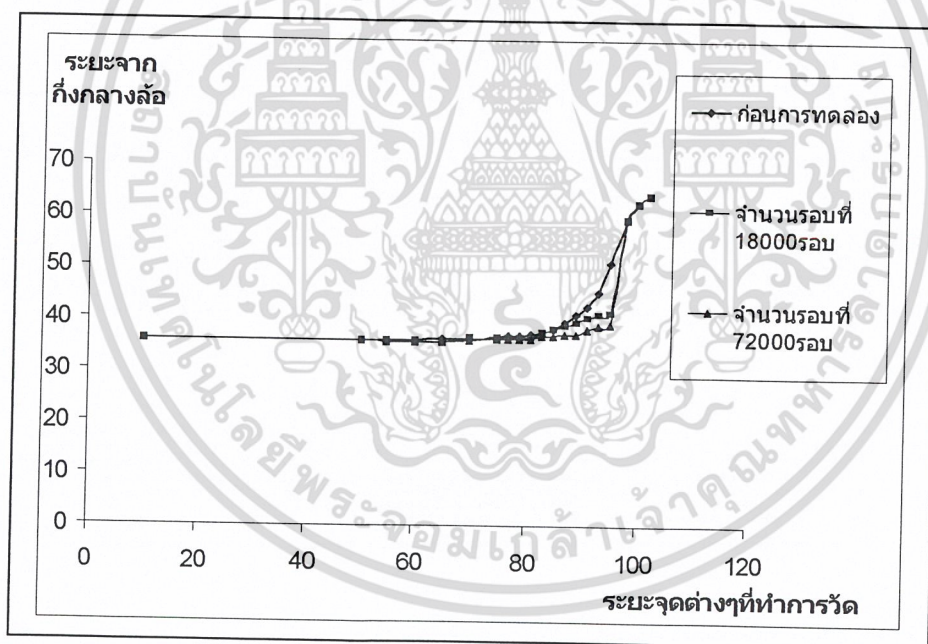


รูปที่10.2 กราฟแสดงลักษณะของการสึกหรอที่ความเร็วรอบ600rpm โหลดกระทำด้านข้าง1000kgf มุมเอียง0องศา จากกราฟที่2. จะเห็นว่าจะมีระยะสึกหรอบริเวณโคนบังใบมากที่สุด (ตำแหน่งที่แกน x = 93) เพราะบังใบเป็นส่วนที่รับแรงในการเคลื่อนที่ ระยะการสึกเท่ากับ 9.16 mm ที่ 72000 cycle

เอกสารนี้เป็นเอกสารที่สงวนไว้สำหรับการใช้งานเพื่อการศึกษาเท่านั้น ไม่อนุญาตให้นำไปใช้ประโยชน์ด้านการค้า ไม่ว่าจะกรณีใดๆ ทั้งสิ้น อีกทั้งห้ามมิให้ดัดแปลงเนื้อหา และต้องอ้างอิงถึงเจ้าของเอกสารทุกครั้งที่มีการนำไปใช้

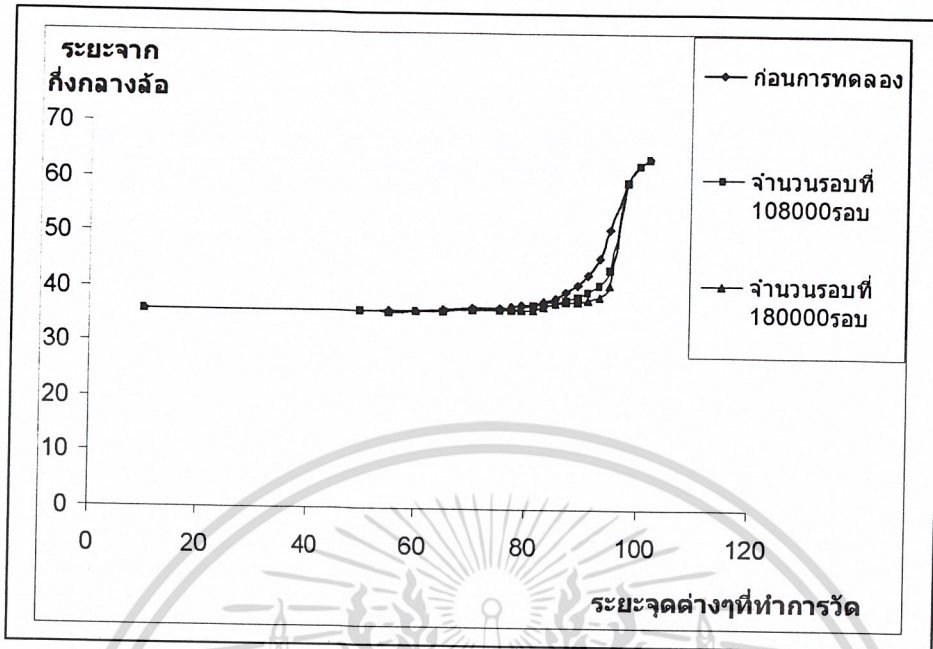


รูปที่ 10.3 กราฟแสดงลักษณะของการสึกหรอที่ความเร็วรอบ 800rpm โหลดกระทำด้านข้าง 500kgf มุมเอียง 0 องศา จากกราฟที่ 3 จะเห็นว่า จะมีระยะสึกหรอบริเวณโคนบั้งใบมากที่สุด (ตำแหน่งที่แกน $x = 93$) เพราะบั้งใบเป็นส่วนที่รับแรงในการเคลื่อนที่ ระยะการสึกเท่ากับ 10.23 mm ที่ 72000 cycle

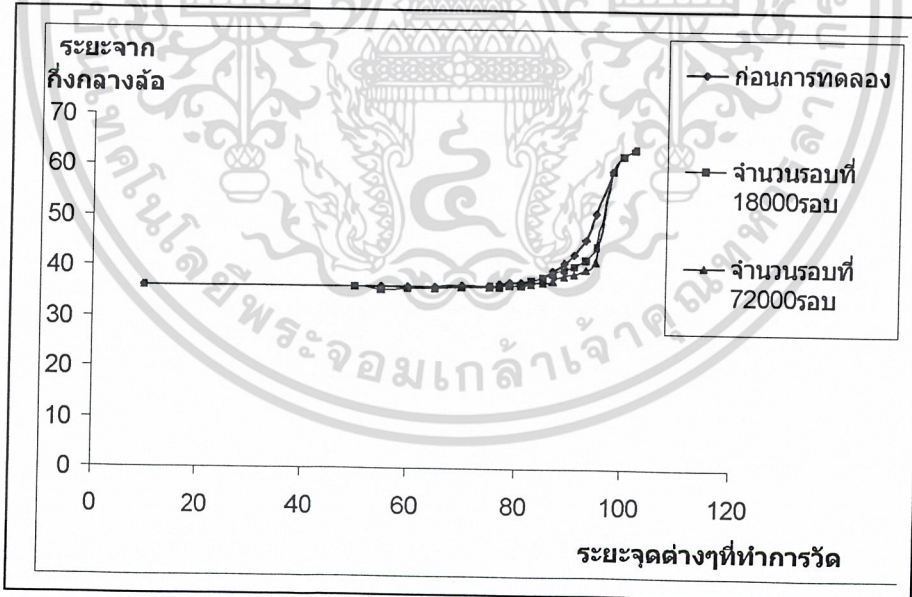


รูปที่ 10.4 กราฟแสดงลักษณะของการสึกหรอที่ความเร็วรอบ 800rpm โหลดกระทำด้านข้าง 1000kgf มุมเอียง 0 องศา จากกราฟที่ 4 จะเห็นว่า จะมีระยะสึกหรอบริเวณโคนบั้งใบมากที่สุด (ตำแหน่งที่แกน $x = 93$) เพราะบั้งใบเป็นส่วนที่รับแรงในการเคลื่อนที่ ระยะการสึกเท่ากับ 11.985 mm ที่ 72000 cycle

เอกสารนี้เป็นเอกสารที่สงวนไว้สำหรับการใช้งานเพื่อการศึกษาเท่านั้น ไม่อนุญาตให้นำไปใช้ประโยชน์ด้านการค้า ไม่ว่าจะกรณีใดๆ ทั้งสิ้น อีกทั้งห้ามมิให้ดัดแปลงเนื้อหา และต้องอ้างอิงถึงเจ้าของเอกสารทุกครั้งที่มีการนำไปใช้

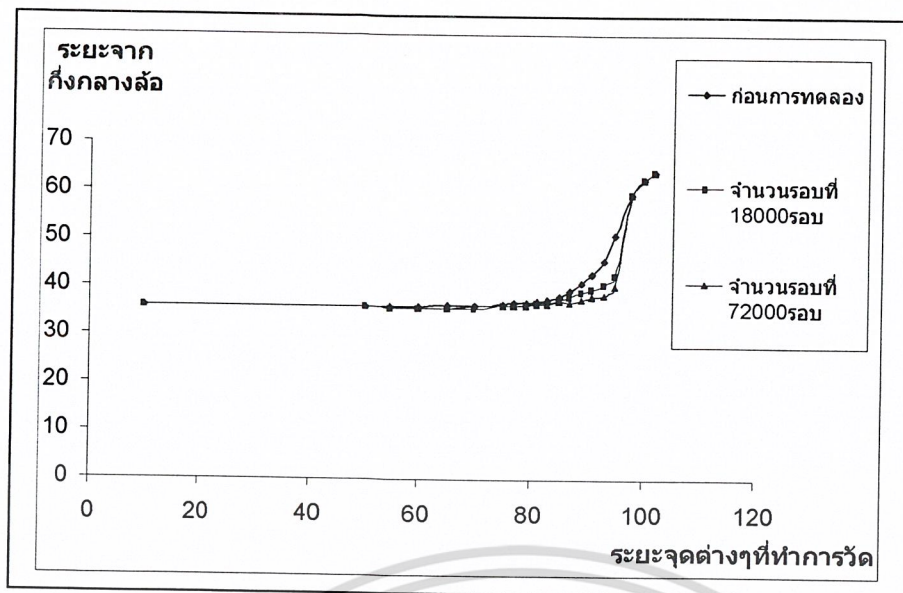


รูปที่ 10.5 กราฟแสดงลักษณะของการสึกหรอที่ความเร็วรอบ 600 rpm โหลดกระทำด้านข้าง 500 kg ฝูมแข็ง 5 องศา จากกราฟที่ 5 จะเห็นว่า จะมีระยะสึกหรอบริเวณ โคนบั้ง ใบบมากที่สุด (ตำแหน่งที่แกน $x = 93$) เพราะบั้ง ใบบเป็นส่วนที่รับแรงในการเคลื่อนที่ ระยะการสึกเท่ากับ 9.57 mm ที่ 72000 cycle

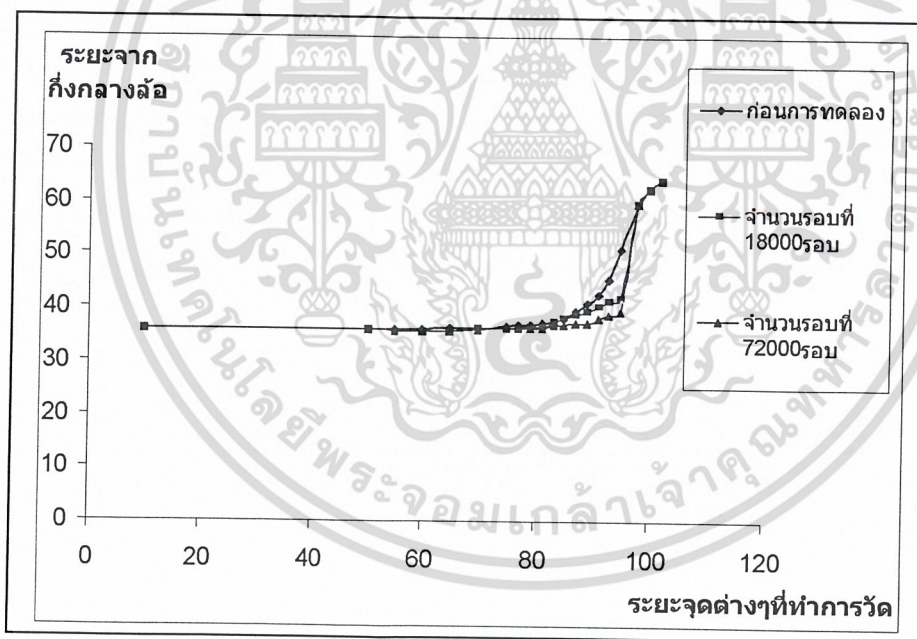


รูปที่ 10.6 กราฟแสดงลักษณะของการสึกหรอที่ความเร็วรอบ 600 rpm โหลดกระทำด้านข้าง 1000 kg ฝูมแข็ง 5 องศา จากกราฟที่ 6 จะเห็นว่า จะมีระยะสึกหรอบริเวณ โคนบั้ง ใบบมากที่สุด (ตำแหน่งที่แกน $x = 93$) เพราะบั้ง ใบบเป็นส่วนที่รับแรงในการเคลื่อนที่ ระยะการสึกเท่ากับ 10.03 mm ที่ 180000 cycle

เอกสารนี้เป็นเอกสารที่สงวนไว้สำหรับการใช้งานเพื่อการศึกษาเท่านั้น ไม่อนุญาตให้นำไปใช้ประโยชน์ด้านการค้า ไม่ว่าจะกรณีใดๆ ทั้งสิ้น อีกทั้งห้ามมิให้ดัดแปลงเนื้อหา และต้องอ้างอิงถึงเจ้าของเอกสารทุกครั้งที่มีการนำไปใช้



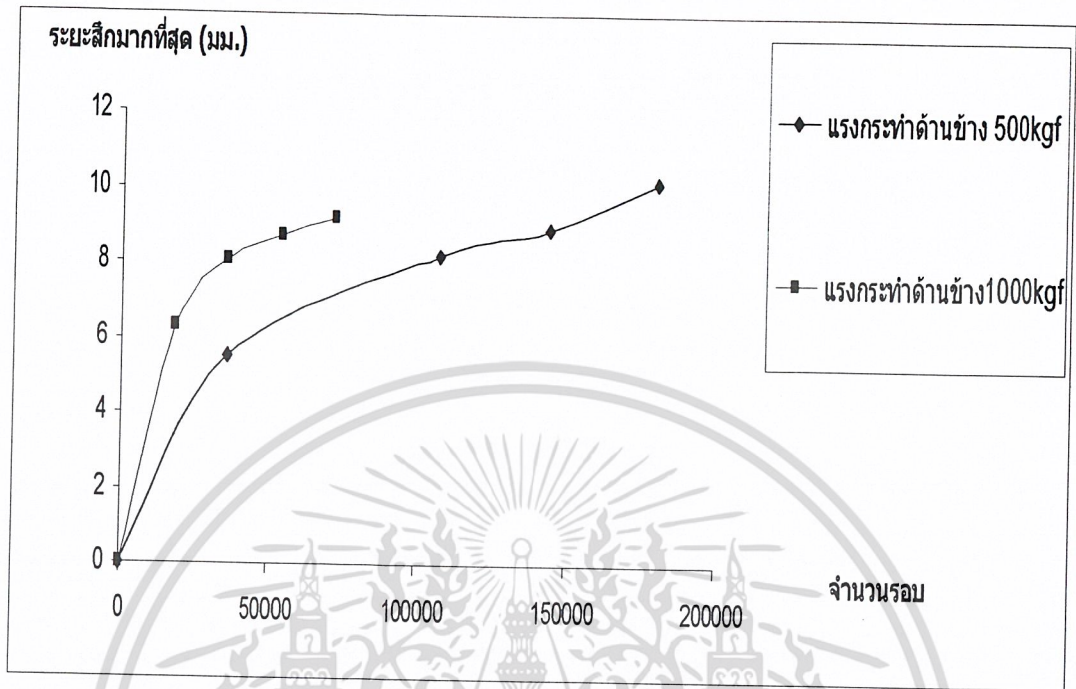
รูปที่ 10.7 กราฟแสดงลักษณะของการสึกหรอที่ความเร็วรอบ 800 rpm โหลดกระทำด้านข้าง 500 kg ฝูมเอียง 5 องศา จากกราฟที่ 7 จะเห็นว่า จะมีระยะสึกหรอบริเวณ โคนบังใบมากที่สุด (ตำแหน่งที่แกน $x = 93$) เพราะบังใบเป็นส่วนที่รับแรงในการเคลื่อนที่ ระยะการสึกเท่ากับ 10.77 mm ที่ 72000 cycle



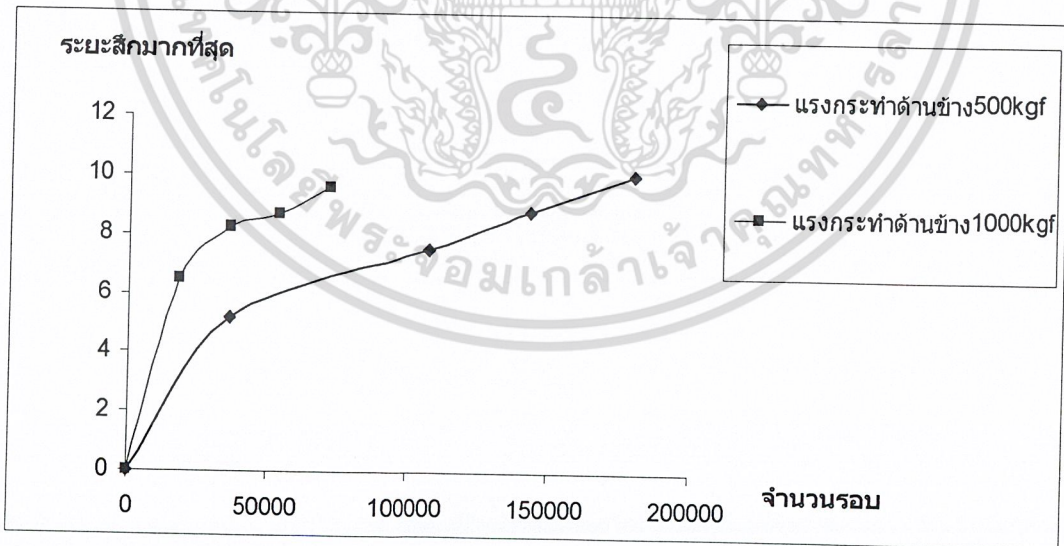
รูปที่ 10.8 กราฟแสดงลักษณะของการสึกหรอที่ความเร็วรอบ 800 rpm โหลดกระทำด้านข้าง 1000 kg ฝูมเอียง 5 องศา จากกราฟที่ 8 จะเห็นว่า จะมีระยะสึกหรอบริเวณ โคนบังใบมากที่สุด (ตำแหน่งที่แกน $x = 93$) เพราะบังใบเป็นส่วนที่รับแรงในการเคลื่อนที่ ระยะการสึกเท่ากับ 11.48 mm ที่ 72000 cycle

เอกสารนี้เป็นเอกสารที่สงวนไว้สำหรับการใช้งานเพื่อการศึกษาเท่านั้น ไม่อนุญาตให้นำไปใช้ประโยชน์ด้านการค้า ไม่ว่าจะกรณีใดๆ ทั้งสิ้น อีกทั้งห้ามมิให้ดัดแปลงเนื้อหา และต้องอ้างอิงถึงเจ้าของเอกสารทุกครั้งที่มีการนำไปใช้

กราฟแสดงระหว่างระยะสึกหรอและจำนวนรอบ โดยเปลี่ยนแรงกระทำด้านข้าง

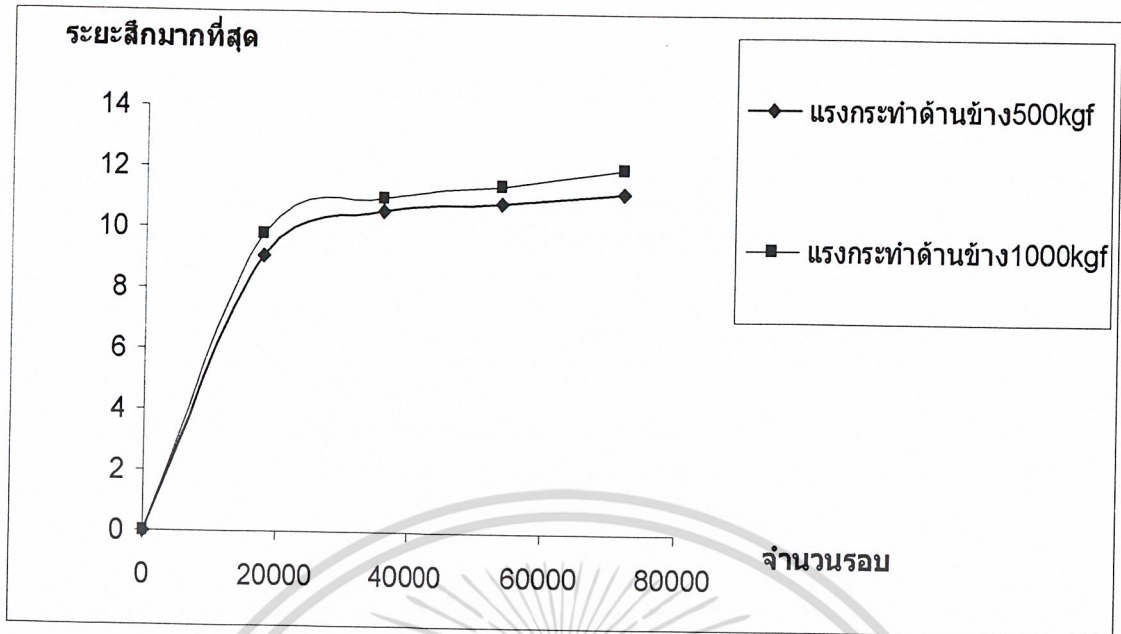


รูปที่10.9 กราฟแสดงระยะการสึกหรอมากที่สุดในแต่ละจำนวนรอบความเร็วรอบที่ 600 rpm มุมเอียง 0 องศา

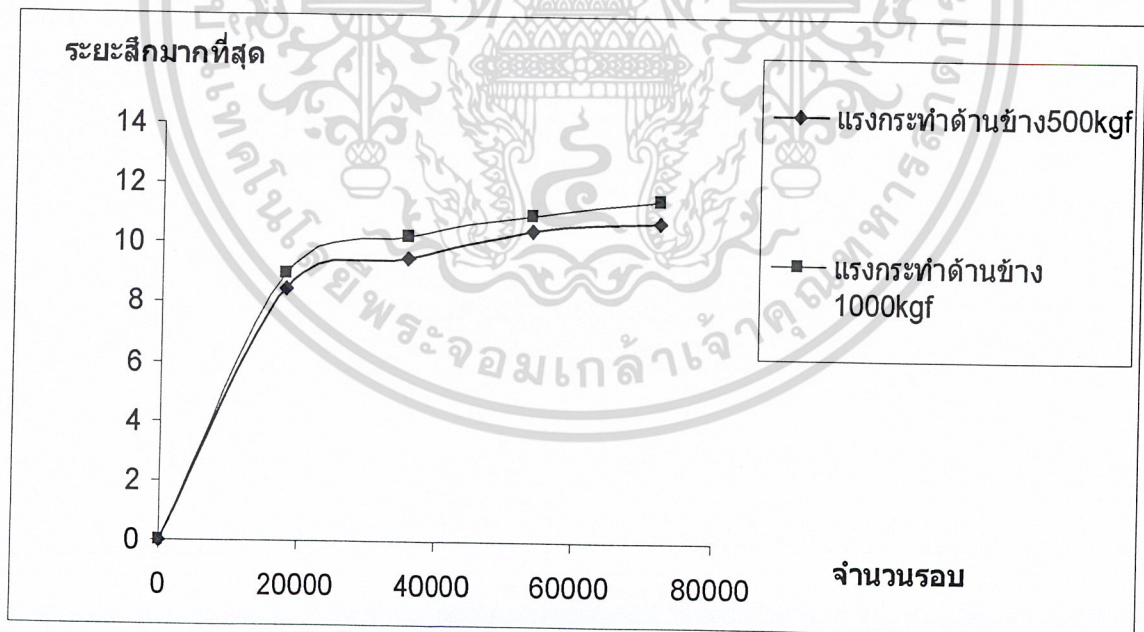


รูปที่10.10 กราฟแสดงระยะการสึกหรอมากที่สุดในแต่ละจำนวนรอบความเร็วรอบที่ 600 rpm มุมเอียง 5 องศา

เอกสารนี้เป็นเอกสารที่สงวนไว้สำหรับการใช้งานเพื่อการศึกษาเท่านั้น ไม่อนุญาตให้นำไปใช้ประโยชน์ด้านการค้า ไม่ว่าจะกรณีใดๆ ทั้งสิ้น อีกทั้งห้ามมิให้ตัดแปลงเนื้อหา และต้องอ้างอิงถึงเจ้าของเอกสารทุกครั้งที่มีการนำไปใช้



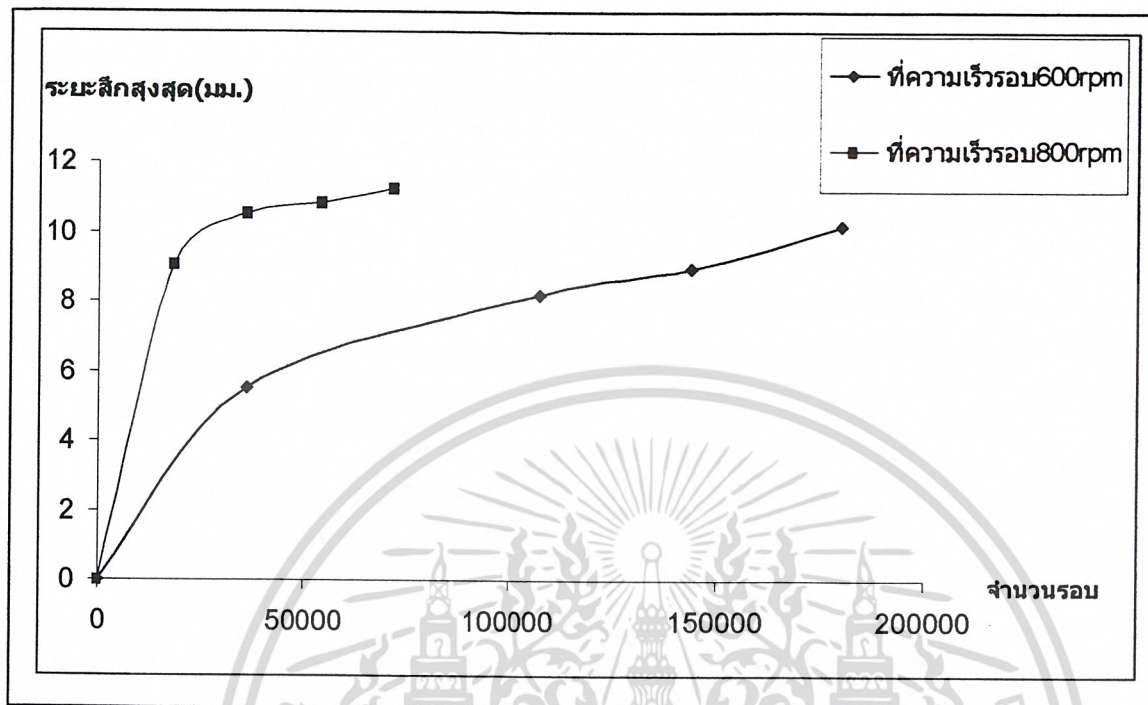
รูปที่10.11กราฟแสดงระยะการสีกรมมากที่สุดในแต่ละจำนวนรอบความเร็วรอบที่ 80 rpm มุมเอียง 0 องศา



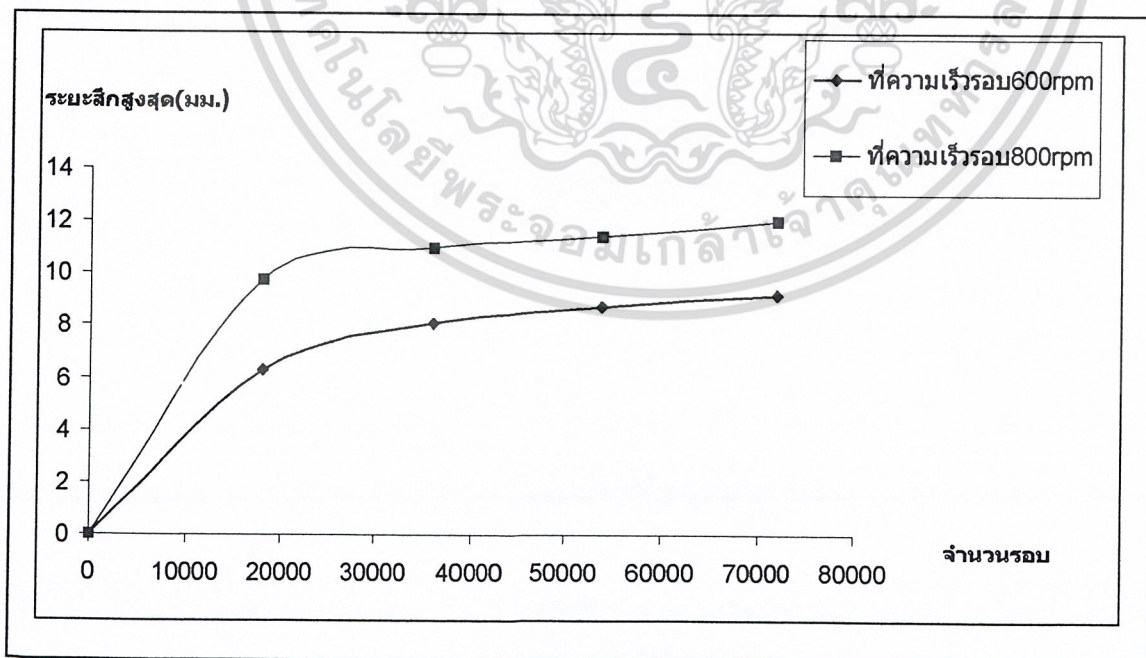
รูปที่10.12กราฟแสดงระยะการสีกรมมากที่สุดในแต่ละจำนวนรอบความเร็วรอบที่ 800rpm มุมเอียง 5 องศา

เอกสารนี้เป็นเอกสารที่สงวนไว้สำหรับการใช้งานเพื่อการศึกษาเท่านั้น ไม่อนุญาตให้นำไปใช้ประโยชน์ด้านการค้า ไม่ว่ากรณีใดๆ ทั้งสิ้น อีกทั้งห้ามมิให้ดัดแปลงเนื้อหา และต้องอ้างอิงถึงเจ้าของเอกสารทุกครั้งที่มีการนำไปใช้

กราฟแสดงระหว่างระยะสึกหรอกับจำนวนรอบ โดยเปลี่ยนความเร็วรอบ

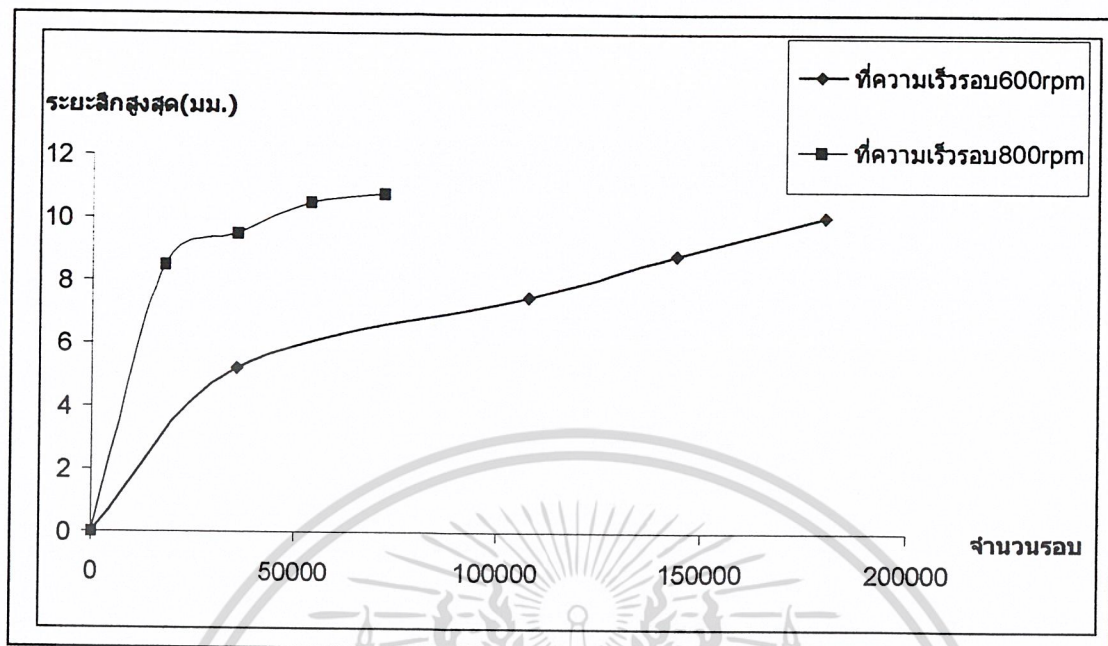


รูปที่10.13 กราฟแสดงระยะสึกหรอสูงสุด ที่แรงกระทำด้านข้าง500 kgf มุมเอียง 0 องศาที่จุดแกน x เท่ากับ 93 มม.

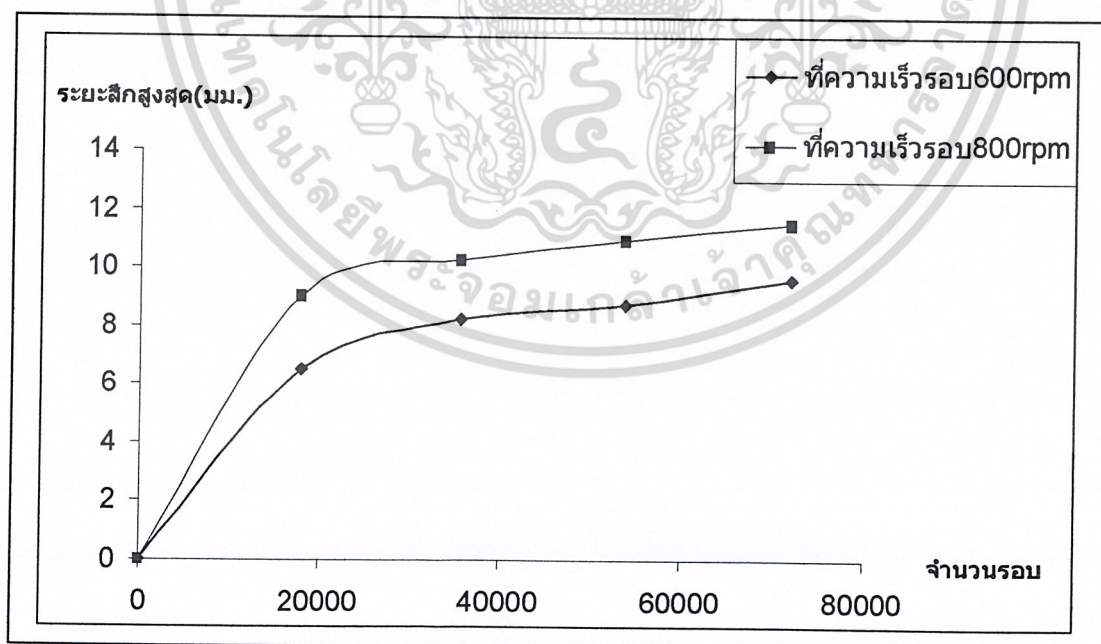


รูปที่10.14 กราฟแสดงระยะสึกหรอสูงสุดที่แรงกระทำด้านข้าง1000kgf มุมเอียง 0 องศาที่จุดแกนx เท่ากับ93มม.

เอกสารนี้เป็นเอกสารที่สงวนไว้สำหรับการใช้งานเพื่อการศึกษาเท่านั้น ไม่อนุญาตให้นำไปใช้ประโยชน์ด้านการค้า ไม่ว่าจะกรณีใดๆ ทั้งสิ้น อีกทั้งห้ามมิให้ดัดแปลงเนื้อหา และต้องอ้างอิงถึงเจ้าของเอกสารทุกครั้งที่มีการนำไปใช้



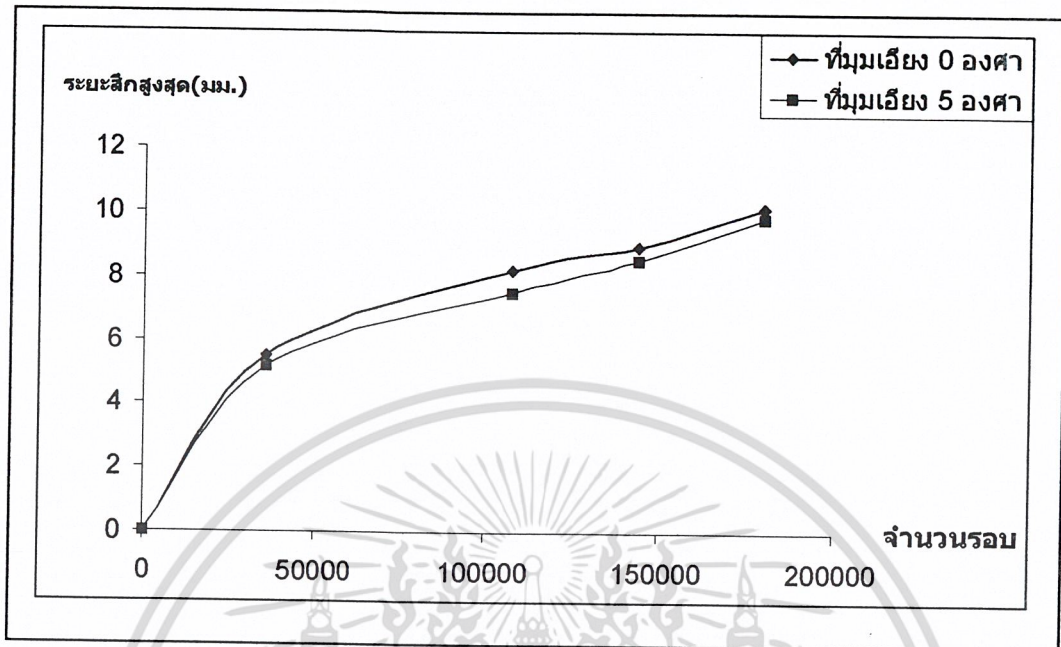
รูปที่ 10.15 กราฟแสดงระยะสีกหรือสูงสุดที่แรงกระทำด้านข้าง 500kgf มุมเอียง 5 องศาที่จุดแกน x เท่ากับ 93 มม.



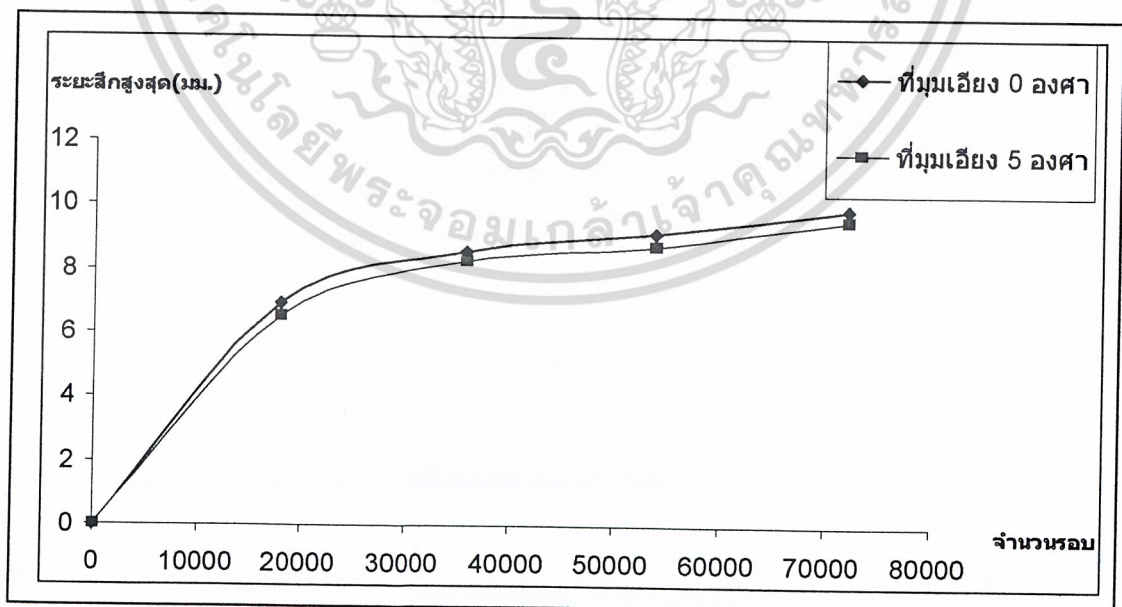
รูปที่ 10.16 กราฟแสดงระยะสีกหรือสูงสุดที่แรงกระทำด้านข้าง 1000kgf มุมเอียง 5 องศาที่จุดแกน x เท่ากับ 9 มม.

เอกสารนี้เป็นเอกสารที่สงวนไว้สำหรับการใช้งานเพื่อการศึกษาเท่านั้น ไม่อนุญาตให้นำไปใช้ประโยชน์ด้านการค้า ไม่ว่าจะกรณีใดๆ ทั้งสิ้น อีกทั้งห้ามมิให้ดัดแปลงเนื้อหา และต้องอ้างอิงถึงเจ้าของเอกสารทุกครั้งที่มีการนำไปใช้

กราฟแสดงระหว่างระยะสึกหรอกับจำนวนรอบ โดยเปลี่ยนมุมเอียงระหว่าง 0 กับ 5 องศา

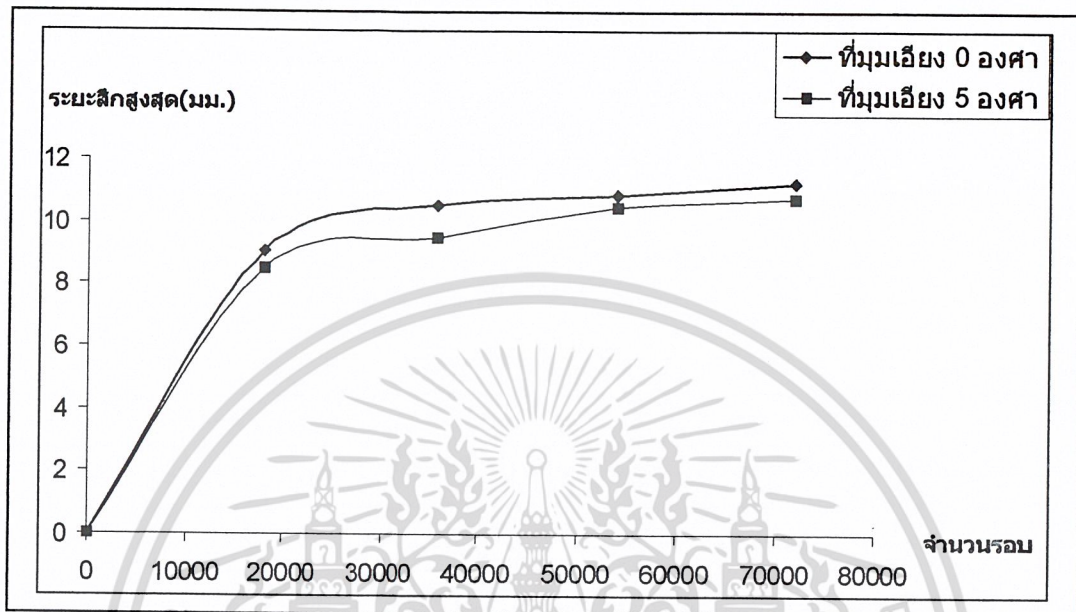


รูปที่ 10.17 กราฟแสดงระยะการสึกหรอที่ความเร็วรอบ 600 rpm โหลดด้านข้าง 500 kg ที่จุดแกน x เท่ากับ 93 มม.

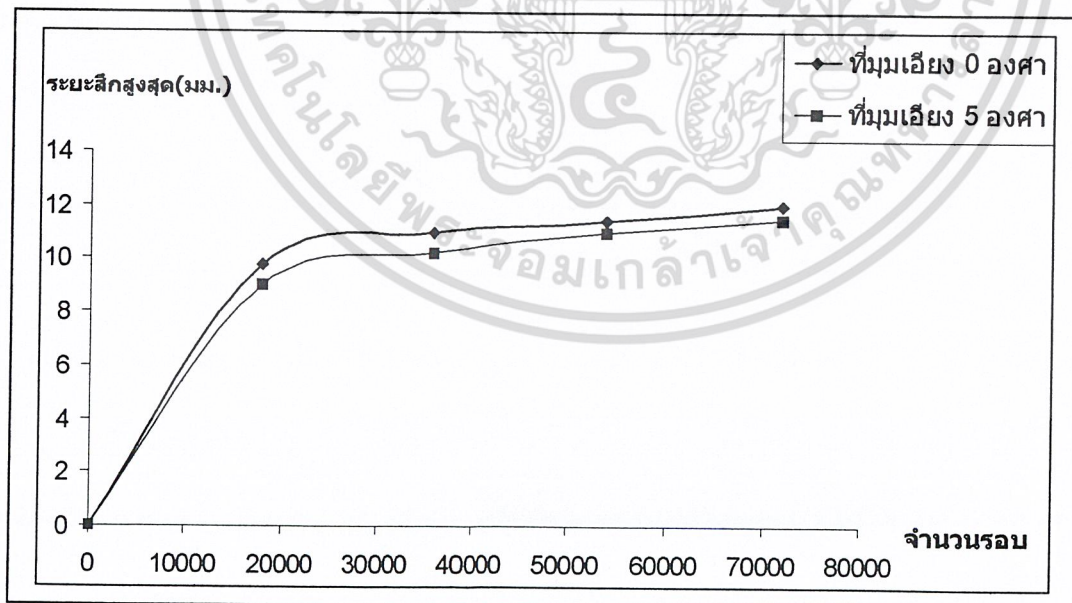


รูปที่ 10.18 กราฟแสดงระยะการสึกหรอที่ความเร็วรอบ 600 rpm โหลดด้านข้าง 1000 kg ที่จุดแกน x เท่ากับ 93 มม.

เอกสารนี้เป็นเอกสารที่สงวนไว้สำหรับการใช้งานเพื่อการศึกษาเท่านั้น ไม่อนุญาตให้นำไปใช้ประโยชน์ด้านการค้า ไม่ว่าจะกรณีใดๆ ทั้งสิ้น อีกทั้งห้ามมิให้ดัดแปลงเนื้อหา และต้องอ้างอิงถึงเจ้าของเอกสารทุกครั้งที่มีการนำไปใช้



รูปที่ 10.19 กราฟแสดงระยะการสีกหรือที่ความเร็วรอบ 800 rpm โหลดด้านข้าง 500 kgf ที่จุดแกน x เท่ากับ 93 มม.



รูปที่ 10.20 กราฟแสดงระยะการสีกหรือที่ความเร็วรอบ 800 rpm โหลดด้านข้าง 1000 kgf ที่จุดแกน x เท่ากับ 93 มม.

เอกสารนี้เป็นเอกสารที่สงวนไว้สำหรับการใช้งานเพื่อการศึกษาเท่านั้น ไม่อนุญาตให้นำไปใช้ประโยชน์ด้านการค้า ไม่ว่าจะกรณีใดๆ ทั้งสิ้น อีกทั้งห้ามมิให้ดัดแปลงเนื้อหา และต้องอ้างอิงถึงเจ้าของเอกสารทุกครั้งที่มีการนำไปใช้

10.2 สรุปผลการทดลอง

จากผลการทดลองผ่านมาจะแบ่งการสึกหรอออกเป็นสองช่วงคือ

- (1) ช่วงแรกคือ(0 ถึง 36000)รอบจะมีการสึกหรอมากเพราะกราฟมีความชันมากเกิดจากพื้นที่หน้าตัดที่สัมผัสกันระหว่างล้อและรางมีขนาดเล็กทำให้เมื่อมีแรงมากกระทำทำให้เสียรูปได้ง่าย
- (2) ช่วงที่สองคือช่วงหลังจาก36000รอบไปแล้วจะมีการสึกหรอใกล้เคียงกันและลดลงที่ชะงักน้อยเกิดจากพื้นที่สัมผัสระหว่างล้อและรางเพิ่มมากขึ้นและวัสดุ เกิดการอัดตัวสูงขึ้นเนื่องจากมีแรงมากกระทำทำให้เกิดการยึดเกาะกันระหว่างเนื้อ รวมทั้งระหว่างการทดลองล้อทดสอบมีอุณหภูมิสูงก่อนการวัดการสึกหรอต้องปล่อยให้ล้อเย็นตัวลงก่อนจึงทำให้ล้อทดสอบเกิดความเค้นตกค้างทำให้ล้อทดสอบมีความแข็งเพิ่มขึ้นอีกด้วย



เอกสารนี้เป็นเอกสารที่สงวนไว้สำหรับการใช้งานเพื่อการศึกษาเท่านั้น ไม่อนุญาตให้นำไปใช้ประโยชน์ด้านการค้า ไม่ว่าจะกรณีใดๆ ทั้งสิ้น อีกทั้งห้ามมิให้ดัดแปลงเนื้อหา และต้องอ้างอิงถึงเจ้าของเอกสารทุกครั้งที่มีการนำไปใช้

ภาคผนวก

- ภาคผนวก ก. ตารางผลการสีกหระองลือทคสอบ
ภาคผนวก ข. กราฟการ Calibrate ชุดไฮครอลิก
ภาคผนวก ค. ค่าวประกอบความหนาแน่น



เอกสารนี้เป็นเอกสารที่สงวนไว้สำหรับการใช้งานเพื่อการศึกษาเท่านั้น ไม่อนุญาตให้นำไปใช้ประโยชน์ด้านการค้า
ไม่ว่ากรณีใดๆ ทั้งสิ้น อีกทั้งห้ามมิให้ดัดแปลงเนื้อหา และต้องอ้างอิงถึงเจ้าของเอกสารทุกครั้งที่มีการนำไปใช้

ภาคผนวก ก

ตารางแสดงการสึกหรอของล้อทดสอบ

ตารางที่ 1 ผลการทดลองที่ความเร็วรอบ 600 rpm โหลด ด้านข้าง 500kgf มุมเอียงที่ 0 องศา

ตำแหน่ง ที่วัด	ค่าที่วัดได้ตามจุดต่างๆและเวลาที่(มม.)					ค่าการสึกหรอที่จุดต่างๆและเวลาที่(มม.)			
	เริ่ม	1ชม.	3ชม.	4ชม.	5ชม.	1ชม.	3ชม.	4ชม.	5ชม.
10	36	36	36	36	36	0	0	0	0
50	36	36	36	36	36	0	0	0	0
55	36	35.7	35.7	35.7	35.69	0.3	0.3	0.3	0.31
60	36	35.8	35.8	35.62	35.79	0.2	0.2	0.38	0.21
65	36.2	35.84	35.83	35.76	35.82	0.36	0.37	0.44	0.38
70	36.4	36.1	36.09	36.08	36.09	0.3	0.31	0.32	0.31
75	36.6	36.45	36.27	36.25	36.19	0.15	0.335	0.35	0.41
77	36.8	36.49	36.36	36.34	36.25	0.31	0.445	0.46	0.55
79	37	36.72	36.54	36.45	36.37	0.28	0.46	0.55	0.63
81	37.12	36.81	37.08	36.56	36.38	0.31	0.045	0.56	0.74
83	37.62	36.87	37.47	37.29	36.92	0.75	0.155	0.33	0.7
85	38.27	38.1	37.92	37.75	37.38	0.17	0.355	0.52	0.89
87	39.52	38.81	38.06	37.88	37.75	0.71	1.465	1.64	1.77
89	40.92	40.25	39.19	38.4	38	0.67	1.73	2.52	2.92
91	42.82	41.5	40.68	38.92	38.53	1.32	2.145	3.9	4.29
93	45.66	42.7	41.64	40.92	39.12	2.96	4.025	4.75	6.54
95	51	45.5	42.81	42.06	40.84	5.5	8.19	8.94	10.16
98	59.5	59.5	59.5	59.5	59.5	0	0	0	0
100	62.59	62.59	62.59	62.59	62.59	0	0	0	0
102	63.91	63.91	63.91	63.91	63.91	0	0	0	0

เอกสารนี้เป็นเอกสารที่สงวนไว้สำหรับการใช้งานเพื่อการศึกษาเท่านั้น ไม่อนุญาตให้นำไปใช้ประโยชน์ด้านการค้า
ไม่ว่ากรณีใดๆ ทั้งสิ้น อีกทั้งห้ามมิให้ดัดแปลงเนื้อหา และต้องอ้างอิงถึงเจ้าของเอกสารทุกครั้งที่มีการนำไปใช้

ตารางที่ 2 ผลการทดลองที่ความเร็วรอบ 600 rpm โหลด ด้านข้าง 1000 kgf มุมเอียงที่ 0 องศา

ตำแหน่งที่ วัด	ค่าที่วัด ได้ตามจุดต่างๆและเวลาที่(มม.)					ค่าการสึกหรอที่จุดต่างๆและเวลาที่(มม.)			
	เริ่ม	0.5ชม.	1ชม.	1.5ชม.	2ชม.	0.5ชม.	1ชม.	1.5ชม.	2ชม.
10	36	36	36	36	36	0	0	0	0
50	36	36	36	36	36	0	0	0	0
55	36	35.65	35.65	35.65	35.65	0.35	0.3525	0.35355	0.35478
60	36	35.73	35.72	35.72	35.72	0.275	0.2786	0.27889	0.27952
65	36.2	35.78	35.78	35.78	35.77	0.4225	0.42345	0.42475	0.42576
70	36.4	36.21	36.18	36.13	36.07	0.195	0.22	0.27	0.33
75	36.6	36.33	36.22	36.2	36.19	0.27	0.385	0.405	0.41
77	36.8	36.41	36.34	36.3	36.26	0.39	0.465	0.505	0.54
79	37	36.44	36.38	36.35	36.33	0.56	0.625	0.655	0.675
81	37.12	36.68	36.48	36.46	36.39	0.445	0.64	0.66	0.735
83	37.62	37.5	37.03	36.8	36.74	0.125	0.59	0.825	0.885
85	38.27	38.02	37.9	37.75	37.12	0.25	0.37	0.52	1.15
87	39.52	39.34	38.63	38.5	37.7	0.18	0.89	1.025	1.82
89	40.92	40.24	39.69	39.48	38.76	0.685	1.235	1.445	2.16
91	42.82	40.9	40.33	40.1	39.13	1.92	2.49	2.725	3.695
93	45.66	41.8	41.08	40.59	39.82	3.86	4.585	5.075	5.84
95	51	44.71	42.91	42.29	41.84	6.29	8.095	8.715	9.16
98	59.5	59.5	59.5	59.5	59.5	0	0	0	0
100	62.588	62.59	62.59	62.59	62.59	0	0	0	0
102	63.907	63.91	63.91	63.91	63.91	0	0	0	0

เอกสารนี้เป็นเอกสารที่สงวนไว้สำหรับการใช้งานเพื่อการศึกษาเท่านั้น ไม่อนุญาตให้นำไปใช้ประโยชน์ด้านการค้า
ไม่ว่ากรณีใดๆ ทั้งสิ้น อีกทั้งห้ามมิให้ดัดแปลงเนื้อหา และต้องอ้างอิงถึงเจ้าของเอกสารทุกครั้งที่มีการนำไปใช้

ตารางที่ 3 ผลการทดลองที่ความเร็วรอบ 800 rpm โหลด ด้านข้าง 1000 kgf มุมเอียงที่ 0 องศา

ตำแหน่งที่ วัด	ค่าที่วัดได้ตามจุดต่างๆและเวลาที่(มม.)					ค่าการสึกหรอที่จุดต่างๆและเวลาที่(มม.)			
	เริ่ม	0.5ชม.	1ชม.	1.5ชม.	2ชม.	0.5ชม.	1ชม.	1.5ชม.	2ชม.
10	36	36	36	36	36	0	0	0	0
50	36	36	36	36	36	0	0	0	0
55	36	35.779	35.777	35.7765	35.775	0.2215	0.2225	0.22348	0.2254
60	36	35.747	35.747	35.7452	35.743	0.2529	0.2534	0.2548	0.2567
65	36.2	35.778	35.777	35.7753	35.774	0.4225	0.4235	0.42475	0.42576
70	36.4	36.205	36.18	36.13	36.07	0.195	0.22	0.27	0.33
75	36.6	36.33	36.215	36.195	36.19	0.27	0.385	0.405	0.41
77	36.8	36.41	36.335	36.295	36.26	0.39	0.465	0.505	0.54
79	37	36.44	36.375	36.345	36.325	0.56	0.625	0.655	0.675
81	37.12	36.675	36.48	36.46	36.385	0.445	0.64	0.66	0.735
83	37.62	37.495	37.03	36.795	36.735	0.125	0.59	0.825	0.885
85	38.27	38.02	37.9	37.2	36.98	0.25	0.37	1.07	1.29
87	39.52	38.88	38.63	37.87	37.32	0.64	0.89	1.65	2.2
89	40.92	39.5	39.1	38.2	37.3	1.42	1.82	2.72	3.62
91	42.5	40.25	40.01	39.18	38.18	2.25	2.49	3.32	4.32
93	45.45	40.89	39.99	39.57	38.63	4.56	5.46	5.88	6.82
95	51	41.21	40.01	39.56	39.015	9.79	10.99	11.44	11.985
98	59.5	59.5	59.5	59.5	59.5	0	0	0	0
100	62.588	62.588	62.588	62.588	62.588	0	0	0	0
102	63.907	63.907	63.907	63.907	63.907	0	0	0	0

เอกสารนี้เป็นเอกสารที่สงวนไว้สำหรับการใช้งานเพื่อการศึกษาเท่านั้น ไม่อนุญาตให้นำไปใช้ประโยชน์ด้านการค้า
ไม่ว่ากรณีใดๆ ทั้งสิ้น อีกทั้งห้ามมิให้ดัดแปลงเนื้อหา และต้องอ้างอิงถึงเจ้าของเอกสารทุกครั้งที่มีการนำไปใช้

ตารางที่ 4 ผลการทดลองที่ความเร็วรอบ 800 rpm โหลด ด้านข้าง 500 kgf มุมเอียงที่ 0 องศา

ตำแหน่งที่ วัด	ค่าที่วัดได้ตามจุดต่างๆและเวลาที่(มม.)					ค่าการสึกหรอที่จุดต่างๆและเวลาที่(มม.)			
	เริ่ม	0.5ชม.	1ชม.	1.5ชม.	2ชม.	0.5ชม.	1ชม.	1.5ชม.	2ชม.
10	36	36	36	36	36	0	0	0	0
50	36	36	36	36	36	0	0	0	0
55	36	35.645	35.643	35.643	35.64	0.355	0.3567	0.3575	0.3584
60	36	35.678	35.676	35.674	35.57	0.32234	0.3242	0.3258	0.4261
65	36.2	35.68	35.679	35.677	35.68	0.5197	0.5213	0.5227	0.5237
70	36.4	35.674	35.672	35.67	36.33	0.72645	0.728	0.7296	0.0688
75	36.6	36.355	36.305	36.225	36.15	0.245	0.295	0.375	0.45
77	36.8	36.395	36.355	36.32	36.28	0.405	0.445	0.48	0.525
79	37	36.5	36.44	36.37	36.36	0.5	0.56	0.63	0.64
81	37.12	36.78	36.625	36.62	36.55	0.34	0.495	0.5	0.57
83	37.62	36.955	36.815	36.75	36.61	0.665	0.805	0.87	1.01
85	38.27	37.365	37.32	37.3	37.19	0.905	0.95	0.97	1.085
87	39.52	38.075	38.04	37.52	36.99	1.445	1.48	2	2.535
89	40.92	39.4	38.455	38.2	38.02	1.52	2.465	2.72	2.905
91	42.82	39.48	38.92	38.695	38.48	3.34	3.9	4.125	4.34
93	45.66	40.49	39.38	39.16	38.48	5.17	6.28	6.5	7.185
95	51	41.94	40.46	40.16	39.77	9.06	10.54	10.84	11.23
98	59.5	59.5	59.5	59.5	59.5	0	0	0	0
100	62.588	62.588	62.588	62.588	62.59	0	0	0	0
102	63.907	63.907	63.907	63.907	63.91	0	0	0	0

เอกสารนี้เป็นเอกสารที่สงวนไว้สำหรับการใช้งานเพื่อการศึกษาเท่านั้น ไม่อนุญาตให้นำไปใช้ประโยชน์ด้านการค้า
ไม่ว่ากรณีใดๆ ทั้งสิ้น อีกทั้งห้ามมิให้ดัดแปลงเนื้อหา และต้องอ้างอิงถึงเจ้าของเอกสารทุกครั้งที่มีการนำไปใช้

ตารางที่ 5 ผลการทดลองที่ความเร็วรอบ 600 rpm โหลด ด้านข้าง 500 kgf มุมเอียงที่ 5 องศา

ตำแหน่งที่ วัด	ค่าที่วัดได้ตามจุดต่างๆและเวลาที่(มม.)					ค่าการสึกหรอที่จุดต่างๆและเวลาที่(มม.)			
	เริ่ม	1ชม.	3ชม.	4ชม.	5ชม.	1ชม.	3ชม.	4ชม.	5ชม.
10	36	36	36	36	36	0	0	0	0
50	36	36	36	36	36	0	0	0	0
55	36	35.7	35.7	35.7	35.698	0.3	0.3	0.3	0.3021
60	36	35.8	35.8	35.62	35.798	0.2	0.2	0.38	0.2016
65	36.2	35.84	35.83	35.82	35.828	0.36	0.37	0.38	0.3725
70	36.4	36.1	36.09	36.08	36.09	0.3	0.31	0.32	0.31
75	36.6	36.45	36.265	36.25	36.195	0.15	0.335	0.35	0.405
77	36.8	36.49	36.355	36.345	36.255	0.31	0.445	0.455	0.545
79	37	36.72	36.54	36.45	36.37	0.28	0.46	0.55	0.63
81	37.12	36.81	37.075	36.56	36.38	0.31	0.045	0.56	0.74
83	37.62	37.5	37.435	37.295	36.925	0.12	0.185	0.325	0.695
85	38.27	37.9	37.83	37.5	37.38	0.37	0.44	0.77	0.89
87	39.52	38.8	38.055	37.88	37.65	0.72	1.465	1.64	1.87
89	40.92	39.5	38.8	38.025	37.78	1.42	2.12	2.895	3.14
91	42.82	40.5	39.5	38.54	38.1	2.32	3.32	4.28	4.72
93	45.66	42.5	40.8	39.5	38.8	3.16	4.86	6.16	6.86
95	51	45.8	43.5	42.15	40.97	5.2	7.5	8.85	10.03
98	59.5	59.5	59.5	59.5	59.5	0	0	0	0
100	62.588	62.588	62.588	62.588	62.588	0	0	0	0
102	63.907	63.907	63.907	63.907	63.907	0	0	0	0

เอกสารนี้เป็นเอกสารที่สงวนไว้สำหรับการใช้งานเพื่อการศึกษาเท่านั้น ไม่อนุญาตให้นำไปใช้ประโยชน์ด้านการค้า
ไม่ว่ากรณีใดๆ ทั้งสิ้น อีกทั้งห้ามมิให้ดัดแปลงเนื้อหา และต้องอ้างอิงถึงเจ้าของเอกสารทุกครั้งที่มีการนำไปใช้

ตารางที่ 6 ผลการทดลองที่ความเร็วรอบ 600 rpm โหลด ด้านข้าง 1000 kgf มุมเอียงที่ 5 องศา

ตำแหน่งที่ วัด	ค่าที่วัดได้ตามจุดต่างๆและเวลาที่(มม.)					ค่าการสึกหรอที่จุดต่างๆและเวลาที่(มม.)			
	เริ่ม	0.5ชม.	1ชม.	1.5ชม.	2ชม.	0.5ชม.	1ชม.	1.5ชม.	2ชม.
10	36	36	36	36	36	0	0	0	0
50	36	36	36	36	36	0	0	0	0
55	36	35.65	35.648	35.646	35.645	0.35	0.3525	0.35355	0.35478
60	36	35.725	35.721	35.721	35.72	0.275	0.2786	0.27889	0.27952
65	36.2	35.778	35.777	35.775	35.774	0.4225	0.4235	0.42475	0.42576
70	36.4	36.205	36.18	36.13	36.07	0.195	0.22	0.27	0.33
75	36.6	36.33	36.215	36.195	36.19	0.27	0.385	0.405	0.41
77	36.8	36.41	36.335	36.295	36.26	0.39	0.465	0.505	0.54
79	37	36.44	36.375	36.345	36.325	0.56	0.625	0.655	0.675
81	37.12	36.675	36.48	36.46	36.385	0.445	0.64	0.66	0.735
83	37.62	37.495	37.03	36.795	36.735	0.125	0.59	0.825	0.885
85	38.27	38.02	37.9	37.5	37.12	0.25	0.37	0.77	1.15
87	39.52	38.8	38.63	37.98	37.4	0.72	0.89	1.54	2.12
89	40.92	39.75	39.685	39.15	38.3	1.17	1.235	1.77	2.62
91	42.82	40.3	40.33	39.75	38.9	2.52	2.49	3.07	3.92
93	45.66	41.8	41.075	40.8	39.82	3.86	4.585	4.86	5.84
95	51	44.5	42.75	42.3	41.43	6.5	8.25	8.7	9.57
98	59.5	59.5	59.5	59.5	59.5	0	0	0	0
100	62.588	62.588	62.588	62.588	62.588	0	0	0	0
102	63.907	63.907	63.907	63.907	63.907	0	0	0	0

เอกสารนี้เป็นเอกสารที่สงวนไว้สำหรับการใช้งานเพื่อการศึกษาเท่านั้น ไม่อนุญาตให้นำไปใช้ประโยชน์ด้านการค้า
ไม่ว่ากรณีใดๆ ทั้งสิ้น อีกทั้งห้ามมิให้ดัดแปลงเนื้อหา และต้องอ้างอิงถึงเจ้าของเอกสารทุกครั้งที่มีการนำไปใช้

ตารางที่ 7 ผลการทดลองที่ความเร็วรอบ 800 rpm โหลด ด้านข้าง 1000 kgf มุมเอียงที่ 5 องศา

ตำแหน่งที่ วัด	ค่าที่วัดได้ตามจุดต่างๆและเวลาที่(มม.)					ค่าการสึกหรอที่จุดต่างๆและเวลาที่(มม.)			
	เริ่ม	0.5ชม.	1ชม.	1.5ชม.	2ชม.	0.5ชม.	1ชม.	1.5ชม.	2ชม.
10	36	36	36	36	36	0	0	0	0
50	36	36	36	36	36	0	0	0	0
55	36	35.779	35.777	35.777	35.775	0.2215	0.2225	0.2235	0.2254
60	36	35.747	35.747	35.745	35.743	0.2529	0.2534	0.2548	0.2567
65	36.2	35.778	35.777	35.775	35.774	0.42247	0.4235	0.4248	0.4258
70	36.4	36.205	36.18	36.13	36.07	0.195	0.22	0.27	0.33
75	36.6	36.33	36.215	36.195	36.19	0.27	0.385	0.405	0.41
77	36.8	36.41	36.335	36.295	36.26	0.39	0.465	0.505	0.54
79	37	36.44	36.375	36.345	36.325	0.56	0.625	0.655	0.675
81	37.12	36.675	36.48	36.46	36.385	0.445	0.64	0.66	0.735
83	37.62	37.495	37.03	36.795	36.735	0.125	0.59	0.825	0.885
85	38.27	38.02	37.9	37.2	36.98	0.25	0.37	1.07	1.29
87	39.52	38.88	38.63	37.87	37.32	0.64	0.89	1.65	2.2
89	40.92	39.5	39.1	38.2	37.3	1.42	1.82	2.72	3.62
91	42.5	40.25	40.01	39.18	38.18	2.25	2.49	3.32	4.32
93	45.45	41.19	40.29	39.76	38.91	4.26	5.16	5.69	6.54
95	51	42	40.76	40.05	39.52	9	10.24	10.95	11.48
98	59.5	59.5	59.5	59.5	59.5	0	0	0	0
100	62.588	62.588	62.588	62.588	62.588	0	0	0	0
102	63.907	63.907	63.907	63.907	63.907	0	0	0	0

เอกสารนี้เป็นเอกสารที่สงวนไว้สำหรับการใช้งานเพื่อการศึกษาเท่านั้น ไม่อนุญาตให้นำไปใช้ประโยชน์ด้านการค้า
ไม่ว่ากรณีใดๆ ทั้งสิ้น อีกทั้งห้ามมิให้ดัดแปลงเนื้อหา และต้องอ้างอิงถึงเจ้าของเอกสารทุกครั้งที่มีการนำไปใช้

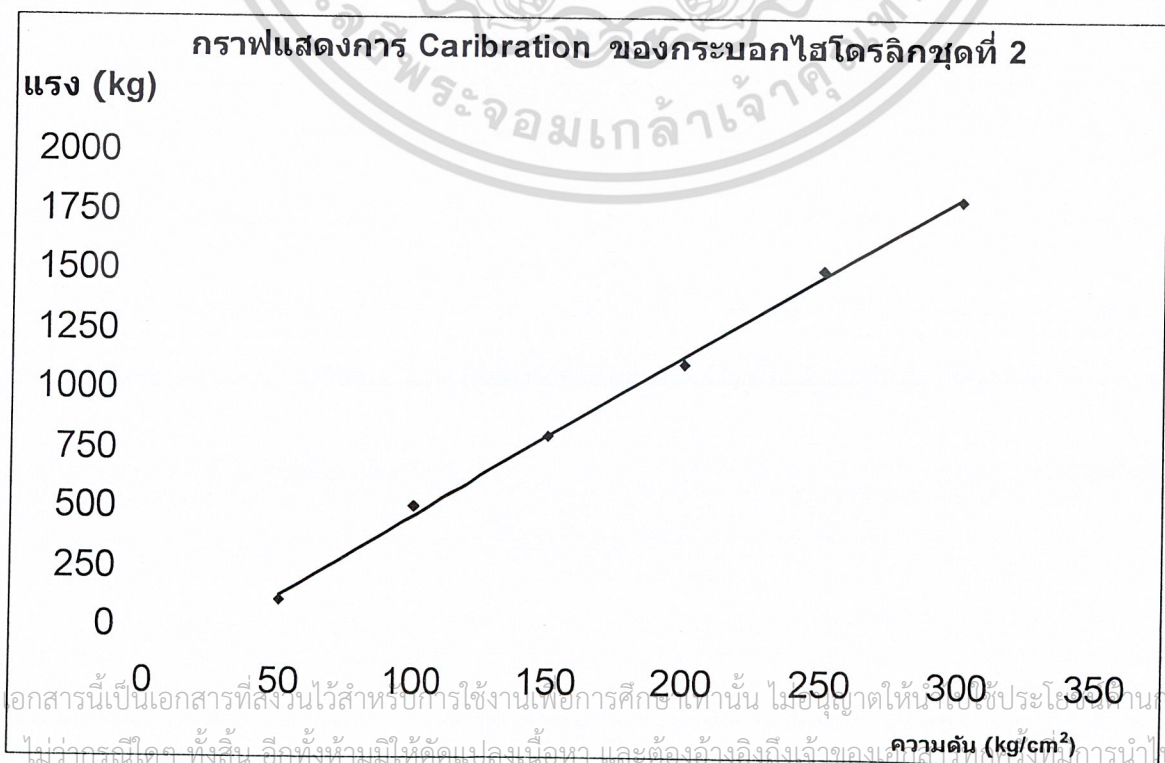
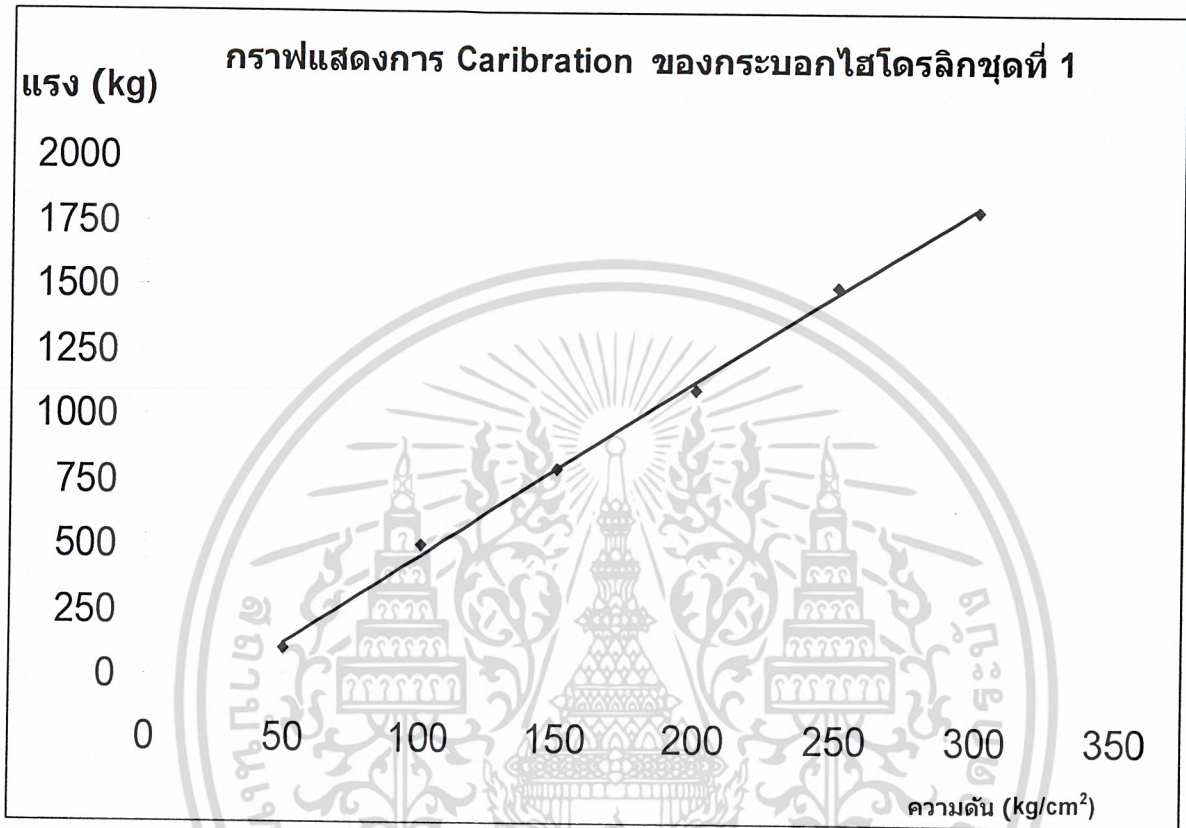
ตารางที่ 8 ผลการทดลองที่ความเร็วรอบ 800 rpm โหลด ด้านข้าง 500 kgf มุมเอียงที่ 5 องศา

ตำแหน่งที่ วัด	ค่าที่วัดได้ตามจุดต่างๆและเวลาที่(มม.)					ค่าการสึกหรอที่จุดต่างๆและเวลาที่(มม.)			
	เริ่ม	0.5ชม.	1ชม.	1.5ชม.	2ชม.	0.5ชม.	1ชม.	1.5ชม.	2ชม.
10	36	36	36	36	36	0	0	0	0
50	36	36	36	36	36	0	0	0	0
55	36	35.65	35.643	35.643	35.642	0.355	0.3567	0.35748	0.35842
60	36	35.68	35.676	35.674	35.574	0.32234	0.32415	0.32578	0.42612
65	36.2	35.68	35.679	35.677	35.676	0.5197	0.52125	0.52274	0.52374
70	36.4	35.67	35.672	35.67	36.331	0.72645	0.72798	0.72963	0.06875
75	36.6	36.36	36.305	36.225	36.15	0.245	0.295	0.375	0.45
77	36.8	36.4	36.355	36.32	36.275	0.405	0.445	0.48	0.525
79	37	36.5	36.44	36.37	36.36	0.5	0.56	0.63	0.64
81	37.12	36.78	36.625	36.62	36.55	0.34	0.495	0.5	0.57
83	37.62	36.96	36.815	36.75	36.61	0.665	0.805	0.87	1.01
85	38.27	37.37	37.32	37.3	37.185	0.905	0.95	0.97	1.085
87	39.52	38.08	38.04	37.52	36.985	1.445	1.48	2	2.535
89	40.92	39.2	38.455	38.2	37.6	1.72	2.465	2.72	3.32
91	42.82	39.67	38.92	38.695	38	3.15	3.9	4.125	4.82
93	45.66	40.72	39.38	39.16	38.475	4.94	6.28	6.5	7.185
95	51	42.5	41.5	40.5	40.23	8.5	9.5	10.5	10.77
98	59.5	59.5	59.5	59.5	59.5	0	0	0	0
100	62.588	62.59	62.588	62.588	62.588	0	0	0	0
102	63.907	63.91	63.907	63.907	63.907	0	0	0	0

เอกสารนี้เป็นเอกสารที่สงวนไว้สำหรับการใช้งานเพื่อการศึกษาเท่านั้น ไม่อนุญาตให้นำไปใช้ประโยชน์ด้านการค้า
ไม่ว่ากรณีใดๆ ทั้งสิ้น อีกทั้งห้ามมิให้ดัดแปลงเนื้อหา และต้องอ้างอิงถึงเจ้าของเอกสารทุกครั้งที่มีการนำไปใช้

ภาคผนวก ข

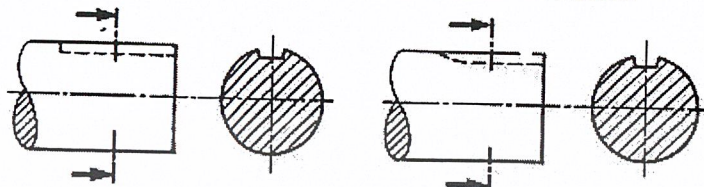
กราฟการ Calibrate ชุดไฮดรอลิก



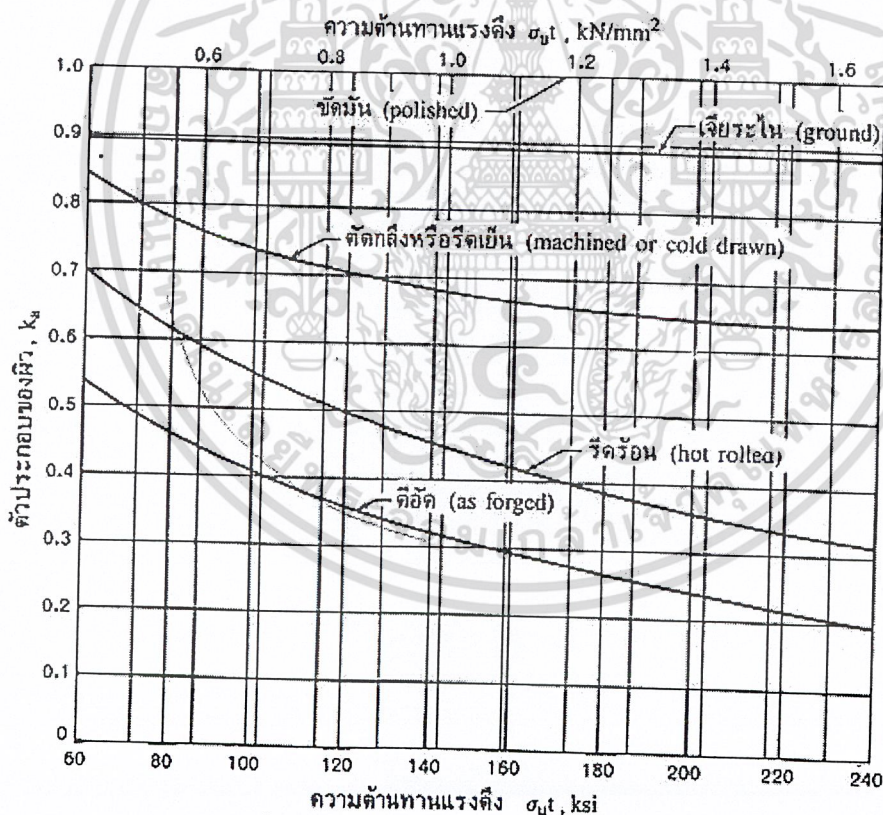
ภาคผนวก ค

ค่าตัวประกอบความหนาแน่น

ตารางที่ 1 ตัวประกอบความหนาแน่นสำหรับร่องลิ้น

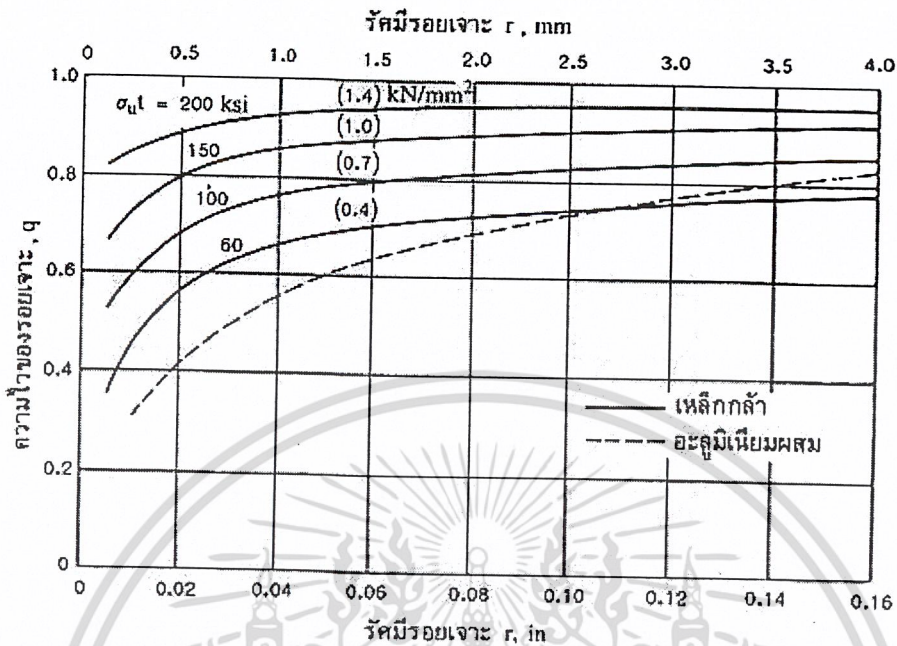


K _f	แอนนูล	PROFILE		SLED-RUNNER	
		คัต	บิต	คัต	บิต
		1,6	1,3	1,3	1,3
	ซูปและรีด	2,0	1,6	1,6	1,6

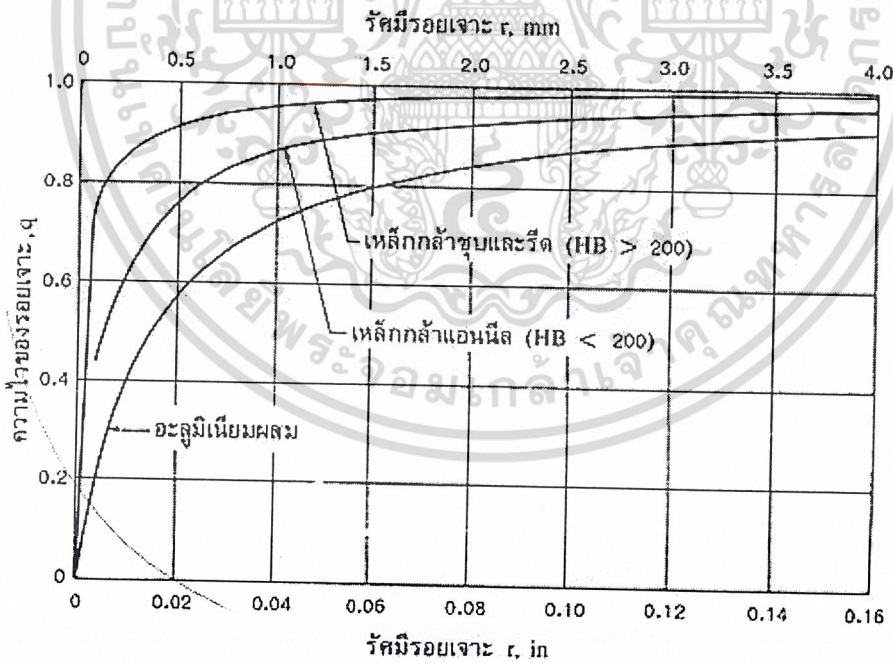


รูปที่ 1 ตัวประกอบของผิวสำเร็จสำหรับเหล็กกล้า

เอกสารนี้เป็นเอกสารที่สงวนไว้สำหรับการใช้งานเพื่อการศึกษาเท่านั้น ไม่อนุญาตให้นำไปใช้ประโยชน์ด้านการค้า
ไม่ว่ากรณีใดๆ ทั้งสิ้น อีกทั้งห้ามมิให้ดัดแปลงเนื้อหา และต้องอ้างอิงถึงเจ้าของเอกสารทุกครั้งที่มีการนำไปใช้

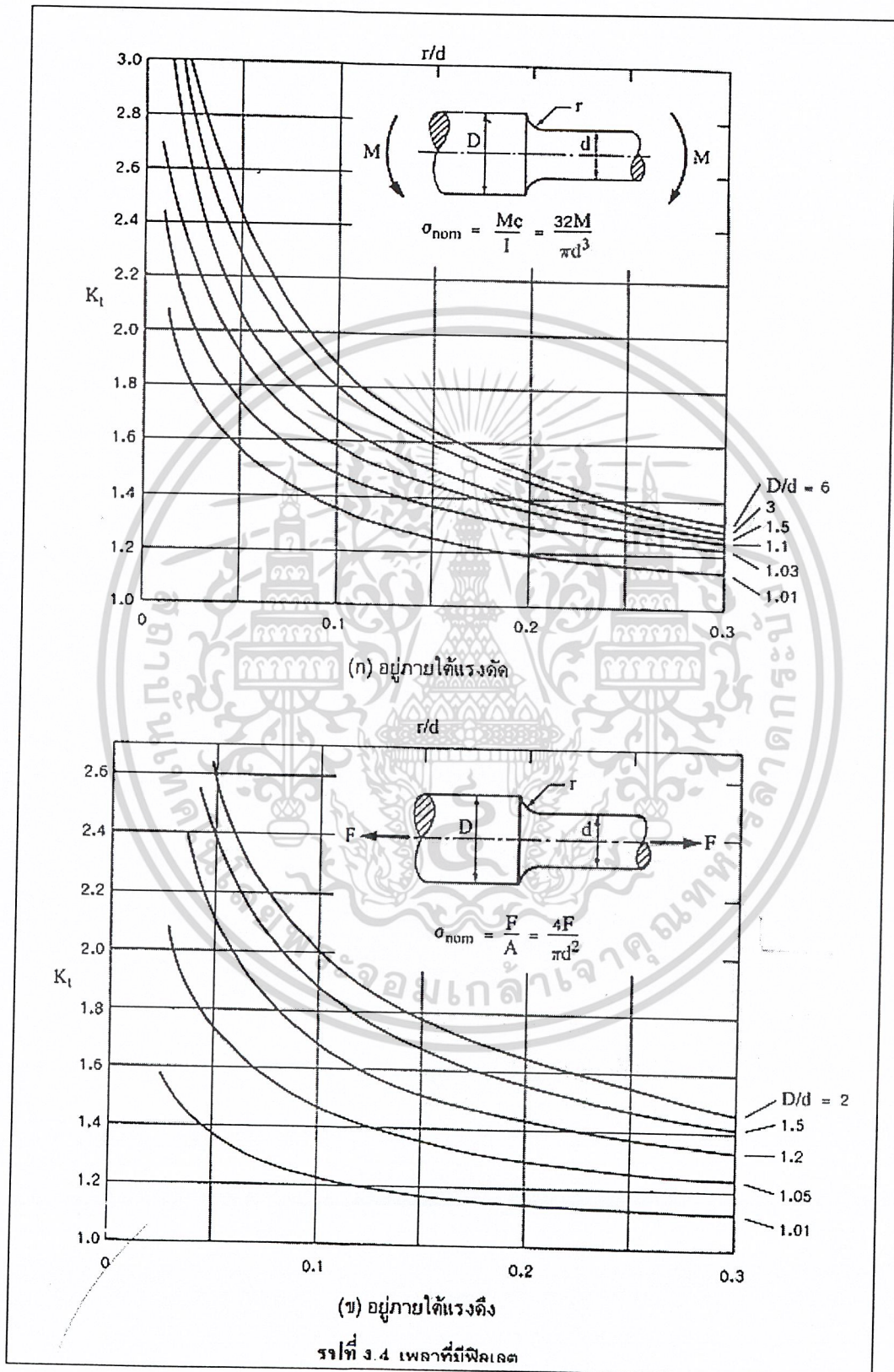


รูปที่ 2 แผนภูมิความไวของรอยเจาะสำหรับเหล็กกล้าและอะลูมิเนียมผสมเหนียวที่อยู่ภายใต้การคดกลับไปกลับมาหรือการตั้งกดสลับกันในแนวอน ในกรณีที่รัศมีรอยเจาะโตกว่าในรูป ให้หาค่า q ที่ค่ารัศมี $r = 4 \text{ mm}$



รูปที่ 3 แผนภูมิความไวของรอยเจาะของชิ้นงานที่อยู่ภายใต้การบิดกลับไปกลับมา (reversed torsion) ในกรณีที่รัศมีรอยเจาะโตกว่าในรูป ให้หาค่า q ที่ค่ารัศมี $r = 4 \text{ mm}$

เอกสารนี้เป็นเอกสารที่สงวนไว้สำหรับการใช้งานเพื่อการศึกษาเท่านั้น ไม่อนุญาตให้นำไปใช้ประโยชน์ด้านการค้า ไม่ว่าจะกรณีใดๆ ทั้งสิ้น อีกทั้งห้ามมิให้ดัดแปลงเนื้อหา และต้องอ้างอิงถึงเจ้าของเอกสารทุกครั้งที่มีการนำไปใช้



เอกสารนี้เป็นเอกสารที่สงวนไว้สำหรับการใช้งานเพื่อการศึกษาเท่านั้น ไม่อนุญาตให้นำไปใช้ประโยชน์ด้านการค้า
ไม่ว่ากรณีใดๆ ทั้งสิ้น อีกทั้งห้ามมิให้ดัดแปลงเนื้อหา และต้องอ้างอิงถึงเจ้าของเอกสารทุกครั้งที่มีการนำไปใช้

บรรณานุกรม

- [1] ศ.ดร.วริทธิ์ อิงภากรณ์, รศ.ชาญ ถนัดงาน, 2545, การออกแบบเครื่องจักรกล 1, สำนักพิมพ์ ซีเอ็ดยูเคชั่น จำกัด (มหาชน), หน้า 229 – 248.
- [2] ศ.ดร.วริทธิ์ อิงภากรณ์, รศ.ชาญ ถนัดงาน, 2541, การออกแบบเครื่องจักรกล 2, สำนักพิมพ์ ซีเอ็ดยูเคชั่น จำกัด (มหาชน), หน้า 144 – 170
- [3] J.E. SHIGLEY, “Mechanical Engineering Design,” 3rd. ed. , McGraw-Hill book Co.,1997



เอกสารนี้เป็นเอกสารที่สงวนไว้สำหรับการใช้งานเพื่อการศึกษาเท่านั้น ไม่อนุญาตให้นำไปใช้ประโยชน์ด้านการค้า
ไม่ว่ากรณีใดๆ ทั้งสิ้น อีกทั้งห้ามมิให้ดัดแปลงเนื้อหา และต้องอ้างอิงถึงเจ้าของเอกสารทุกครั้งที่มีการนำไปใช้